



A-M  
Alex Agassiz.

Library of the Museum  
OF  
COMPARATIVE ZOÖLOGY,

AT HARVARD COLLEGE, CAMBRIDGE, MASS.

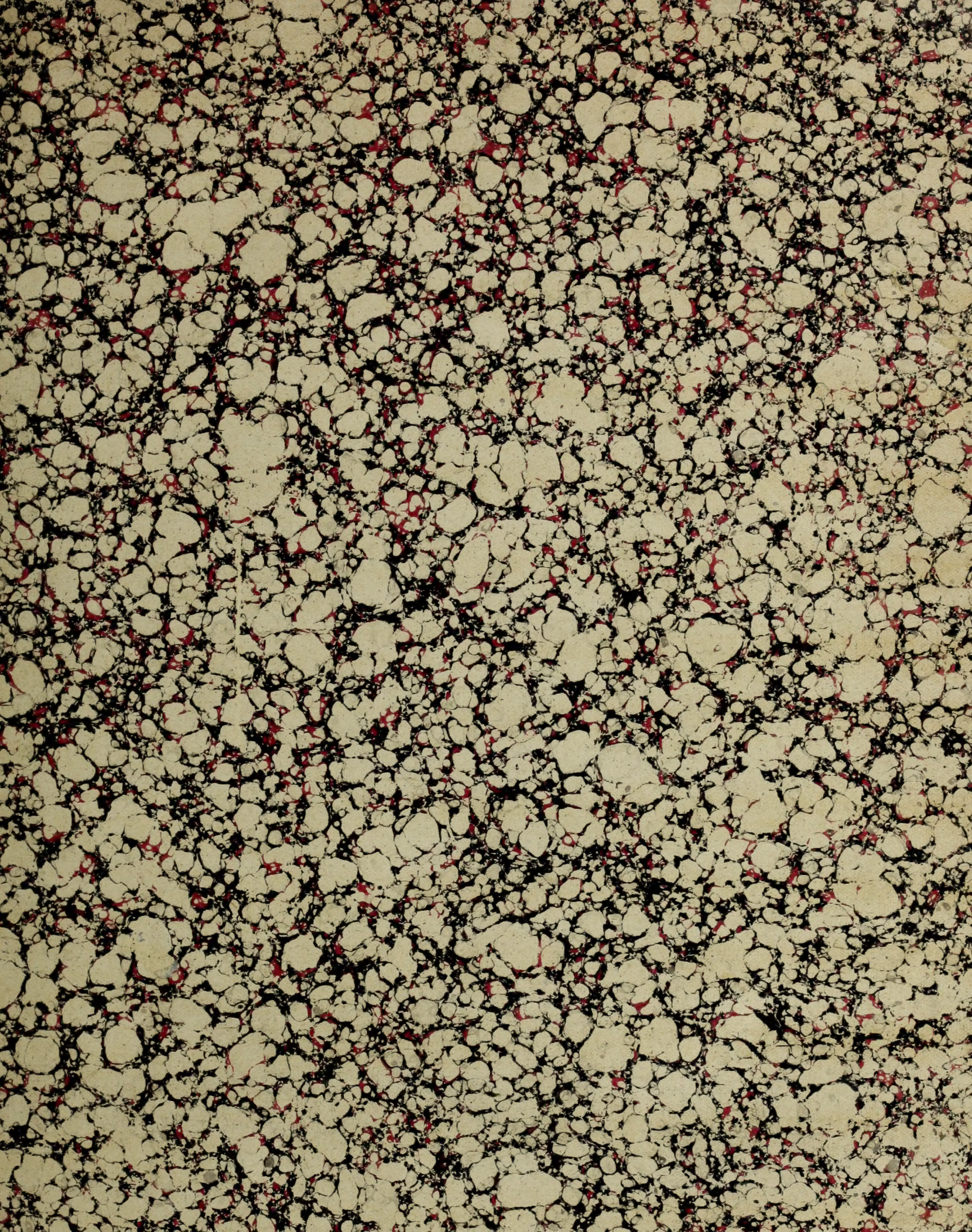
Founded by private subscription, in 1861.

Deposited by ALEX. AGASSIZ.

No. 6731.

Mar 22. 1877.





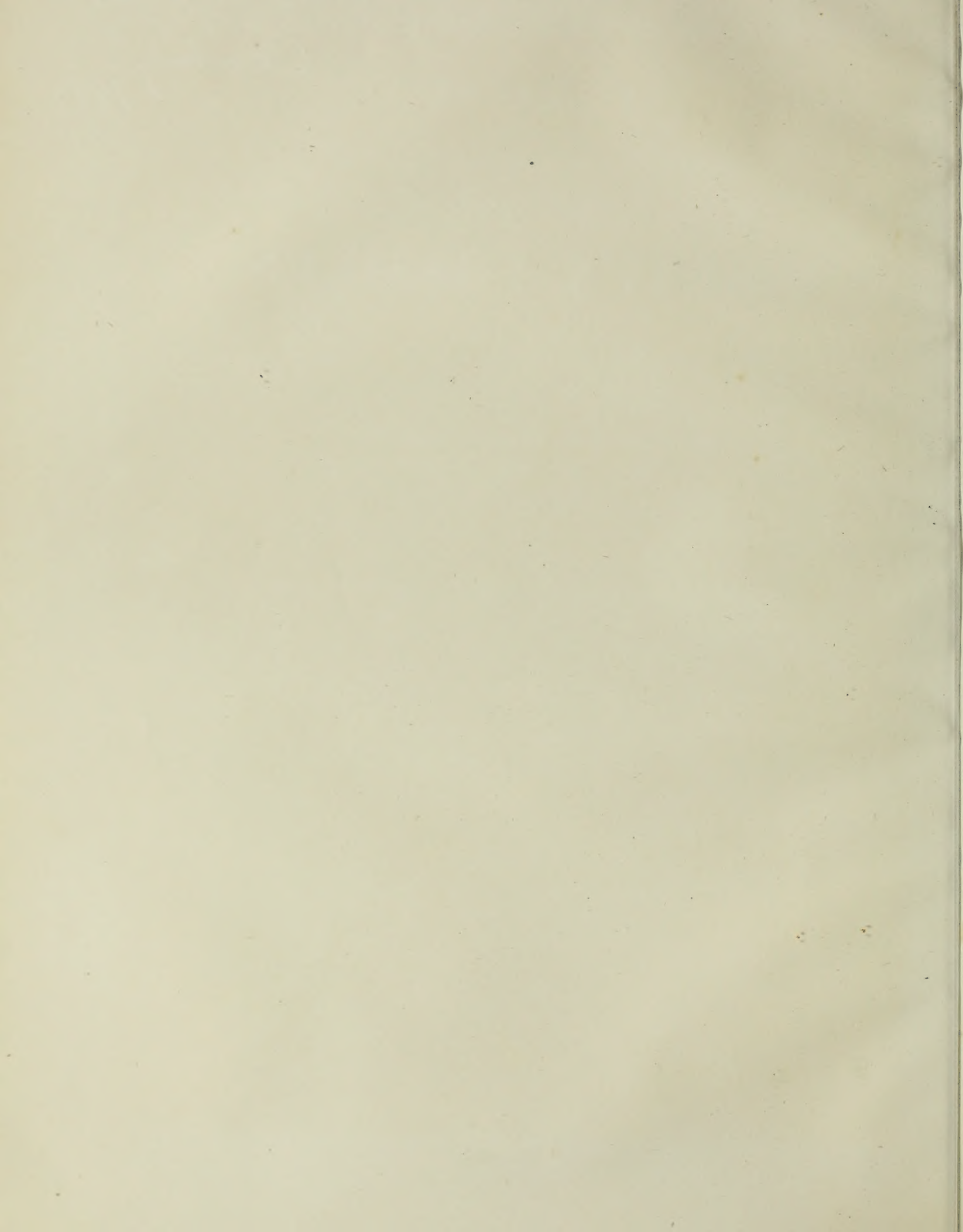














*Alm. Agassiz*  
*Cambridge*  
*1873*

**RECHERCHES**  
**ANATOMIQUES ET PALÉONTOLOGIQUES**  
POUR SERVIR A L'HISTOIRE DES  
**OISEAUX FOSSILES**  
**DE LA FRANCE**



PARIS. — IMPRIMERIE DE E. MARTINET, RUE MIGNON, 2.



*Alb. Agassiz*

**RECHERCHES**  
**ANATOMIQUES ET PALÉONTOLOGIQUES**  
POUR SERVIR A L'HISTOIRE DES  
**OISEAUX FOSSILES**  
**DE LA FRANCE**

PAR  
**M. ALPHONSE MILNE EDWARDS**

Professeur de zoologie à l'École supérieure de pharmacie,  
Aide-naturaliste au Muséum d'histoire naturelle,  
Membre de la Société philomathique et de la Société de biologie de Paris,  
de l'Académie royale des sciences de Lisbonne, de la Société zoologique de Londres,  
de la Société zoologico-botanique de Vienne (Autriche), etc.

---

Ouvrage qui a obtenu le grand Prix des sciences physiques décerné par l'Académie des sciences en 1866

---

**ATLAS**  
**TOME SECOND**  
Planches 97 à 200

---

**PARIS**  
**LIBRAIRIE DE G. MASSON**  
PLACE DE L'ÉCOLE-DE-MÉDECINE  
1869-1871







Page 17-200



PLANCHE 97.

RALLIDES.

**Squelette du Tribonyx Mortieri** (J. Gr.), individu mâle.

Réduction de  $\frac{1}{3}$ .







RECEIVED  
HARVARD UNIVERSITY  
CAMBRIDGE MASS





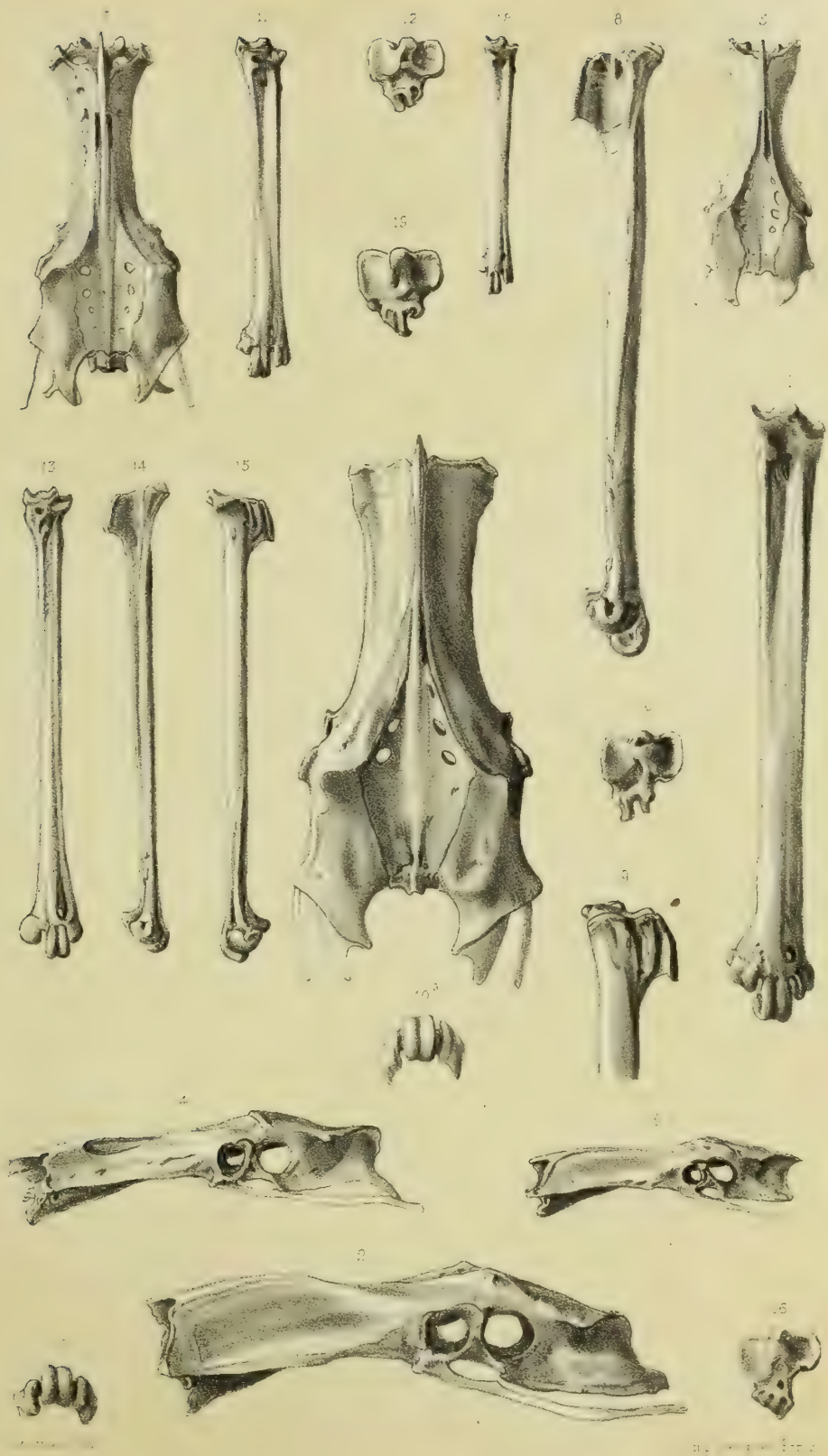


## PLANCHE 98.

### RALLIDES.

- FIG. 1. — Bassin de la **Poule sultane de Madagascar** (*Porphyrio madagascariensis*, Lath.), vu en dessous, de grandeur naturelle.
- FIG. 2. — Le même os, vu de côté.
- FIG. 3. — Bassin de la **Poule d'eau** (*Gallinula chloropus*, Lath.), vu en dessus.
- FIG. 4. — Le même os, vu de côté.
- FIG. 5. — Bassin du **Râle des genêts** (*Rallus crex*, Lath.), vu en dessus.
- FIG. 6. — Le même os, vu de côté.
- FIG. 7. — Tarso-métatarsien de la **Poule sultane de Madagascar**, vu par sa face antérieure.
- FIG. 8. — Face interne du même os.
- FIG. 9. — Face externe de l'extrémité supérieure du même.
- FIG. 10. — Extrémité articulaire supérieure vue en dessus.
- FIG. 10°. — Extrémité articulaire inférieure vue en dessous.
- FIG. 11. — Tarso-métatarsien de la **Poule d'eau d'Europe**, vu par sa face antérieure.
- FIG. 12. — Extrémité articulaire supérieure vue en dessus et grossie.
- FIG. 13. — Tarso-métatarsien de **Jacana d'Afrique** (*Metopidius africanus*, Gmel.), vu par sa face antérieure.
- FIG. 14. — Face interne du même os.
- FIG. 15. — Face externe du même.
- FIG. 16. — Extrémité articulaire supérieure vue en dessus et grossie.
- FIG. 17. — Extrémité articulaire inférieure vue en dessous et grossie.
- FIG. 18. — Tarso-métatarsien du **Râle des genêts**, vu par sa face antérieure.
- FIG. 19. — Extrémité articulaire supérieure vue en dessus et grossie,





MOZ LIBRARY  
HARVARD UNIVERSITY  
CAMBRIDGE, MA USA



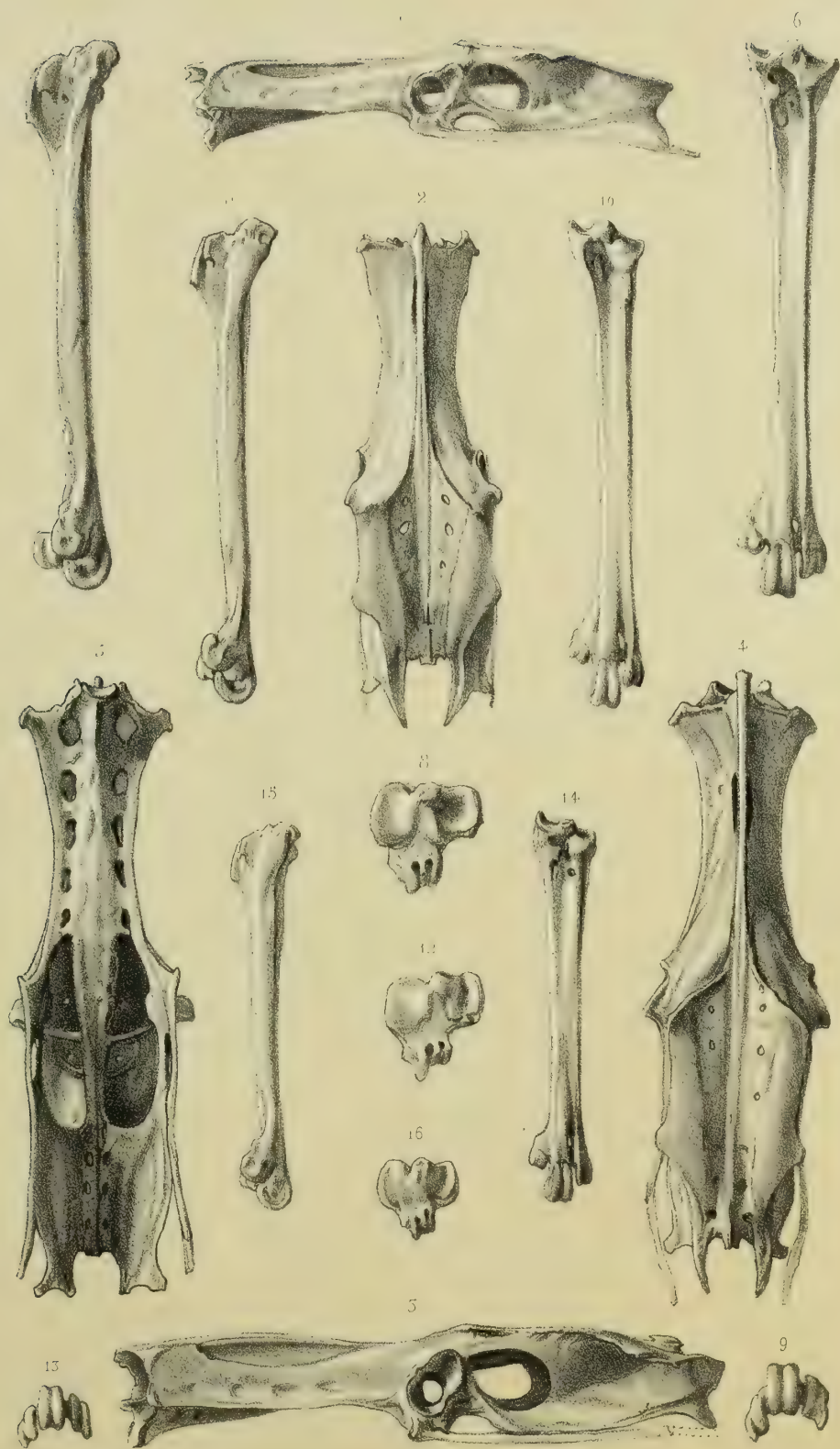


## PLANCHE 99.

### RALLIDES.

- FIG. 1. — Bassin de la **Foulque d'Europe** (*Fulica atra*, Lin.), vu de côté, de grandeur naturelle, ainsi que les figures suivantes.
- FIG. 2. — Le même os, vu par sa face supérieure.
- FIG. 3. — Bassin de la **Foulque à crête** (*Fulica cristata*, Lath.) d'Afrique, vu de côté.
- FIG. 4. — Face supérieure du même os.
- FIG. 5. — Face inférieure du même.
- FIG. 6. — Tarso-métatarsien de la **Foulque du Chili** (*Fulica chilensis*), vu par sa face antérieure.
- FIG. 7. — Face interne du même os.
- FIG. 8. — Extrémité articulaire supérieure vue en dessus.
- FIG. 9. — Extrémité articulaire inférieure vue en dessous.
- FIG. 10. — Tarso-métatarsien de la **Foulque à crête**, vu par sa face antérieure.
- FIG. 11. — Face interne du même os.
- FIG. 12. — Extrémité articulaire supérieure vue en dessus.
- FIG. 13. — Extrémité articulaire inférieure vue en dessous.
- FIG. 14. — Tarso-métatarsien de la **Foulque d'Europe**, vu par sa face antérieure.
- FIG. 15. — Face interne du même os.
- FIG. 16. — Extrémité articulaire supérieure vue en dessus.





MCC LIBRARY  
HARVARD UNIVERSITY  
CAMBRIDGE, MA USA



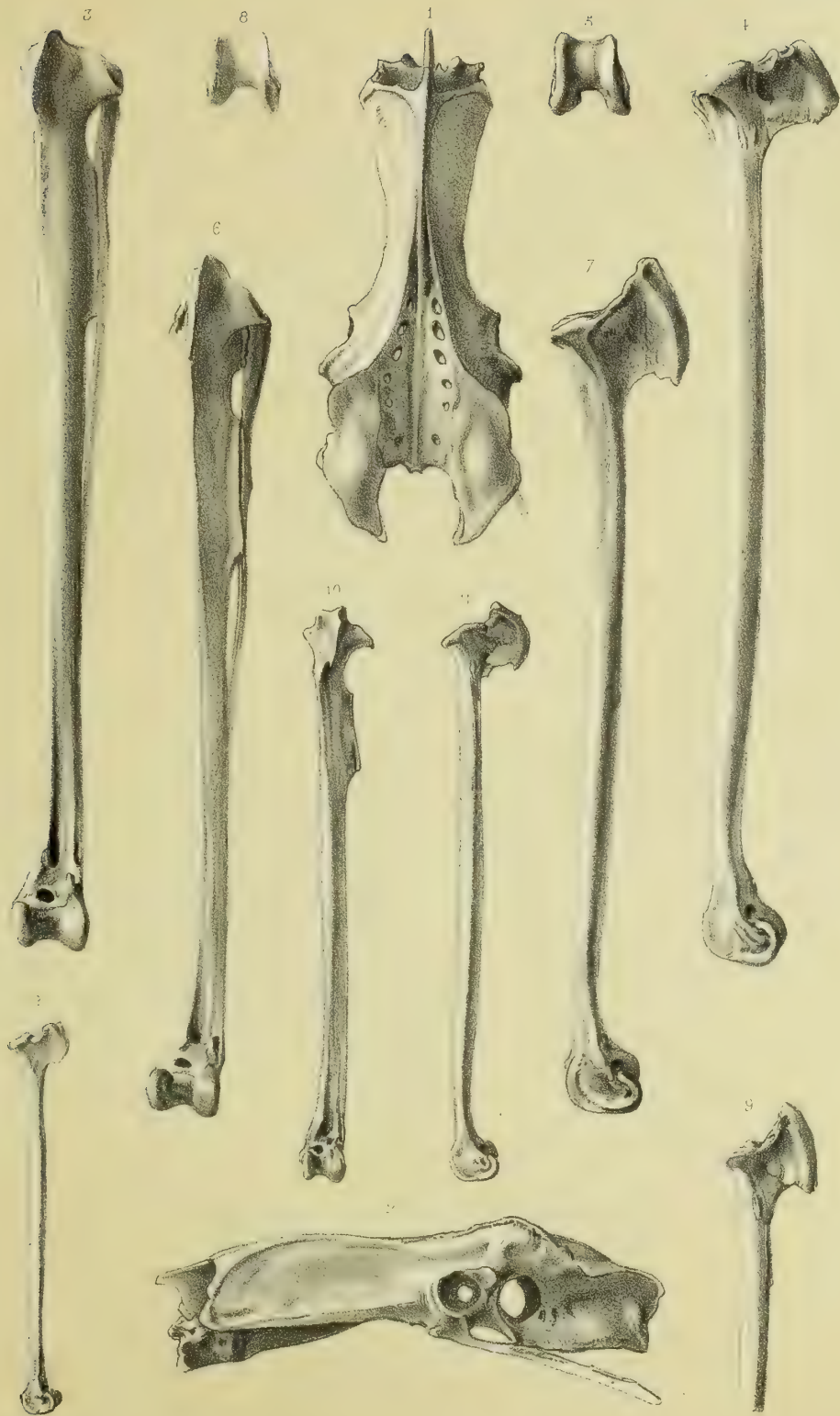


## PLANCHE 100.

### RALLIDES.

- FIG. 1. — Bassin de l'**Ocydrome austral** (*Ocydromus australis*, Sparm.), vu en dessus, de grandeur naturelle, ainsi que les figures suivantes.
- FIG. 2. — Le même, vu de côté.
- FIG. 3. — Tibia de la **Poule sultane de Madagascar** (*Porphyrio madagascariensis*, Lath.), vu par sa face antérieure.
- FIG. 4. — Face interne du même os.
- FIG. 5. — Extrémité articulaire inférieure vue en dessous.
- FIG. 6. — Tibia de la **Foulque à crête** (*Fulica cristata*, Lath.), vu par sa face antérieure.
- FIG. 7. — Face interne du même os.
- FIG. 8. — Extrémité articulaire inférieure vue en dessous.
- FIG. 9. — Portion supérieure du tibia du *Fulica atra*, vu par sa face antérieure.
- FIG. 10. — Tibia de la **Poule d'eau** (*Gallinula chloropus*, Lath.), vu par sa face antérieure.
- FIG. 11. — Face interne du même os.
- FIG. 12. — Tibia du **Râle des genêts** (*Rallus crex*, Lath.), vu par sa face interne.









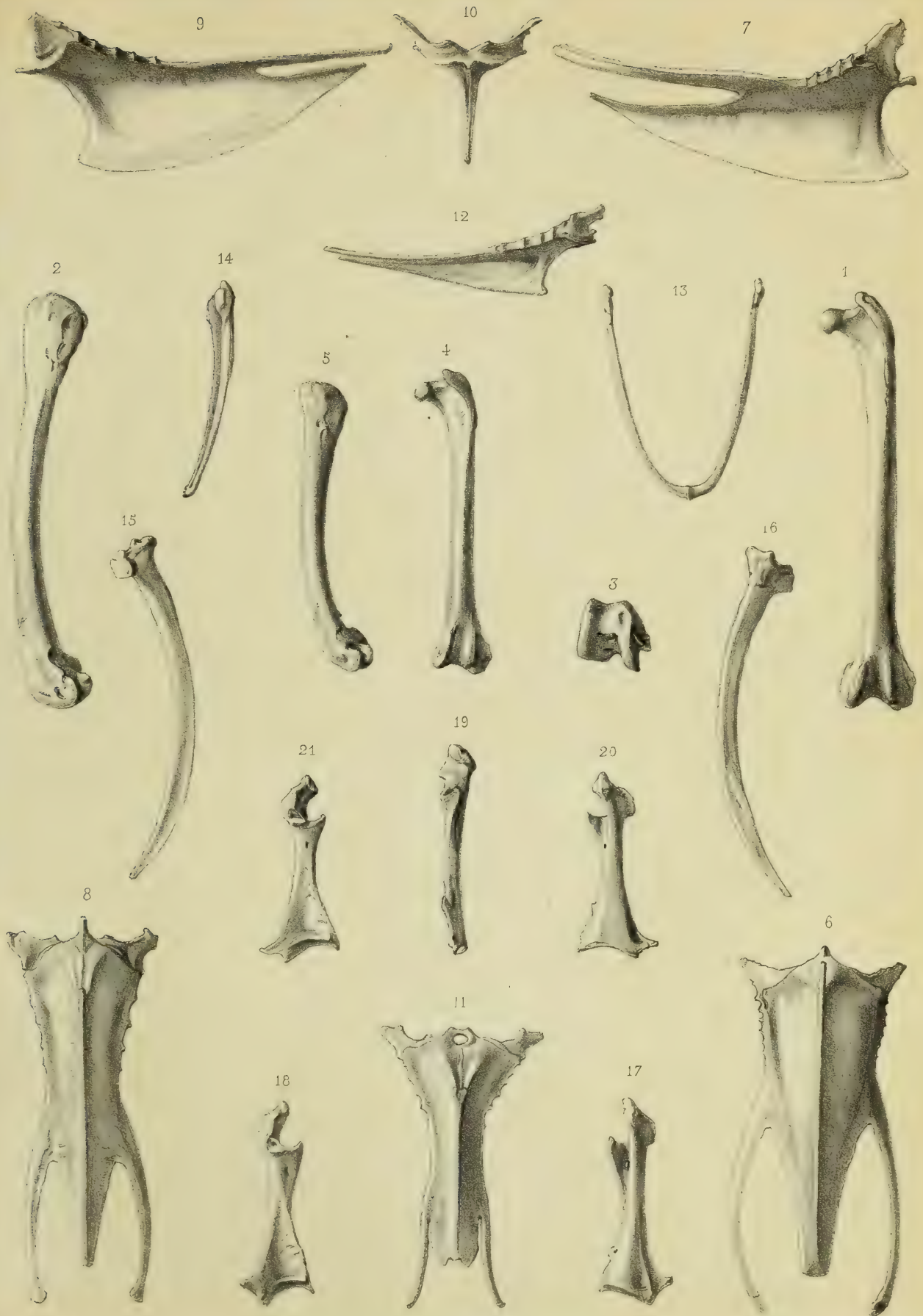


## PLANCHE 101.

### RALLIDES.

- FIG. 1. — Fémur de la **Poule sultane de Madagascar** (*Porphyrio madagascariensis*, Lath.), vu par sa face antérieure, de grandeur naturelle, ainsi que les figures suivantes.
- FIG. 2. — Face externe du même os.
- FIG. 3. — Extrémité articulaire inférieure vue en dessous.
- FIG. 4. — Fémur de la **Foulque d'Europe** (*Fulica atra*, Lin.), vu par sa face antérieure.
- FIG. 5. — Face externe du même os.
- FIG. 6. — Sternum de la même espèce vu par sa face inférieure.
- FIG. 7. — Le même os, vu de côté.
- FIG. 8. — Sternum de la **Poule sultane de Madagascar**, vu par sa face inférieure.
- FIG. 9. — Le même os, vu de côté.
- FIG. 10. — Le même, vu en avant, pour montrer la disposition des rainures coracoïdiennes.
- FIG. 11. — Sternum de l'**Ocydrome austral** (*Ocydromus australis*, Sparm.), vu par sa face inférieure.
- FIG. 12. — Le même os, vu de côté.
- FIG. 13. — Os furculaire de la **Poule sultane de Madagascar**, vu par sa face postérieure.
- FIG. 14. — Le même, vu de côté.
- FIG. 15. — Omoplate du même oiseau vu par sa face supérieure.
- FIG. 16. — Face inférieure du même os.
- FIG. 17. — Coracoïdien du même oiseau vu par sa face inférieure.
- FIG. 18. — Face supérieure du même os.
- FIG. 19. — Portion scapulaire vue en dedans.
- FIG. 20. — Coracoïdien de la **Foulque d'Europe**, vu par sa face inférieure.
- FIG. 21. — Face supérieure du même os.





10.2 LIBRARY  
HARVARD UNIVERSITY  
CAMBRIDGE, MA USA





## PLANCHE 102.

### RALLIDES.

- FIG. 1. — Humérus de la **Foulque d'Europe** (*Fulica atra*, Lin.), vu par sa face antérieure, de grandeur naturelle, ainsi que les figures suivantes.
- FIG. 2. — Face postérieure du même os.
- FIG. 3. — Humérus de la **Poule sultane de Madagascar** (*Porphyrio madagascariensis*, Lath.), vu par sa face antérieure.
- FIG. 4. — Face postérieure du même os.
- FIG. 5. — Humérus de l'**Ocydrome austral** (*Ocydromus australis*, Sparm.), vu par sa face antérieure.
- FIG. 6. — Face postérieure du même os.
- FIG. 7. — Humérus du **Râle de Cayenne** (*Rallus cayennensis*), vu par sa face antérieure.
- FIG. 8. — Face postérieure du même os.
- FIG. 9. — Cubitus de la **Poule sultane de Madagascar**, vu par sa face antérieure.
- FIG. 10. — Face externe du même os.
- FIG. 11. — Portion terminale de l'aile de la même espèce, vue par sa face externe.
- FIG. 12. — Face interne de la même.
- FIG. 13. — Face postérieure du métacarpe.
- FIG. 14. — Extrémité articulaire supérieure de cet os vue en dessus.
- FIG. 15. — Tête osseuse du **Râle de Cayenne**, vue de côté.
- FIG. 16. — Face inférieure de la même.
- FIG. 17. — Tête osseuse de la **Poule sultane de Madagascar**, vue par sa face supérieure.
- FIG. 18. — Face inférieure de cette tête.





MCZ LIBRARY  
HARVARD UNIVERSITY  
CAMBRIDGE, MA USA



## PLANCHE 103.

### RALLIDES.

#### FOSSILES.

**Ostéologie du *Gypsornis Cuvieri*** (A. Milne Edwards), oiseau fossile du gypse de Montmartre.

- FIG. 1. — Tarso-métatarsien vu par sa face antérieure, de grandeur naturelle. L'extrémité inférieure est brisée. (Collection du Muséum.)
- FIG. 2. — Face postérieure du même os.
- FIG. 3. — Face interne du même.
- FIG. 4. — Face externe du même.
- FIG. 5. — Extrémité articulaire supérieure, vue en dessus et un peu grossie.

**Ostéologie du *Rallus eximius*** (A. Milne Edwards), Râle fossile provenant des couches miocènes de Langy (Allier).

- FIG. 6. — Tarso-métatarsien vu par sa face antérieure, de grandeur naturelle. (Ma collection.)
- FIG. 7. — Face postérieure du même os.
- FIG. 8. — Face interne du même.
- FIG. 9. — Face externe du même.
- FIG. 10. — Extrémité articulaire supérieure, vue en dessus et grossie.
- FIG. 11. — Extrémité articulaire inférieure, vue en dessous et grossie.

**Ostéologie du *Rallus major*** (A. Milne Edwards). Râle fossile provenant du terrain miocène de Sansan (Gers).

- FIG. 12. — Portion inférieure d'humérus vue par sa face antérieure, de grandeur naturelle.
- FIG. 13. — La même, grossie.
- FIG. 14. — Face postérieure du même os.
- FIG. 15. — Face interne du même.
- FIG. 16. — Face externe du même.

**Ostéologie du *Rallus intermedius*** (A. Milne Edwards), espèce fossile provenant du gypse des environs de Paris.

- FIG. 17. — Plaque de gypse sur laquelle se voit l'empreinte de la tête, de la colonne vertébrale, du sternum, des côtes, des ailes et du fémur. (Collection du Muséum.)





LIBRARY  
UNIVERSITY  
CAMBRIDGE MA USA





## PLANCHE 104.

### RALLIDES.

#### FOSSILES.

**Ostéologie du *Rallus Christyi*** (A. Milne Edwards), espèce fossile provenant du terrain miocène de Langy (Allier).

- FIG. 1. — Tibia et tarso-métatarsien vus par leur face interne, de grandeur naturelle. (Ma collection.)
- FIG. 2. — Tarso-métatarsien vu par sa face antérieure.
- FIG. 3. — Face postérieure du même os.
- FIG. 4. — Face externe du même.
- FIG. 5. — Extrémité articulaire supérieure, vue en dessus et grossie.
- FIG. 6. — Extrémité articulaire inférieure, vue en dessous et grossie.
- FIG. 7. — Tibia vu par sa face antérieure.
- FIG. 8. — Face postérieure du même os.
- FIG. 9. — Extrémité articulaire inférieure, vue en dessous et grossie.

**Ostéologie du *Rallus Beaumontii*** (A. Milne Edwards), espèce fossile provenant du terrain miocène de Sansan (Gers).

- FIG. 10. — Extrémité inférieure du tarso-métatarsien vue en avant, de grandeur naturelle.
- FIG. 11. — La même, grossie.
- FIG. 12. — Le même os, vu par sa face postérieure.
- FIG. 13. — Extrémité supérieure du tarso-métatarsien vue par sa face antérieure, de grandeur naturelle.
- FIG. 14. — La même, grossie.
- FIG. 15. — Extrémité articulaire supérieure vue en dessus.
- FIG. 16. — Portion inférieure de tibia vue en avant, de grandeur naturelle.
- FIG. 17. — Face externe du même os.
- FIG. 18. — La même pièce, grossie et vue en avant.
- FIG. 19. — Face postérieure du même os.
- FIG. 20. — Extrémité articulaire inférieure vue en dessous.
- FIG. 21. — Humérus brisé vu par sa face antérieure, de grandeur naturelle.
- FIG. 22. — Face postérieure du même os.
- FIG. 23. — Extrémité inférieure du même os, de grandeur naturelle, vu par sa face interne.
- FIG. 24. — Face externe du même os.
- FIG. 25. — Extrémité inférieure vue par sa face antérieure, grossie.
- FIG. 26. — Extrémité supérieure vue par sa face postérieure, grossie.



MCZ LIBRARY  
HARVARD UNIVERSITY  
CAMBRIDGE, MA USA





## PLANCHE 105.

### RALLIDES.

#### FOSSILES.

**Ostéologie du *Rallus porzanoïdes*** (A. Milne Edwards), espèce provenant du terrain miocène de Saint-Gérard le Puy (Allier).

- FIG. 1. — Tarso-métatarsien vu par sa face antérieure, de grandeur naturelle.
- FIG. 2. — Le même, grossi.
- FIG. 3. — Face postérieure du même os.
- FIG. 4. — Face interne du même.
- FIG. 5. — Face externe du même.
- FIG. 6. — Extrémité articulaire supérieure vue en dessus.
- FIG. 7. — Extrémité articulaire inférieure vue en dessous.
- FIG. 8. — Fémur vu en avant, de grandeur naturelle.
- FIG. 9. — Le même os, grossi.
- FIG. 10. — Face postérieure du même.
- FIG. 11. — Face externe du même.
- FIG. 12. — Extrémité inférieure vue en dessous.
- FIG. 13. — Humérus vu par sa face postérieure, de grandeur naturelle.
- FIG. 14. — Le même, grossi et vu en avant.
- FIG. 15. — Face postérieure.
- FIG. 16. — Face interne du même os. (De ma collection.)

**Ostéologie du *Rallus dispar*** (A. Milne Edwards), espèce provenant du terrain miocène de Sansan (Gers).

- FIG. 17. — Tarso-métatarsien brisé vu en avant, de grandeur naturelle.
- FIG. 18. — Le même, grossi.
- FIG. 19. — Face postérieure du même os.
- FIG. 20. — Face externe du même os, de grandeur naturelle.
- FIG. 21. — Extrémité articulaire supérieure, vue en dessus et grossie.
- FIG. 22. — Extrémité articulaire inférieure, vue en dessous et grossie.
- FIG. 23. — Portion inférieure d'humérus vue en avant, de grandeur naturelle.
- FIG. 24. — Face interne du même os.
- FIG. 25. — Le même os, grossi et vu en avant.
- FIG. 26. — Face postérieure du même.
- FIG. 27. — Portion inférieure de tibia vue en avant, de grandeur naturelle.
- FIG. 28. — La même, grossie.
- FIG. 29. — Face interne du même os.
- FIG. 30. — Le même, de grandeur naturelle.

**Ostéologie du *Râle des genêts*** (*Rallus crex*, Lin.), espèce vivante dont on a trouvé les débris dans les brèches de la vallée de Montmorency (Seine-et-Oise).

- FIG. 31. — Fémur vu par sa face antérieure, de grandeur naturelle.
- FIG. 32. — Face externe du même os.
- FIG. 33. — Face postérieure du même os.





MOZ. LIBRARY  
HARVARD UNIVERSITY  
CAMBRIDGE, MA USA



## PLANCHE 106.

### RALLIDES.

#### FOSSILES.

**Ostéologie de la Poule d'eau ordinaire** (*Gallinula chloropus*, Lin.), espèce aujourd'hui vivante, dont les débris ont été trouvés dans les tourbières de l'Essonne (Seine-et-Oise).

- FIG. 1. — Tarso-métatarsien vu par sa face antérieure, de grandeur naturelle.
- FIG. 2. — Face postérieure du même os.
- FIG. 3. — Face externe du même.
- FIG. 4. — Face interne du même.
- FIG. 5. — Extrémité articulaire supérieure, vue en dessus et grossie.
- FIG. 6. — Extrémité articulaire inférieure, vue en dessous et grossie.
- FIG. 7. — Humérus vu par sa face antérieure, de grandeur naturelle.
- FIG. 8. — Le même os, vu en dehors.
- FIG. 8<sup>a</sup>. — Face postérieure du même os. (Ma collection.)

**Ostéologie du Foulque d'Europe** (*Fulica atra*, Lin.), espèce aujourd'hui vivante, dont les débris ont été trouvés dans les tourbières des environs de Cambridge (Angleterre).

- FIG. 9. — Tarso-métatarsien vu par sa face antérieure, de grandeur naturelle.
- FIG. 10. — Face interne du même os.
- FIG. 11. — Extrémité articulaire supérieure, vue en dessus et grossie.
- FIG. 12. — Extrémité articulaire inférieure, vue en dessous et grossie.
- FIG. 13. — Tibia vu par sa face antérieure, de grandeur naturelle.
- FIG. 14. — Face postérieure du même os.
- FIG. 15. — Extrémité articulaire inférieure vue en dessous.
- FIG. 16. — Tibia et tarso-métatarsien vus par leur face interne. (Collection de M. Alf. Newton.)





LIBRARY  
UNIVERSITY  
MA USA



## PLANCHE 107.

### RALLIDES.

#### FOSSILES.

**Ostéologie du *Fulica Newtonii*** (A. Milne Edwards), espèce éteinte provenant des terrains récents de l'île Maurice.

- FIG. 1. — Bassin vu de côté, de grandeur naturelle, ainsi que les figures suivantes.
- FIG. 2. — Face supérieure du même os.
- FIG. 3. — Face inférieure du même os.
- FIG. 4. — Bassin vu en avant et montrant les gouttières vertébrales.
- FIG. 5. — Tarso-métatarsien vu par sa face antérieure.
- FIG. 6. — Face postérieure du même os.
- FIG. 7. — Le même, vu par sa face externe.
- FIG. 8. — Portion inférieure du même os vue en dedans.
- FIG. 9. — Extrémité articulaire supérieure vue en dessus.
- FIG. 10. — Extrémité articulaire inférieure vue en dessous.
- FIG. 11. — Tibia vu par sa face antérieure.
- FIG. 12. — Face postérieure du même os.
- FIG. 13. — Face externe du même os.
- FIG. 14. — Portion supérieure vue en dedans.
- FIG. 15. — Extrémité articulaire inférieure vue en dessous.

(Ces pièces proviennent de la collection de MM. Newton.)





LIBRARY  
UNIVERSITY  
CAMBRIDGE MA USA



## PLANCHE 108.

### RALLIDES.

#### FOSSILES.

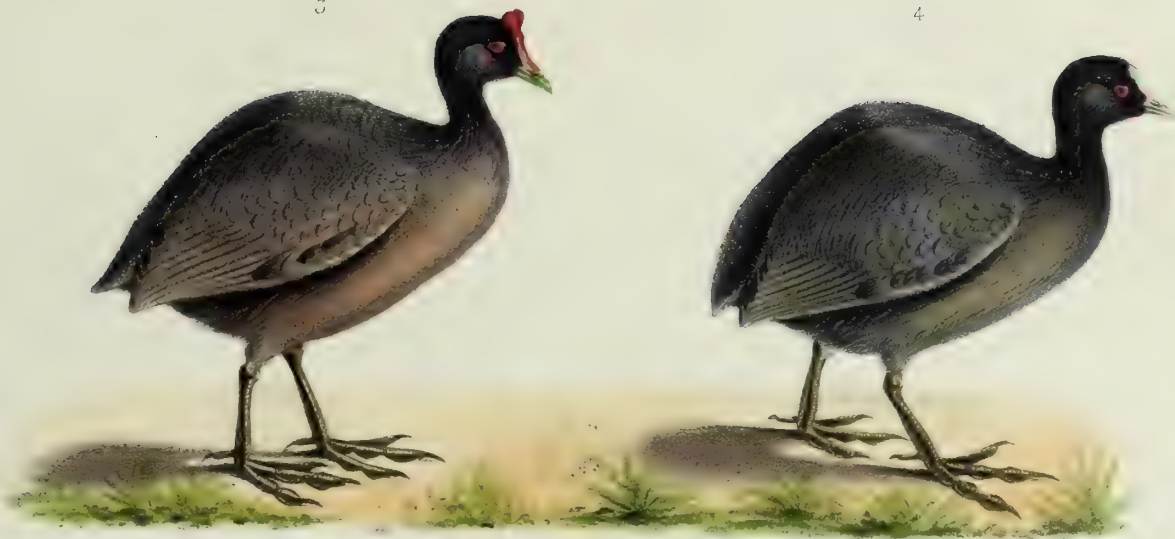
- FIG. 1. — **Fulica Newtonii** (A. Milne Edwards) des terrains récents de l'île Maurice, restitué d'après les os de la patte et le bassin.
- FIG. 2. — **Fulica Newtonii**, restitué d'après la description de Dubois.
- FIG. 3. — **Fulica cristata** d'Afrique (Lath).
- FIG. 4. — **Fulica atra** d'Europe (Lin).

(Toutes ces figures sont réduites dans les mêmes proportions.)



3

4



1

2



MCZ LIBRARY  
HARVARD UNIVERSITY  
CAMBRIDGE, MA USA



## PLANCHE 109.

RALLIDES

FOSSILES.

**Aphanapteryx Brœckel** (Schlegel), oiseau qui vivait à l'île Maurice au xviii<sup>e</sup> siècle, et qui, aujourd'hui, a cessé d'exister.

Cette figure est la réduction de celle qui a été publiée à Vienne par M. de Frauenfeld, d'après une peinture sur vélin appartenant à la bibliothèque particulière de l'empereur d'Autriche.





J. A. Aud. del.

Imp. Becquet, Paris

MCZ LIBRARY  
HARVARD UNIVERSITY  
CAMBRIDGE, MA USA



## PLANCHE 110.

### RALLIDES

#### FOSSILES.

**Ostéologie de l'*Aphanapteryx Brœckei* (Schlegel), oiseau dont les ossements ont été trouvés dans les marais de l'île Maurice.**

- FIG. 1. — Mandibule inférieure vue de côté, de grandeur naturelle, ainsi que les figures suivantes.
- FIG. 2. — La même, vue par sa face supérieure.
- FIG. 3. — Face inférieure de la même.
- FIG. 4. — Portion articulaire vue en arrière.
- FIG. 5. — Tarso-métatarsien vu par sa face interne.
- FIG. 6. — Face antérieure du même os.
- FIG. 7. — Face postérieure du même.
- FIG. 8. — Face externe du même.
- FIG. 9. — Extrémité articulaire supérieure vue en dessus.
- FIG. 10. — Extrémité articulaire inférieure vue en dessous.
- FIG. 11. — Tibia vu par sa face interne.
- FIG. 12. — Face antérieure du même os.
- FIG. 13. — Face postérieure du même.
- FIG. 14. — Extrémité articulaire supérieure vue en dessus.
- FIG. 15. — Extrémité articulaire inférieure vue en dessous.

(Ces pièces proviennent de la collection de MM. A. et Ed. Newton.)





MOZ. LIBRARY  
HARVARD UNIVERSITY  
CAMBRIDGE, MA USA



PLANCHE 111.

GALLINACÉS.

**Squelette du Talegalle de la Nouvelle-Hollande** (*Cathetus Novæ-Hollandiæ*, Lath.),  
individu femelle provenant d'Australie, moitié de grandeur naturelle.





LIBRARY  
CITY  
USA



PLANCHE 112.

GALLINACÉS.

**Squelette de l'*Ortalis vetula*** (Wagler), individu mâle provenant du Mexique,  
réduit de  $\frac{1}{3}$  de la grandeur naturelle.





MOORE UNIVERSITY  
HARVARD UNIVERSITY  
CAMBRIDGE, MA USA



## PLANCHE 113.

### GALLINACÉS.

- FIG. 1. — Tarso-métatarsien d'un **Paon spicifère** mâle de Cochinchine (*Pavo spiciferus*, Vieillot), vu par sa face antérieure, de grandeur naturelle.
- FIG. 2. — Face interne du même os.
- FIG. 3. — Extrémité articulaire supérieure vue en dessus.
- FIG. 4. — Extrémité articulaire inférieure vue en dessous.
- FIG. 5. — Tarso-métatarsien du **Faisan Prêlat** de Cochinchine, mâle (*Phasianus praelatus*, Bon.), vu par sa face antérieure, de grandeur naturelle.
- FIG. 6. — Extrémité articulaire supérieure vue en dessus, et un peu grossie.
- FIG. 7. — Tarso-métatarsien du **Coq de Sonnerat**, mâle, des Indes (*Gallus Sonnerati*, Temm.), vu par sa face antérieure, de grandeur naturelle.
- FIG. 8. — Face interne du même os.
- FIG. 9. — Extrémité articulaire supérieure vue en dessus et un peu grossie.
- FIG. 10. — Tarso-métatarsien d'un **Tragopan de Temminck**, mâle (*Satyra Temminckii*, G. Gr.), vu par sa face antérieure, de grandeur naturelle.
- FIG. 11. — Extrémité articulaire supérieure, vue en dessus et un peu grossie.
- FIG. 12. — Tarso-métatarsien d'un **Lophophore**, mâle (*Lophophorus impeyanus*, Lath.), vu par sa face antérieure, de grandeur naturelle.
- FIG. 13. — Extrémité articulaire supérieure vue en dessus, un peu grossie.
- FIG. 14. — Extrémité articulaire inférieure vue en dessous, un peu grossie.
- FIG. 15. — Os du pied d'une femelle de la même espèce vu par sa face antérieure, de grandeur naturelle.





MCZ LIBRARY  
HARVARD UNIVERSITY  
CAMBRIDGE, MA USA



## PLANCHE 114.

### GALLINACÉS.

- FIG. 1. — Tarso-métatarsien d'un **Éperonier** de Cochinchine, mâle (*Polyplectron Germani*, Elliot), vu par sa face antérieure, de grandeur naturelle.
- FIG. 2. — Face interne du même os.
- FIG. 3. — Extrémité articulaire supérieure, vue en dessus et un peu grossie.
- FIG. 4. — Extrémité articulaire inférieure, vue en dessous et un peu grossie.
- FIG. 5. — Tarso-métatarsien d'un **Francolin** mâle (*Francolinus Asiæ*, Bonaparte), vu par sa face antérieure, de grandeur naturelle.
- FIG. 6. — Face interne du même os.
- FIG. 7. — Extrémité articulaire supérieure, vue en dessus et un peu grossie.
- FIG. 8. — Tarso-métatarsien d'un **Argus** mâle (*Argusanus giganteus*, Temm.), vu par sa face antérieure, de grandeur naturelle.
- FIG. 9. — Face interne du même os.
- FIG. 10. — Face postérieure du même.
- FIG. 11. — Extrémité articulaire supérieure, vue en dessus et un peu grossie.
- FIG. 12. — Tarso-métatarsien d'un **Tétraogalle de l'Himalaya**, mâle (*Tetraogallus himalayensis*, Gr.), vu par sa face antérieure, de grandeur naturelle. (L'éperon a été scié.)
- FIG. 13. — Face interne du même os.
- FIG. 14. — Extrémité articulaire supérieure, vue en dessus et un peu grossie.
- FIG. 15. — Extrémité articulaire inférieure, vue en dessous et un peu grossie.
- FIG. 16. — Tarso-métatarsien du **grand Coq de bruyère**, mâle (*Tetrao urogallus*, Lin.), vu par sa face antérieure, de grandeur naturelle.
- FIG. 17. — Face interne du même os.
- FIG. 18. — Extrémité articulaire supérieure, vue en dessus et un peu grossie.
- FIG. 19. — Extrémité articulaire inférieure vue en dessous.



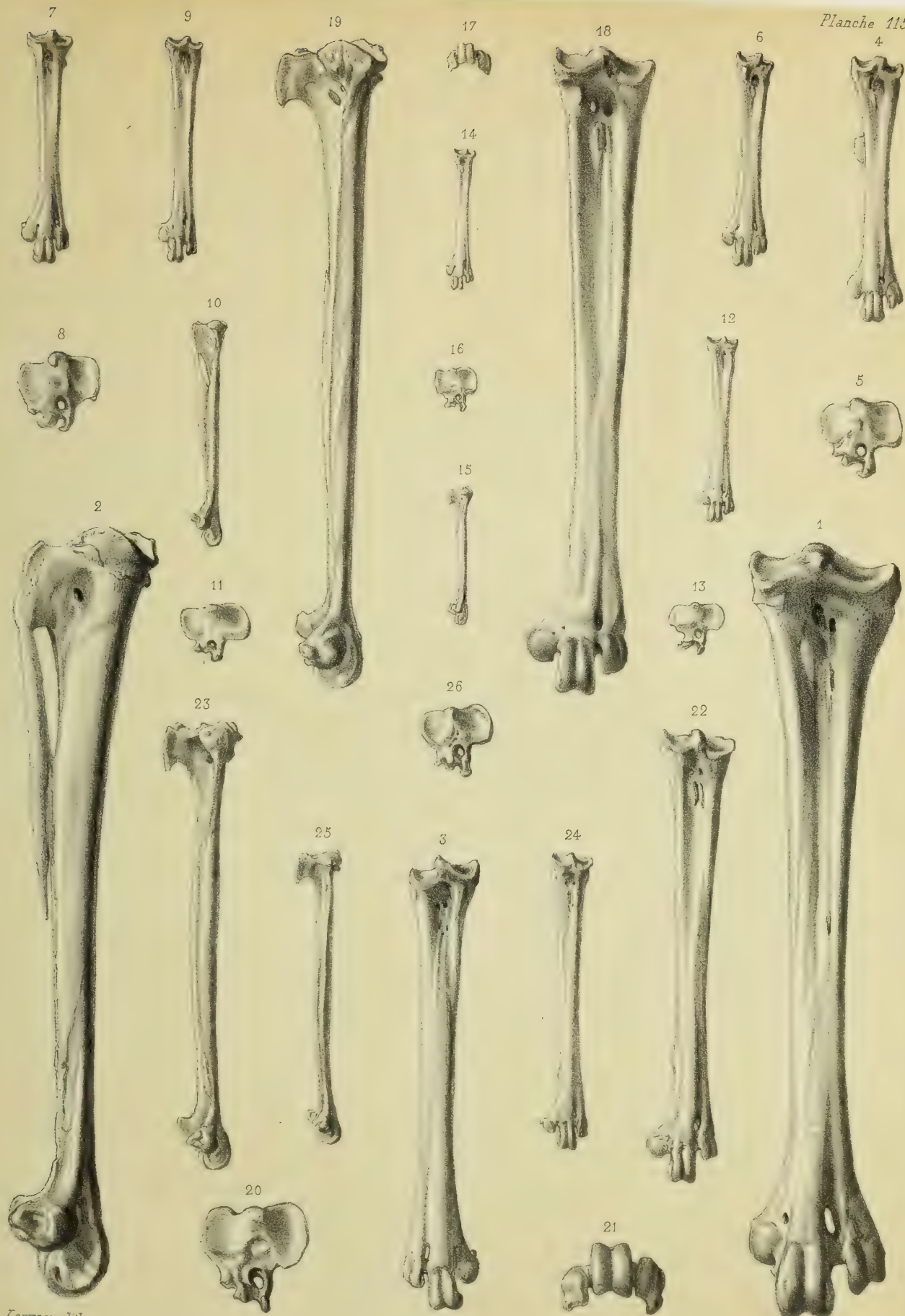


MCZ LIBRARY  
HARVARD UNIVERSITY  
CAMBRIDGE, MA USA



- FIG. 1. — Tarso-métatarsien d'un **Dindon** commun, mâle (*Meleagris gallopavo*, Lin.), vu de face, de grandeur naturelle.
- FIG. 2. — Face interne du même os.
- FIG. 3. — Tarso-métatarsien d'une **Pintade** d'Abyssinie (*Numida ptilorhyncha*, Lich.), vu par sa face antérieure.
- FIG. 4. — Le même os, vu de face, provenant d'une **Perdrix grecque**, mâle (*Perdix græca*, Bélon).
- FIG. 5. — Extrémité articulaire supérieure, vue en dessus et grossie.
- FIG. 6. — Os du pied d'une **Perdrix rouge** (*Perdix rubra*, Br.), vu par sa face antérieure.
- FIG. 7. — Os du pied d'une **Perdrix Gambia** (*Perdix petrosa*, Licht.), vu par sa face antérieure.
- FIG. 8. — Extrémité articulaire supérieure, vue en dessus et grossie.
- FIG. 9. — Le même os, vu de face et provenant d'un **Rouloul** mâle (*Cryptonyx cristatus*, Gmel.).
- FIG. 10. — Face interne du même.
- FIG. 11. — Extrémité articulaire supérieure, vue en dessus et grossie.
- FIG. 12. — Os du pied d'un **Colin de Californie**, mâle (*Ortyx californica*, Shaw), vu par sa face antérieure.
- FIG. 13. — Extrémité articulaire, vue en dessus et grossie.
- FIG. 14. — Os du pied d'une **Caille** (*Coturnix communis*, Bonnat.), vu par sa face antérieure.
- FIG. 15. — Face interne du même.
- FIG. 16. — Extrémité articulaire supérieure, vue en dessus et grossie.
- FIG. 17. — Extrémité articulaire inférieure, vue en dessous et grossie.
- FIG. 18. — Os du pied d'un **Bocco**, mâle (*Crax globicera*, Lin.), vu par sa face antérieure.
- FIG. 19. — Face interne du même os.
- FIG. 20. — Extrémité articulaire supérieure vue en dessus.
- FIG. 21. — Extrémité articulaire inférieure vue en dessous.
- FIG. 22. — Os du pied d'une **Pénélope** mâle (*Penelope marail*, Gmel.), vu par sa face antérieure.
- FIG. 23. — Face interne du même os.
- FIG. 24. — Os du pied d'une **Ortalide** (*Ortalida motmot*, Lin.).
- FIG. 25. — Face interne du même os.
- FIG. 26. — Extrémité articulaire supérieure, vue en dessus et grossie.







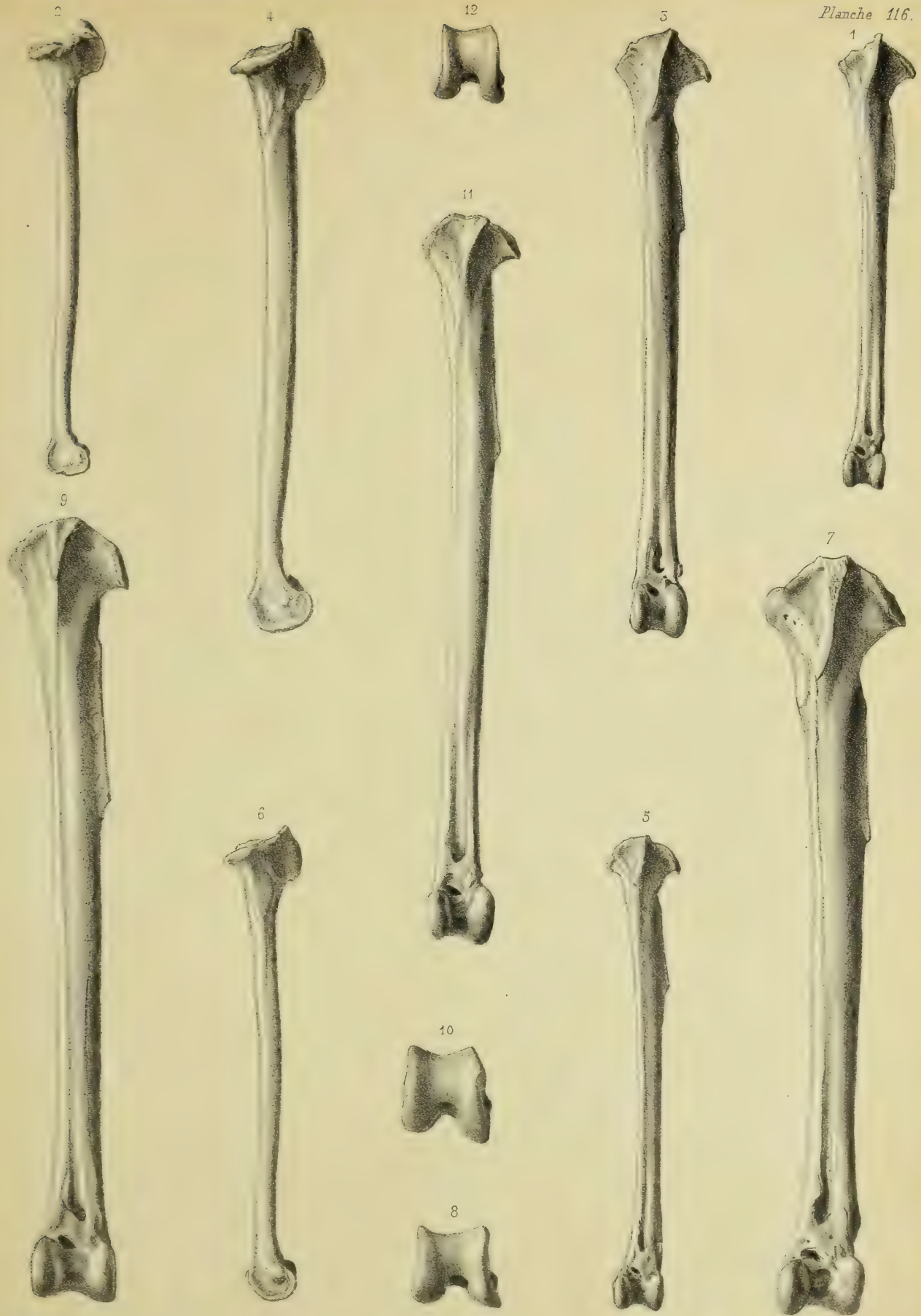
MCT LIBRARY  
HARVARD UNIVERSITY  
CAMBRIDGE, MA USA



## PLANCHE 116.

### GALLINACÉS.

- FIG. 1. — Tibia d'un **Francolin** (*Francolinus Asiæ*, Bonap.), vu par sa face antérieure, de grandeur naturelle.
- FIG. 2. — Le même os, vu par sa face interne.
- FIG. 3. — Tibia du **Coq de Sonnerat** (*Gallus Sonnerati*, Temm.), vu par sa face antérieure.
- FIG. 4. — Face interne du même os.
- FIG. 5. — Tibia d'une **Perdrix grecque** (*Perdix græca*, Bélon.), vu en avant.
- FIG. 6. — Face interne du même os.
- FIG. 7. — Tibia d'un **Tétraogalle**, mâle (*Tetraogallus Himalayensis*, Gray), vu en avant.
- FIG. 8. — Extrémité articulaire inférieure vue en dessous.
- FIG. 9. — Tibia d'un **Coq de bruyère** (*Tetrao urogallus*, Lin.), vu en avant.
- FIG. 10. — Extrémité articulaire inférieure vue en dessous.
- FIG. 11. — Tibia d'une **Pénélope**, mâle (*Penelope marail*, Gmel.), vu en avant.
- FIG. 12. — Extrémité articulaire inférieure vue en dessous.



MCZ LIBRARY  
HARVARD UNIVERSITY  
CAMBRIDGE, MA USA

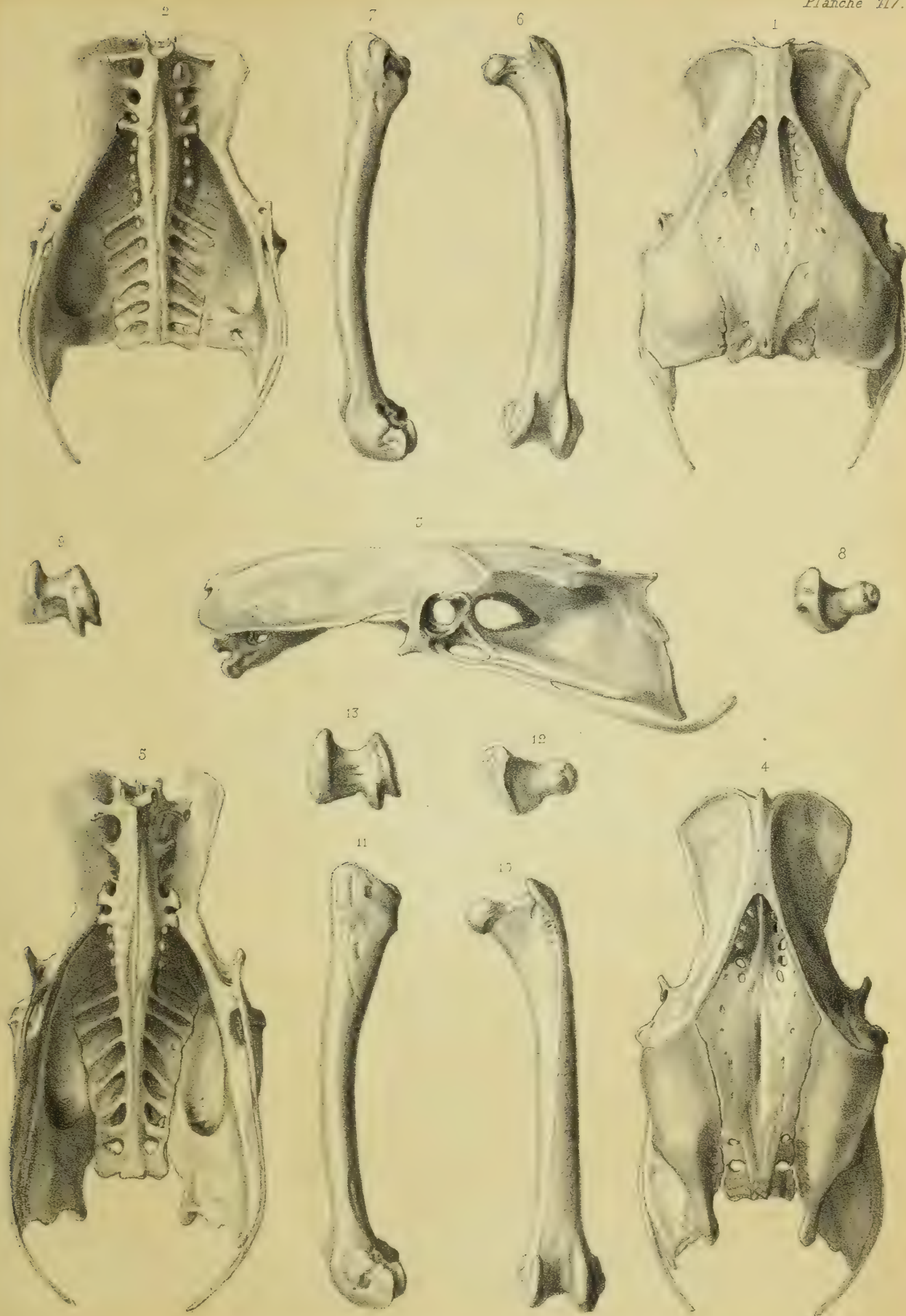




## PLANCHE 117.

### GALLINA CÉS.

- FIG. 1. — Bassin d'un **Tétras des Saules** (*Tetrao albus*, Lin., *Tetrao saliceti*, Temm.), vu en dessus, de grandeur naturelle.
- FIG. 2. — Face inférieure du même os.
- FIG. 3. — Bassin du **Coq de Sonnerat** (*Gallus Sonnerati*, Temm.), vu de côté.
- FIG. 4. — Face supérieure du même.
- FIG. 5. — Face inférieure du même.
- FIG. 6. — Fémur du même oiseau vu en avant.
- FIG. 7. — Face externe du même os.
- FIG. 8. — Extrémité articulaire supérieure vue en dessus.
- FIG. 9. — Extrémité articulaire inférieure vue en dessous.
- FIG. 10. — Fémur d'un **Faisan prélat**, mâle (*Phasianus praelatus*, Bonap.), vu par sa face antérieure.
- FIG. 11. — Face externe du même os.
- FIG. 12. — Extrémité articulaire supérieure vue en dessus.
- FIG. 13. — Extrémité articulaire inférieure vue en dessous.



35717  
CITY  
USA

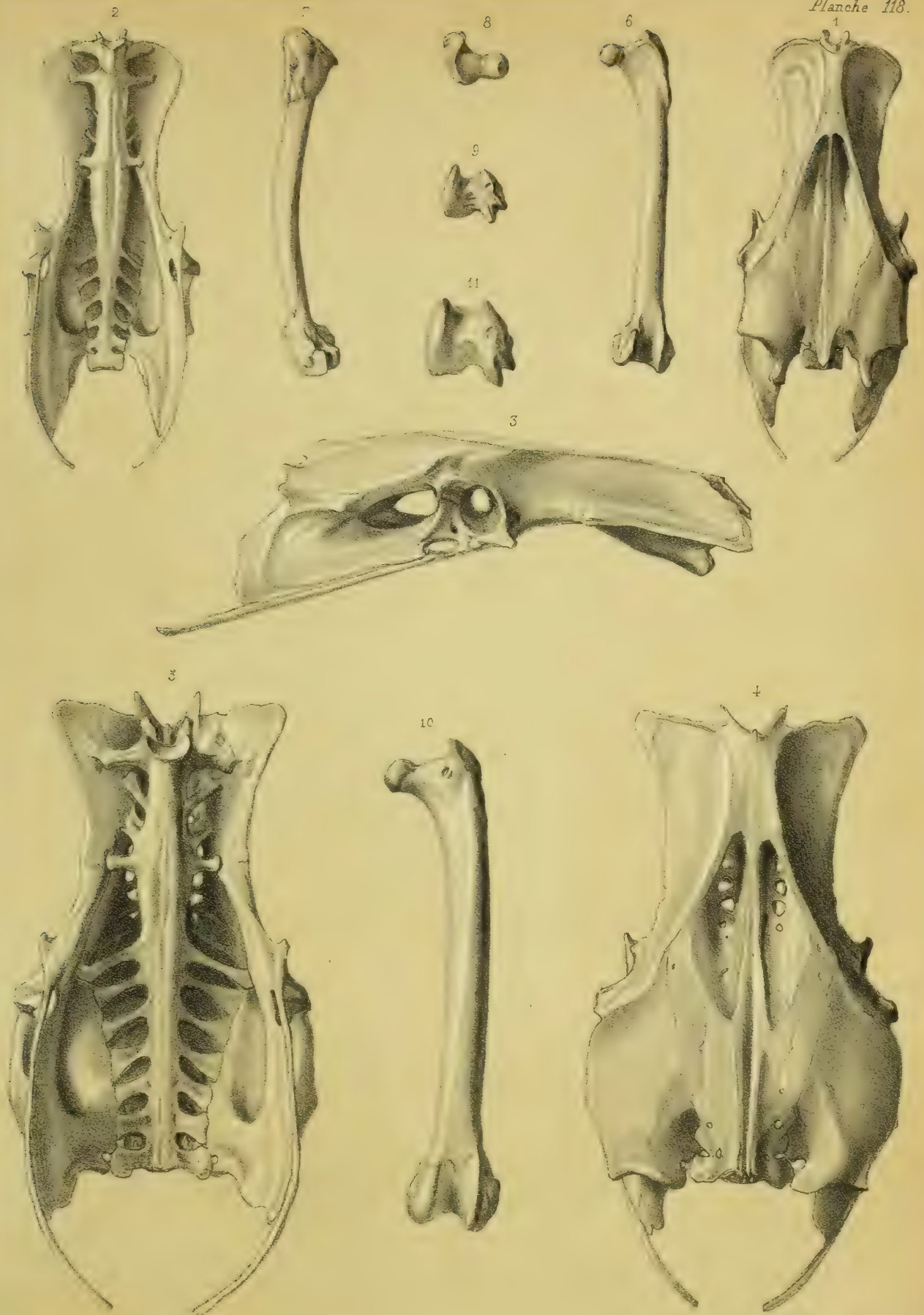




## PLANCHE 118.

### GALLINACÉS.

- FIG. 1. — Bassin d'un **Francolin**, mâle (*Francolinus Asiæ*, Bonap.), vu en dessus de grandeur naturelle.
- FIG. 2. — Face inférieure du même.
- FIG. 3. — Bassin d'une **Pénélope** (*Penelope obscura*, Illiger), vu de côté.
- FIG. 4. — Face supérieure du même.
- FIG. 5. — Face inférieure du même.
- FIG. 6. — Fémur du **Francolin** d'Asie, vu par sa face antérieure.
- FIG. 7. — Face externe du même os.
- FIG. 8. — Extrémité articulaire supérieure vue en dessus.
- FIG. 9. — Extrémité articulaire inférieure vue en dessous.
- FIG. 10. — Fémur de la **Pénélope obscure**, vu par sa face antérieure.
- FIG. 11. — Extrémité articulaire inférieure vue en dessous.



MCZ LIBRARY  
HARVARD UNIVERSITY  
CAMBRIDGE, MA USA

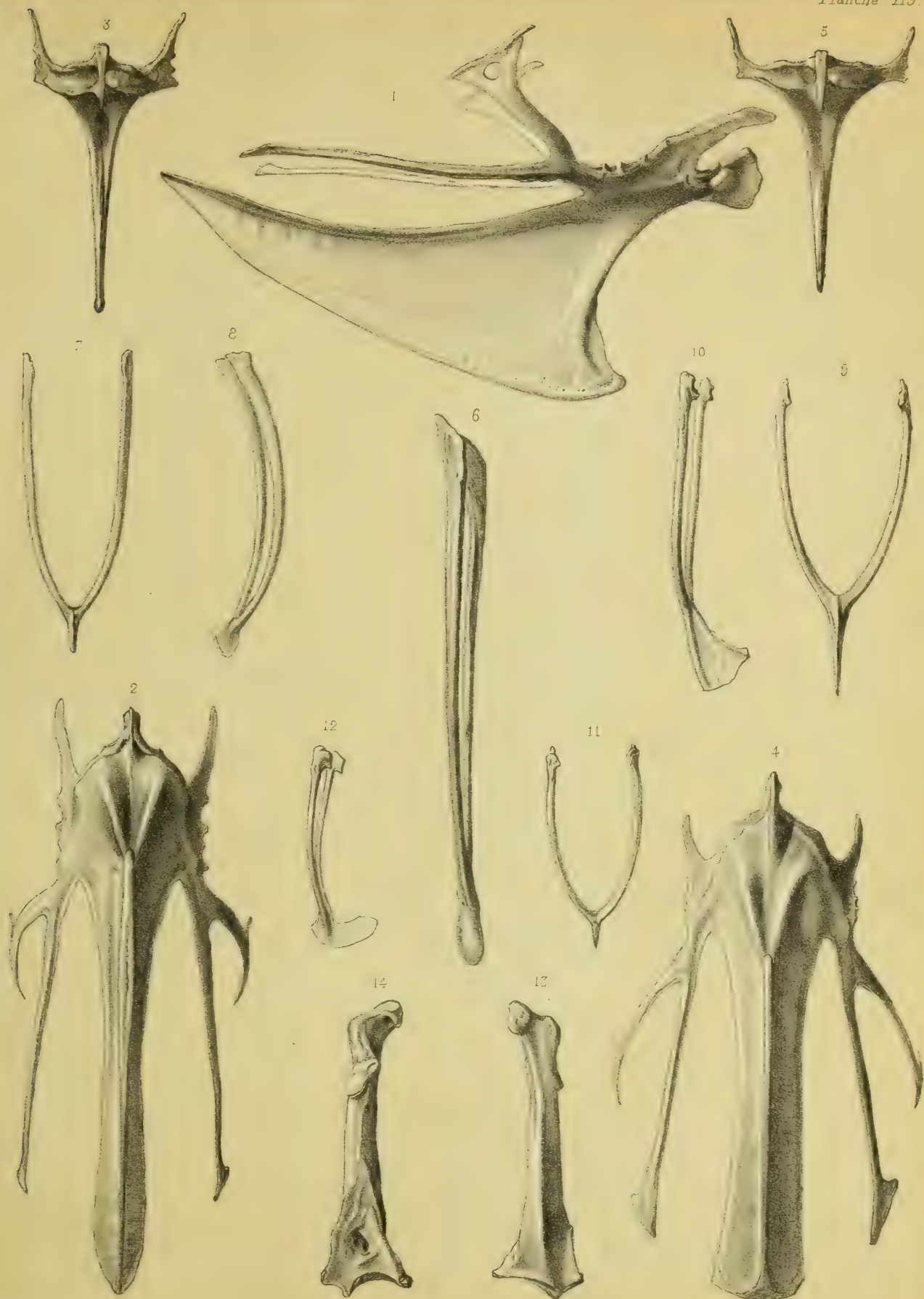


## PLANCHE 119.

### GALLINACÉS.

- FIG. 1. — Sternum d'un **Coq de Sonnerat** (*Gallus Sonnerati*, Temm.), vu de côté, de grandeur naturelle.
- FIG. 2. — Face inférieure du même os.
- FIG. 3. — Le même, vu en avant et montrant la disposition des rainures coracoïdiennes.
- FIG. 4. — Sternum d'un **Tétras d'Écosse**, mâle (*Tetrao scoticus*, Latham), vu par sa face inférieure.
- FIG. 5. — Portion antérieure du même.
- FIG. 6. — Os furculaire d'un **Dindon** ordinaire, mâle (*Meleagris Gallopavo*, Lin.), vu de côté et un peu réduit.
- FIG. 7. — Os furculaire d'une **Pénélope** (*Penelope obscura*, Illiger), vu par sa face postérieure.
- FIG. 8. — Le même os, vu de côté.
- FIG. 9. — Os furculaire du **Tétras d'Écosse**, vu par sa face postérieure.
- FIG. 10. — Le même, vu de côté.
- FIG. 11. — Os furculaire d'un **Kouloul** (*Cryptonyx cristatus*, Gmel.), vu par sa face postérieure.
- FIG. 12. — Le même, vu de côté.
- FIG. 13. — Os coracoïdien d'un **Tragopan**, mâle (*Satyra Temminckii*, Gray), vu par sa face antérieure.
- FIG. 14. — Face postérieure du même os.





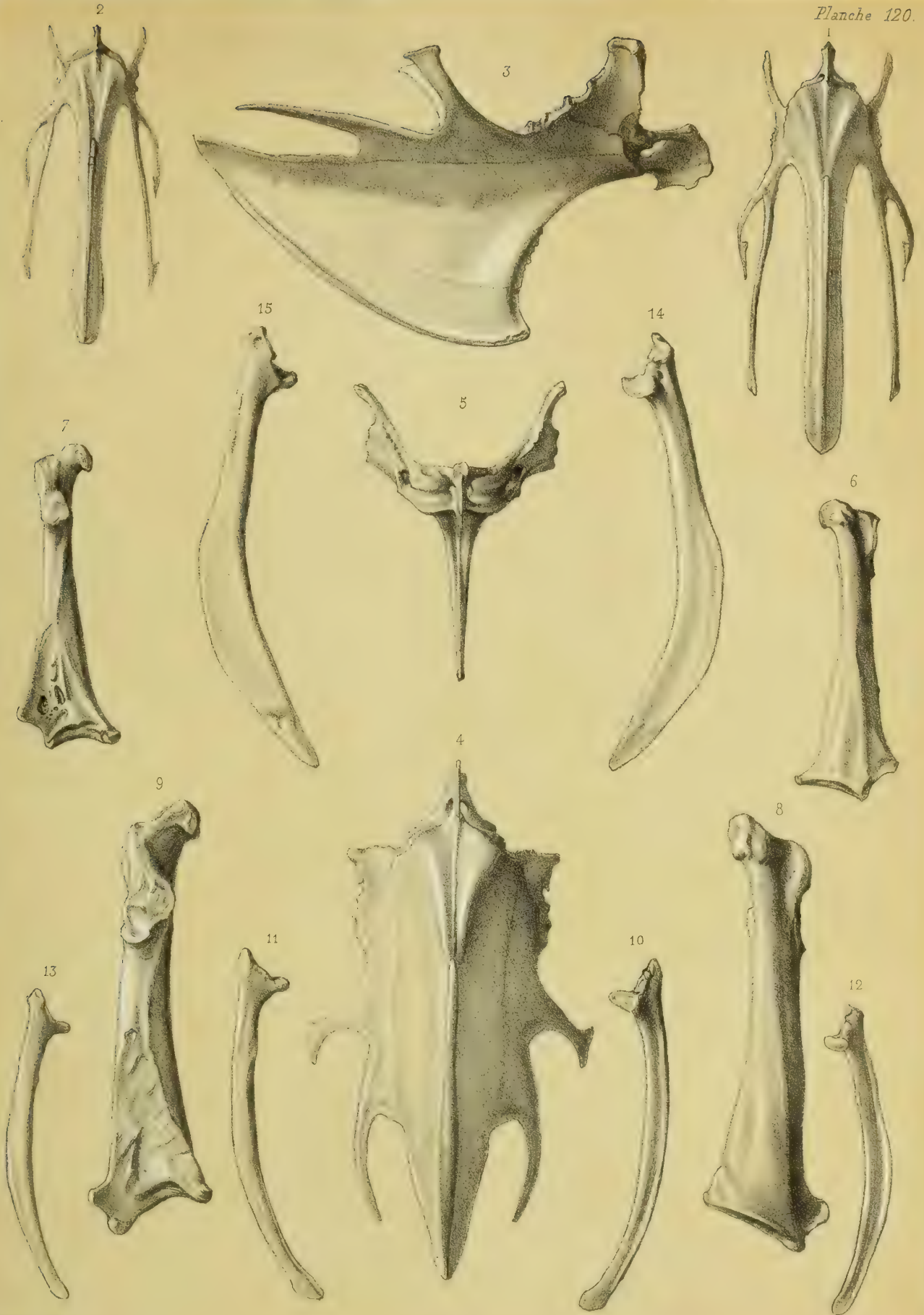




## PLANCHE 120.

### GALLINACÉS.

- FIG. 1. — Sternum de la **Perdrix grise** (*Perdix cinerea*, Lath.), vu par sa face inférieure, de grandeur naturelle.
- FIG. 2. — Sternum du **Colin de Californie** (*Ortyx Californica*, Shaw.), vu par sa face inférieure.
- FIG. 3. — Sternum d'une **Pénélope** (*Penelope obscura*, Illiger), vu de côté.
- FIG. 4. — Face inférieure du même.
- FIG. 5. — Portion antérieure du même, montrant la disposition des rainures coracoïdiennes.
- FIG. 6. — Coracoïdien du même oiseau, vu par sa face antérieure.
- FIG. 7. — Face postérieure du même os.
- FIG. 8. — Coracoïdien d'un **Paon spicifère** (*Pavo spiciferus*, Vieil.), vu par sa face antérieure et un peu réduit.
- FIG. 9. — Face postérieure du même os.
- FIG. 10. — Omoplate d'un **Tétras d'Écosse** (*Tetrao scoticus*, Lath.), vue en dessus.
- FIG. 11. — Face inférieure du même os.
- FIG. 12. — Omoplate d'un **Coq de Sonnerat** (*Gallus Sonnerati*, Tem.), vue en dessus.
- FIG. 13. — Face inférieure du même os.
- FIG. 14. — Omoplate de la **Pénélope obscure**, vue en dessus.
- FIG. 15. — Face inférieure du même os.





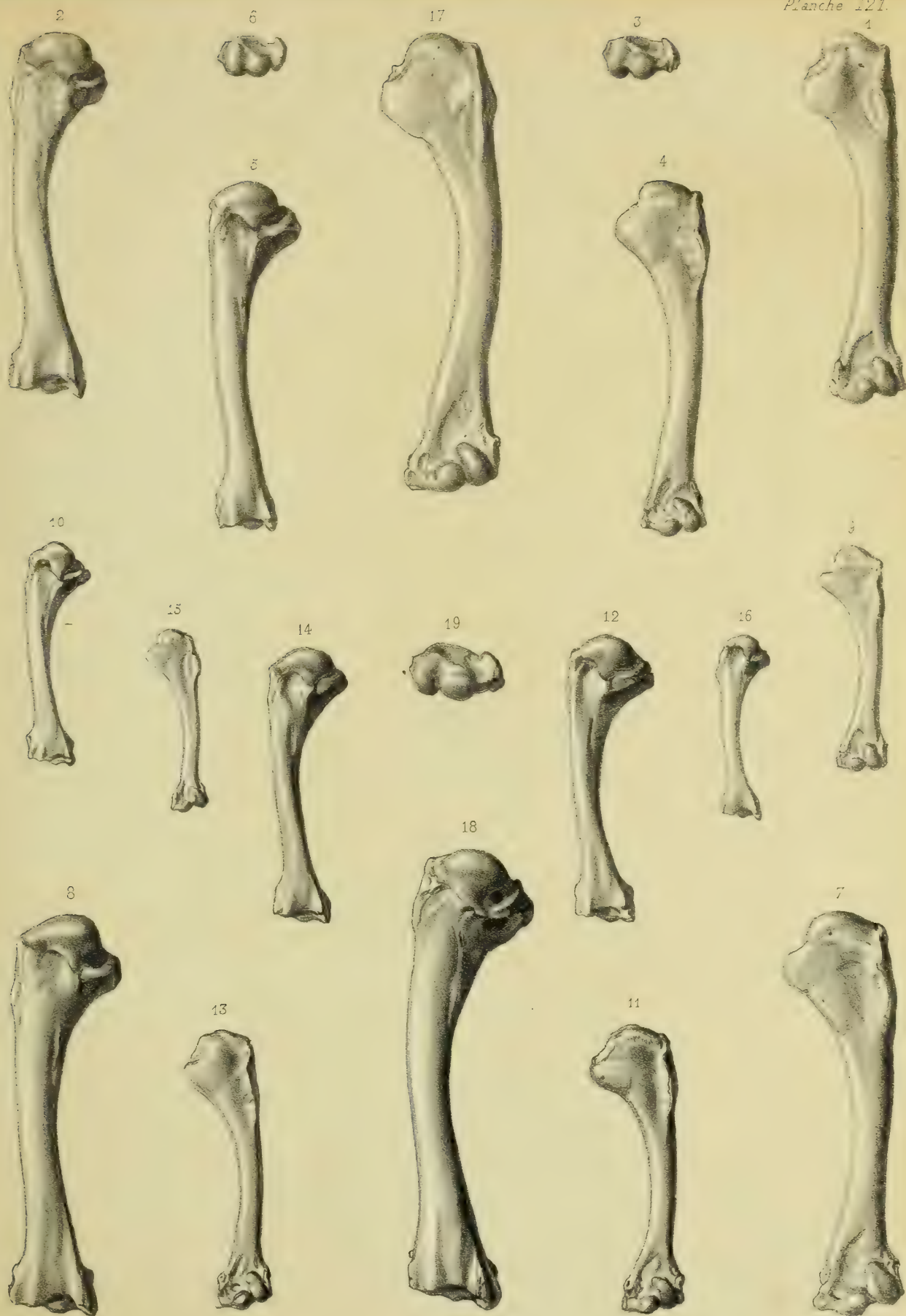




## PLANCHE 121.

### GALLINACÉS.

- FIG. 1. — Humérus d'un **Cog de Sonnerat** (*Gallus Sonnerati*, Tem.), vu par sa face antérieure, de grandeur naturelle.
- FIG. 2. — Face inférieure du même.
- FIG. 3. — Extrémité articulaire inférieure vue en dessous.
- FIG. 4. — Humérus d'un **Tétras d'Écosse** (*Tetrao scoticus*, Lath.), vu par sa face antérieure.
- FIG. 5. — Face postérieure du même os.
- FIG. 6. — Extrémité articulaire supérieure vue en dessous.
- FIG. 7. — Humérus d'un **Faisan Prêlat**, mâle (*Phasianus praelatus*, Bonap.), vu en avant.
- FIG. 8. — Face postérieure du même os.
- FIG. 9. — Humérus d'un **Rouloul**, mâle (*Cryptonyx cristatus*, Gmel.), vu en avant.
- FIG. 10. — Face postérieure du même os.
- FIG. 11. — Humérus d'une **Perdrix grecque**, mâle (*Perdix græca*, Bélon), vu en avant.
- FIG. 12. — Face postérieure du même os.
- FIG. 13. — Humérus d'une **Perdrix Gamba**, mâle (*Perdix petrosa*, Lath.), vu en avant.
- FIG. 14. — Face postérieure du même os.
- FIG. 15. — Humérus d'un **Colin de Californie**, mâle (*Ortyx Californica*, Shaw).
- FIG. 16. — Face postérieure du même os.
- FIG. 17. — Humérus d'une **Pénélope** (*Penelope marail*, Gmel.), vu en avant.
- FIG. 18. — Face postérieure du même os.
- FIG. 19. — Extrémité articulaire inférieure vue en dessous.









## PLANCHE 122.

### GALLINACÉS.

- FIG. 1. — Cubitus d'un **Paon spicifère**, mâle (*Pavo spiciferus*, Vieillot), vu par sa face antérieure, de grandeur naturelle.
- FIG. 2. — Face externe du même os.
- FIG. 3. — Cubitus d'un **Lophophore**, mâle (*Lophophorus impeyanus*, Lath.), vu en avant.
- FIG. 4. — Face externe du même os.
- FIG. 5. — Cubitus d'une **Pénélope** (*Penelope marail*, Gmel.), vu par sa face externe.
- FIG. 6. — Radius d'un **Paon spicifère**, vu par sa face antérieure.
- FIG. 7. — Tête osseuse d'un **Lophophore**, femelle, vue de côté.
- FIG. 8. — Face supérieure de la même.
- FIG. 9. — Face inférieure de la même.
- FIG. 10. — Crâne vu par sa face postérieure.
- FIG. 11. — Tête osseuse d'un **Tétras d'Écosse** (*Tetrao scoticus*, Lath.), vue de côté.
- FIG. 12. — Face supérieure de la même.
- FIG. 13. — Face inférieure de la même.



MCZ LIBRARY  
HARVARD UNIVERSITY  
CAMBRIDGE, MA USA

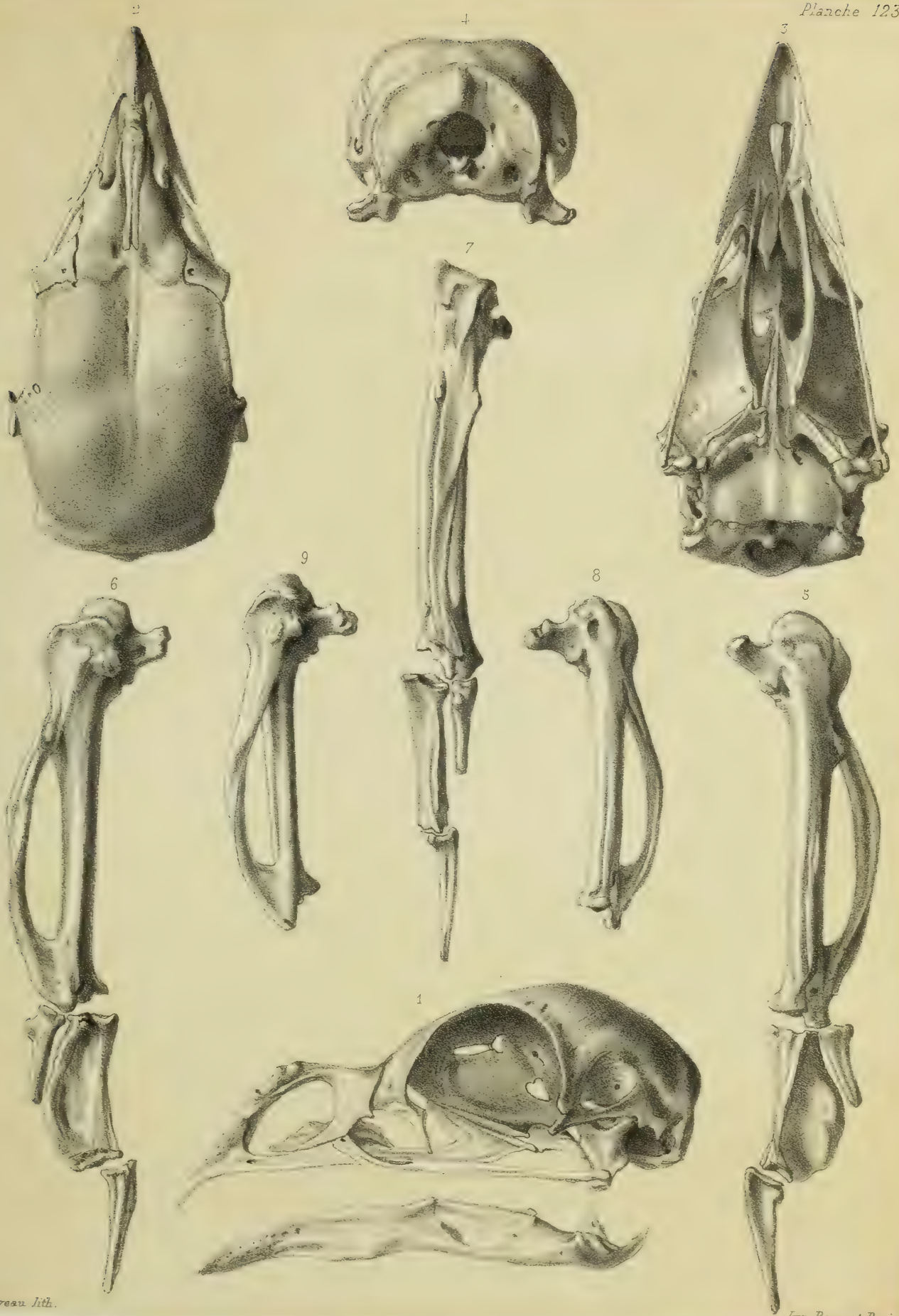




## PLANCHE 123.

### GALLINACÉS.

- FIG. 1. — Tête osseuse d'un **Hocco**, mâle (*Crax globicera*, Lin.), vue de côté, de grandeur naturelle.
- FIG. 2. — Face supérieure de la même.
- FIG. 3. — Face inférieure de la même.
- FIG. 4. — Crâne vu par sa face postérieure.
- FIG. 5. — Portion terminale de l'aile d'un **Paon spicifère**, femelle (*Pavo spiciferus*, Vieillot), vue par sa face antérieure.
- FIG. 6. — La même, vue par sa face interne.
- FIG. 7. — Le métacarpe, vu par sa face postérieure.
- FIG. 8. — Métacarpe d'un **Hocco globicère**, vu par sa face externe
- FIG. 9. — Face interne du même os.



MCLELLAN  
HARVARD UNIVERSITY  
CAMBRIDGE MA USA



## PLANCHE 124.

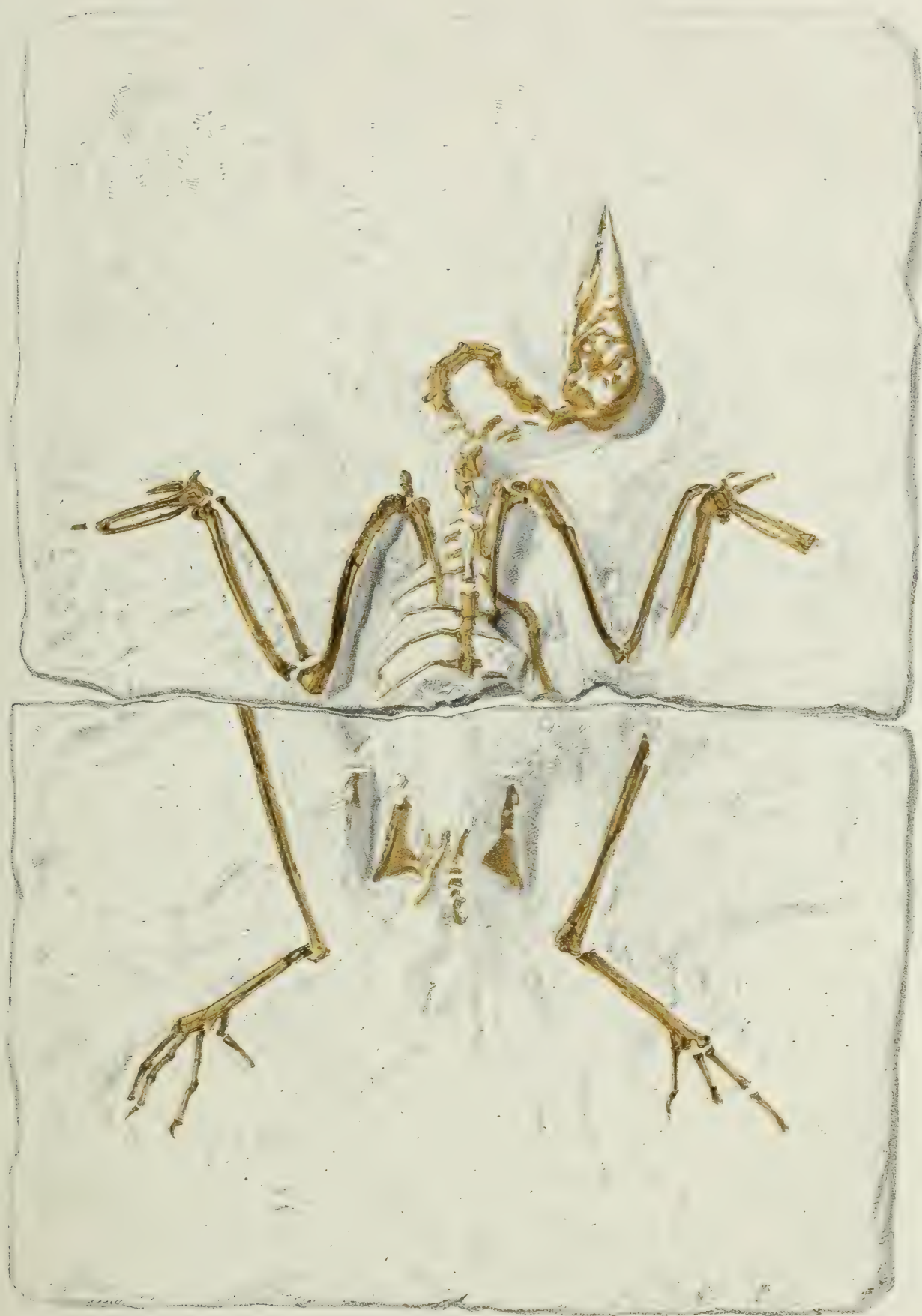
### GALLINACÉS

#### FOSSILES.

Squelette d'un oiseau que M. P. Gervais avait désigné sous le nom de *Tringa?* *Hoffmanni*, mais que je crois devoir ranger dans la famille des Gallinacés, sous le nom de **Palæortyx Hoffmanni**.

Cette espèce provient du gypse des environs de Paris.







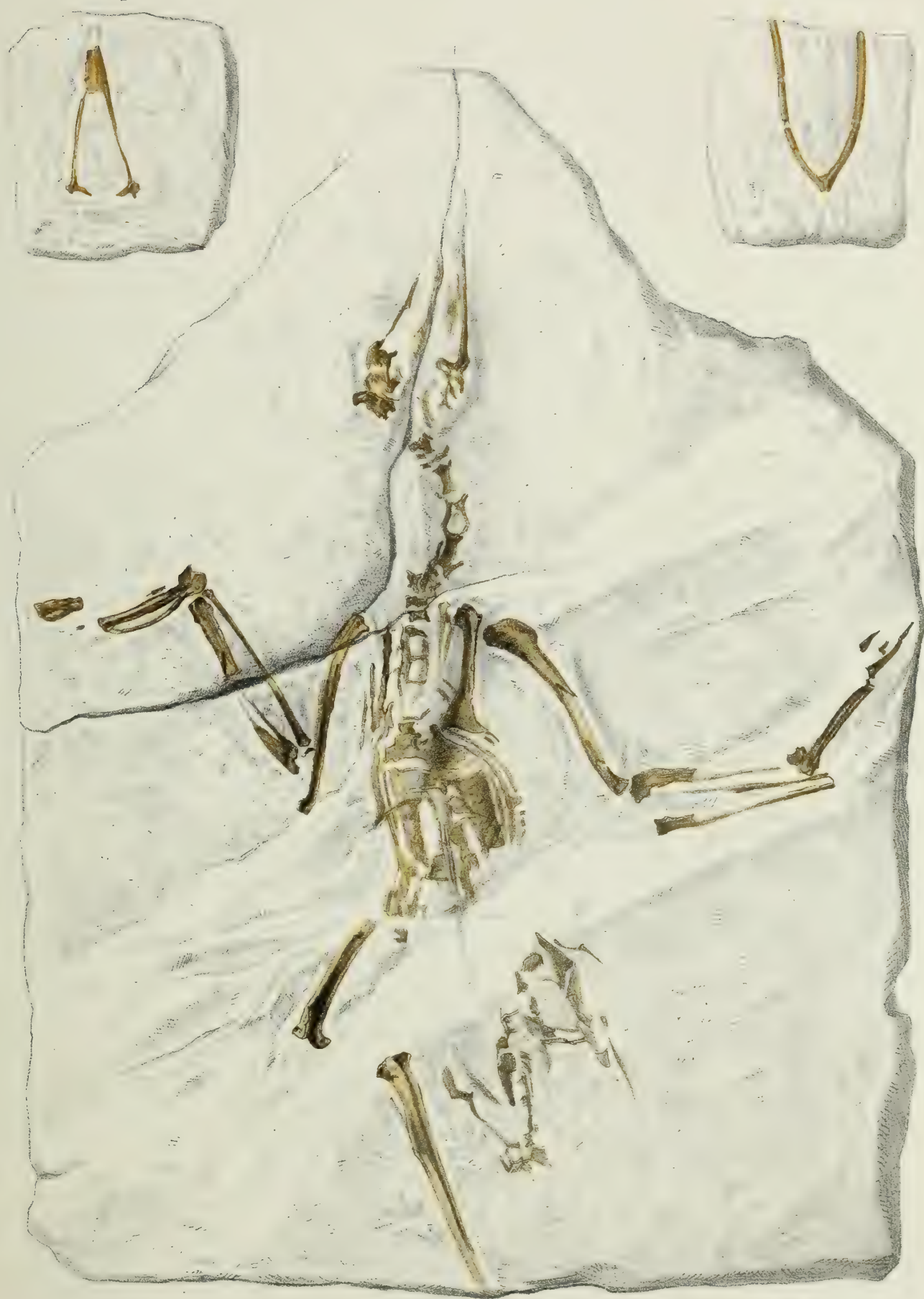


## PLANCHE 125.

### GALLINACÉS

#### FOSSILES.

- FIG. 1. — Squelette presque complet d'un oiseau provenant du gypse des environs de Paris, et que je crois être un **Palaeortyx Hoffmanni** (voyez pl. 124).
- FIG. 2. — Mandibule inférieure de **Palaeortyx**? provenant du gypse de Montmartre.
- FIG. 3. — Os furculaire appartenant probablement à un oiseau de la famille des Gallinacés, et provenant du gypse des environs de Paris.





MCZ LIBRARY  
HARVARD UNIVERSITY  
CAMBRIDGE, MA USA



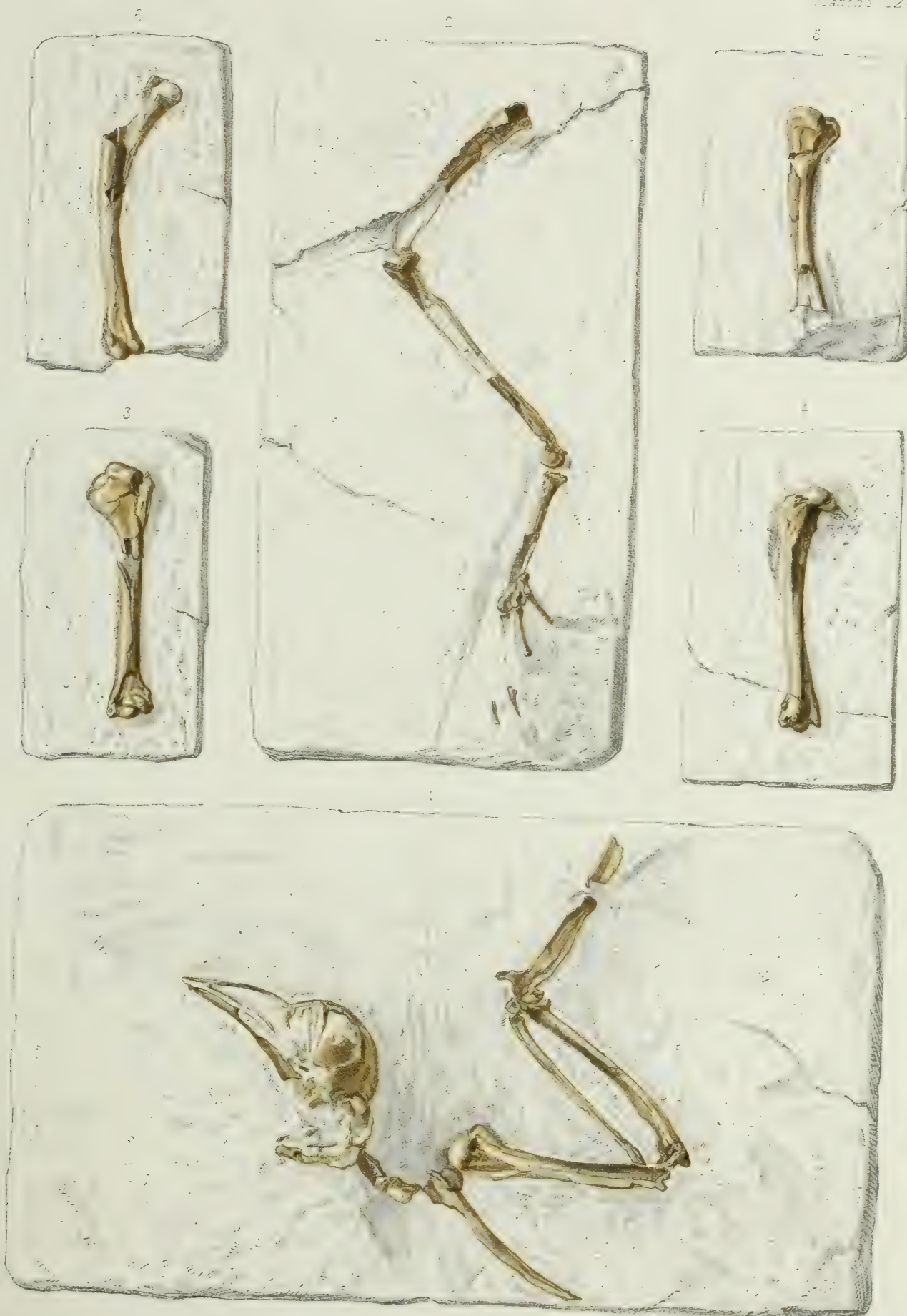
## PLANCHE 126.

### GALLINACÉS

#### FOSSILES.

- FIG. 1. — Portion du squelette du **Palaeortyx Blanchardi** (A. Milne Edwards), espèce fossile du gypse des environs de Paris (de grandeur naturelle, ainsi que les figures suivantes).
- FIG. 2. — Patte entière appartenant probablement au **Palaeortyx Hoffmanni**, provenant du gypse des environs de Paris.
- FIG. 3. — Humérus du **Palaeortyx Blanchardi**, vu par sa face antérieure.
- FIG. 4. — Autre humérus vu par sa face postérieure.
- FIG. 5. — Humérus de la même espèce.
- FIG. 6. — Humérus incomplet provenant d'un oiseau du même groupe, mais de taille plus considérable que le précédent.

(De la collection du Muséum.)



M. H. ...  
HARVARD ...  
CAMBRIDGE, MASS. ...





PLANCHE 127.

GALLINACÉS

FOSSILES.

Squelette presque complet du **Taoperdix Pessieti** (A. Milne Edwards), **Tetrao ? Pessieti** (P. Gervais), provenant d'Armissan (Aude).

Cette pièce, représentée ici de grandeur naturelle, fait partie de la collection de M. Pessieto à Narbonne.



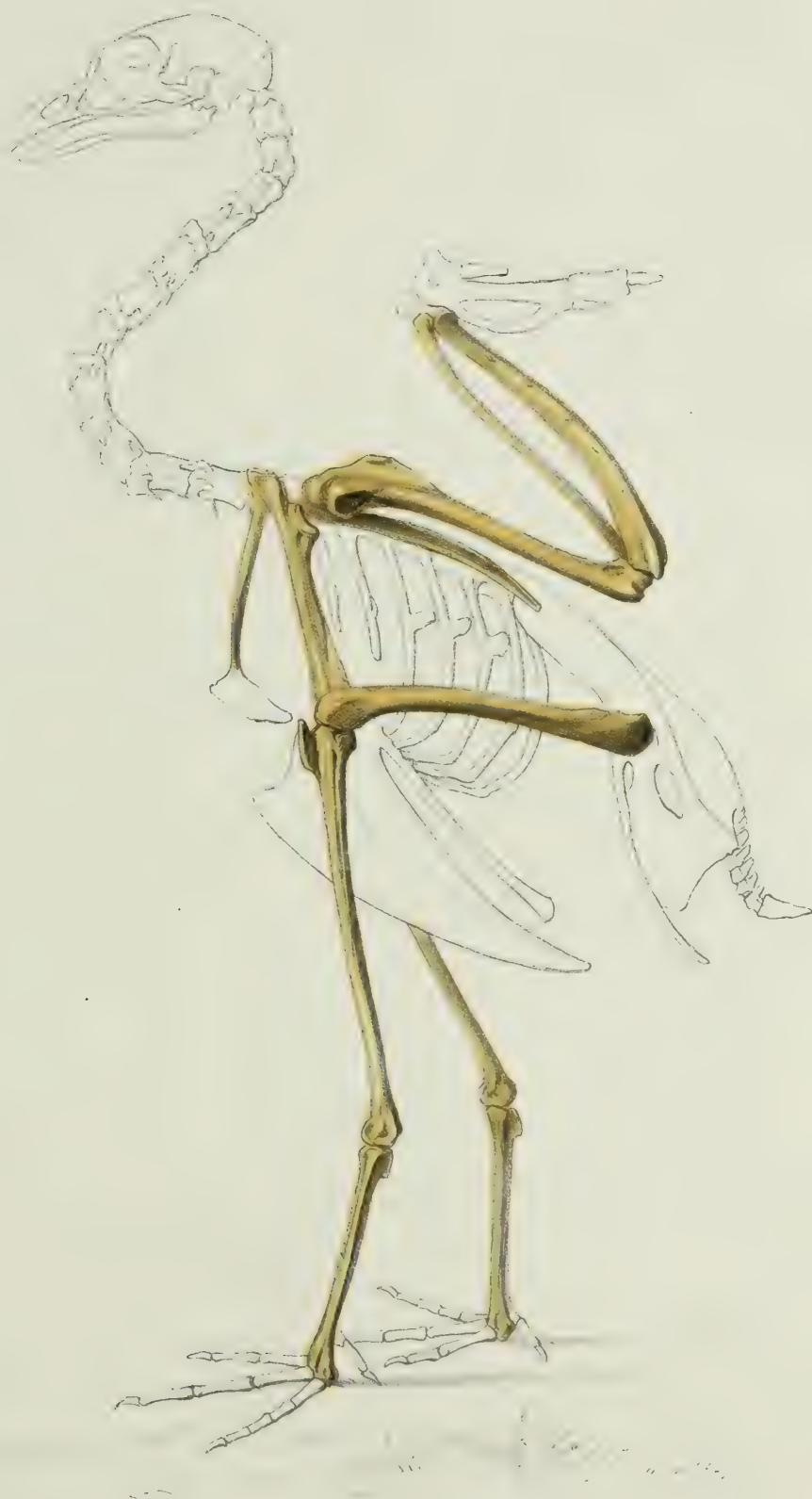
PLANCHE 128.

GALLINACÉS

FOSSILES.

**Squelette reconstitué du *Palaeortyx gallica*** (A. Milne Edwards), oiseau fossile  
provenant des terrains tertiaires du département de l'Allier.

Les parties ombrées sont seules connues; les parties au trait n'ont pas été rencontrées





MOZ LIBRARY  
HARVARD UNIVERSITY  
CAMBRIDGE, MA USA



## PLANCHE 129.

### GALLINACÉS.

#### FOSSILES.

**Ostéologie du *Palæortyx gallica*** (A. Milne Edwards), oiseau provenant des terrains tertiaires moyens de l'Allier.

- FIG. 1. — Portion de la patte vue par sa face interne, de grandeur naturelle.  
FIG. 2. — Tarso-métatarsien vu par devant.  
FIG. 3. — Face postérieure du même os.  
FIG. 4. — Portion inférieure du même, vue par sa face antérieure et grossie.  
FIG. 5. — La même, vue par sa face postérieure et grossie.  
FIG. 6. — Extrémité articulaire supérieure, vue en dessus et grossie.  
FIG. 7. — Extrémité articulaire inférieure, vue en dessous et grossie.  
FIG. 8. — Tibia vu par devant, de grandeur naturelle.  
FIG. 9. — Face postérieure du même os.  
FIG. 10. — Extrémité inférieure du même, grossie.  
FIG. 11. — Extrémité articulaire inférieure, vue en dessous et grossie.  
FIG. 12. — Fémur vu par devant, de grandeur naturelle.  
FIG. 13. — Face externe du même os.  
FIG. 14. — Face postérieure du même.  
FIG. 15. — Portion supérieure grossie.  
FIG. 16. — Portion inférieure, vue en avant et grossie.  
FIG. 17. — Face postérieure de la même.  
FIG. 18. — Fémur de plus petite taille, provenant peut-être d'une femelle de ***Palæortyx gallica***, de grandeur naturelle.  
FIG. 19. — Face externe du même.  
FIG. 20. — Face postérieure du même.  
FIG. 21. — Extrémité articulaire supérieure, vue en dessus et grossie.  
FIG. 22. — Extrémité articulaire inférieure, vue en dessous et grossie.  
FIG. 23. — Cubitus vu par sa face externe, de grandeur naturelle.  
FIG. 24. — Face interne du même os.  
FIG. 25. — Humérus vu en avant, de grandeur naturelle.  
FIG. 26. — Face postérieure du même os.  
FIG. 27. — Face interne du même.  
FIG. 28. — Extrémité supérieure vue par sa face postérieure, grossie.  
FIG. 29. — Extrémité inférieure vue par sa face antérieure, grossie.

(Ces pièces proviennent de ma collection.)



MCH LIBRARY  
HARVARD UNIVERSITY  
CAMBRIDGE, MA USA





## PLANCHE 130.

### GALLINACÉS.

#### FOSSILES.

**Ostéologie du *Palaeortyx brevipes*** (A. Milne Edwards), oiseau provenant du terrain tertiaire moyen du département de l'Allier.

- FIG. 1. — Tarso-métatarsien vu par sa face antérieure, de grandeur naturelle.
- FIG. 2. — Face postérieure du même os.
- FIG. 3. — Face externe du même.
- FIG. 4. — Extrémité inférieure, vue en avant et grossie.
- FIG. 5. — Face postérieure de la même.
- FIG. 6. — Extrémité articulaire supérieure vue en dessus.
- FIG. 7. — Extrémité articulaire inférieure vue en dessous.
- FIG. 7<sup>a</sup>. — Fémur vu par sa face antérieure, de grandeur naturelle.
- FIG. 8. — Face externe du même os.
- FIG. 9. — Le même, grossi et vu en avant.
- FIG. 10. — Le même, vu par sa face postérieure.
- FIG. 11. — Extrémité articulaire inférieure vue en dessous.
- FIG. 12. — Humérus vu en avant, de grandeur naturelle.
- FIG. 13. — Face postérieure du même.
- FIG. 13<sup>a</sup>. — Cubitus vu par sa face antérieure, de grandeur naturelle.
- FIG. 13<sup>b</sup>. — Face interne du même os.
- FIG. 14. — Face externe du même.
- FIG. 15. — Le même os, vu en avant et grossi.
- FIG. 16. — Face postérieure du même.
- FIG. 17. — Coracoïdien, vu par sa face antérieure, de grandeur naturelle.
- FIG. 18. — Face postérieure du même.
- FIG. 19. — Le même os, grossi et vu en avant.
- FIG. 20. — Le même, vu en arrière.
- FIG. 21. — Le même, vu par sa face interne.
- FIG. 21<sup>a</sup>. — Tibia vu en avant, de grandeur naturelle.
- FIG. 21<sup>b</sup>. — Face interne du même os.

**Ostéologie du *Palaeortyx phasianoides*** (A. Milne Edwards), oiseau provenant du terrain tertiaire moyen du département de l'Allier.

- FIG. 22. — Portion supérieure de l'omoplate vue par sa face supérieure, de grandeur naturelle.
- FIG. 23. — Le même os, vu par sa face inférieure.
- FIG. 24. — Le même, vu par sa face interne.
- FIG. 25. — Portion articulaire, grossie.
- FIG. 26. — Humérus vu en avant.
- FIG. 27. — Le même, vu par sa face externe.

**Ostéologie du *Palaeoperdix longipes*** (A. Milne Edwards), oiseau provenant du terrain tertiaire de Sansan (Gers).

- FIG. 28. — Portion supérieure du tarso-métatarsien vu en avant, de grandeur naturelle.
- FIG. 29. — Le même os, vu par sa face postérieure.
- FIG. 30. — Face interne du même.
- FIG. 31. — Extrémité articulaire supérieure, vue en dessus et grossie.

(Ces pièces, à l'exception de celles représentées fig. 28 à 31, proviennent de ma collection.)



MCZ LIBRARY  
HARVARD UNIVERSITY  
CAMBRIDGE, MA USA





## PLANCHE 131.

### GALLINACÉS.

#### FOSSILES.

**Ostéologie du *Palaeoperdix pisa*** (A. Milne Edwards), oiseau provenant du terrain tertiaire moyen de Sansan (Gers).<sup>1</sup>

- FIG. 1. — Portion supérieure de tarso-métatarsien vue en avant, de grandeur naturelle.  
FIG. 2. — Face postérieure du même os.  
FIG. 3. — Face interne du même.  
FIG. 4. — Extrémité articulaire supérieure, vue en dessus et grossie.  
FIG. 5. — Portion du tibia vu en avant, de grandeur naturelle.  
FIG. 6. — Face postérieure du même.  
FIG. 7. — Face externe du même.  
FIG. 8. — Le même os, grossi.  
FIG. 9. — Portion d'os furculaire, de grandeur naturelle.  
FIG. 10. — Le même, grossi.  
FIG. 11. — Portion inférieure d'humérus vue en avant, de grandeur naturelle.  
FIG. 12. — Face postérieure du même os.  
FIG. 13. — Le même, grossi et vu en avant.  
FIG. 14. — Le même, vu par sa face postérieure.  
FIG. 15. — Coracoidien vu en avant.  
FIG. 16. — Face postérieure du même os.  
FIG. 17. — Face interne du même.

**Ostéologie du *Palaeoperdix sansaniensis*** (A. Milne Edwards), oiseau provenant du terrain tertiaire moyen de Sansan (Gers).

- FIG. 18. — Portion inférieure de tibia vue en avant, de grandeur naturelle.  
FIG. 19. — La même grossie.  
FIG. 20. — Face externe du même os.  
FIG. 21. — Face postérieure du même.  
FIG. 22. — Le même grossi.  
FIG. 23. — Extrémité articulaire inférieure vue en dessous.

**Ostéologie du *Phasianus medius*** (A. Milne Edwards), oiseau provenant du terrain tertiaire moyen de Sansan (Gers).

- FIG. 24. — Portion inférieure de tarso-métatarsien vue en avant, de grandeur nat.  
FIG. 25. — Face postérieure du même.  
FIG. 26. — Extrémité articulaire vue en dessous.

**Ostéologie du *Phasianus altus*** (A. Milne Edwards), oiseau provenant de Sansan (Gers).

- FIG. 27. — Portion supérieure de tarso-métatarsien vue en avant, de grandeur nat.  
FIG. 28. — Face postérieure du même os.  
FIG. 29. — Extrémité articulaire supérieure vue en dessus.  
FIG. 30. — Portion inférieure du tibia vue en avant, de grandeur naturelle.  
FIG. 31. — Face postérieure du même.  
FIG. 32. — Le même, vu par sa face externe.  
FIG. 33. — Extrémité articulaire inférieure vue en dessous.  
FIG. 34. — Première phalange du doigt médian vue en dehors.  
FIG. 35. — Face interne du même os.  
FIG. 36. — Face antérieure du même.

**Ostéologie du *Phasianus Desnoyersii*** (A. Milne Edwards), oiseau provenant du terrain tertiaire moyen de l'Orléanais.

- FIG. 37. — Os métacarpien vu par sa face externe, de grandeur naturelle.  
FIG. 38. — Face interne du même os.  
FIG. 39. — Face postérieure du même.



MOORE LIBRARY  
HARVARD UNIVERSITY  
CAMBRIDGE, MA USA



PLANCHE 132.

GALLINACÉS.

FOSSILES.

**Squelette reconstitué du Tétrás des Saules** (*Tetrao albus*, Lin., *Tetrao saliceti*, Tem.),  
provenant des cavernes à ossements du Périgord.





607 LIBRARY  
HARVARD UNIVERSITY  
CAMBRIDGE, MA USA



## PLANCHE 133.

### GALLINACÉS.

#### FOSSILES.

**Ostéologie du Tétraz des Saules** (*Tetrao albus*, Lin.), provenant des cavernes à ossements du Périgord.

- FIG. 1. — Tarso-métatarsien vu par sa face antérieure, de grandeur naturelle.
- FIG. 2. — Face postérieure du même os.
- FIG. 3. — Face interne du même.
- FIG. 4. — Extrémité articulaire supérieure, vue en dessus et grossie.
- FIG. 5. — Extrémité articulaire inférieure, vue en dessous et grossie.
- FIG. 6. — Tibia vu par sa face antérieure, de grandeur naturelle.
- FIG. 7. — Face postérieure du même os.
- FIG. 8. — Face interne du même.
- FIG. 9. — Extrémité articulaire inférieure, vue en dessous et grossie.
- FIG. 10. — Portion antérieure du sternum vue en avant.
- FIG. 11. — La même, vue de côté.
- FIG. 12. — Os furculaire vu en arrière.
- FIG. 13. — Le même, vu de côté.
- FIG. 14. — Coracoïdien vu par sa face antérieure.
- FIG. 15. — Face postérieure du même os.
- FIG. 16. — Face interne du même.
- FIG. 17. — Humérus vu en avant.
- FIG. 18. — Face postérieure du même os.
- FIG. 19. — Face interne du même.
- FIG. 20. — Cubitus vu par sa face antérieure.
- FIG. 21. — Face externe du même os.
- FIG. 22. — Face postérieure du même.
- FIG. 23. — Métacarpe et première phalange vus par leur face externe.
- FIG. 24. — Face interne des mêmes os.
- FIG. 25. — Face postérieure des mêmes.
- FIG. 26. — Crâne vu par sa face occipitale.
- FIG. 27. — Le même, vu de côté.





MCZ LIBRARY  
HARVARD UNIVERSITY  
CAMBRIDGE, MA USA

## Table 1

Summary of the results of the regression analysis for the dependent variable "Number of children" (N = 1,000)

Variable	Mean	Standard Deviation	Regression Coefficient	Standard Error	t-value	Significance Level
Age	25.5	3.2	0.15	0.02	7.5	< 0.001
Gender	0.5	0.5	-0.10	0.03	-3.0	< 0.01
Marital Status	0.2	0.4	0.20	0.04	5.0	< 0.001
Education	12.5	1.5	-0.05	0.01	-5.0	< 0.001
Income	15.0	5.0	0.02	0.01	2.0	< 0.05
Religion	0.5	0.5	0.01	0.02	0.5	> 0.05
Region	0.5	0.5	0.05	0.03	1.5	> 0.05
Constant			1.50	0.10	15.0	< 0.001

## PLANCHE 134.

### GALLINACÉS.

#### FOSSILES.

##### **Ostéologie du Lagopède** (*Tetrao lagopus*, Linn.), provenant des cavernes à ossements du midi de la France.

- FIG. 1. — Tarso-métatarsien vu par sa face antérieure, de grandeur naturelle.  
FIG. 2. — Face postérieure du même os.  
FIG. 3. — Face interne du même.  
FIG. 4. — Extrémité articulaire supérieure, vue en dessus et grossie.  
FIG. 5. — Extrémité articulaire inférieure, vue en dessous et grossie.  
FIG. 6. — Tibia vu par sa face antérieure.  
FIG. 7. — Face postérieure du même os.  
FIG. 8. — Face interne du même.  
FIG. 9. — Extrémité articulaire inférieure, vue en dessous et grossie.  
FIG. 10. — Humérus vu en avant.  
FIG. 11. — Face postérieure du même os.  
FIG. 12. — Humérus provenant probablement du **Tétras d'Écosse** (*Tetrao scoticus*, Latham.), vu par sa face antérieure et de grandeur naturelle.

##### **Ostéologie du grand Coq de bruyère** (*Tetrao urogallus*, Linn.), provenant des cavernes à ossements du midi de la France.

- FIG. 13. — Tarso-métatarsien vu par sa face antérieure, de grandeur naturelle.  
FIG. 14. — Face postérieure du même os.  
FIG. 15. — Extrémité articulaire supérieure vue en dessus.  
FIG. 16. — Extrémité articulaire inférieure vue en dessous.  
FIG. 17. — Tibia vu en avant, de grandeur naturelle.  
FIG. 18. — Face interne du même os.

##### **Ostéologie du Coq** provenant de la caverne de L'Herm.

- FIG. 19. — Tarso-métatarsien vu par sa face antérieure.  
FIG. 20. — Face postérieure du même os.  
FIG. 21. — Extrémité articulaire supérieure vue en dessus.

##### **Ostéologie de la Perdrix grise** (*Perdix grisea*, Linn.), provenant des cavernes à ossements de Lourdes (Hautes-Pyrénées).

- FIG. 22. — Tarso-métatarsien vu en avant, de grandeur naturelle.  
FIG. 23. — Face postérieure du même os.  
FIG. 24. — Extrémité articulaire supérieure, vue en dessus et grossie.

##### **Ostéologie de la Caille** (*Coturnix communis*, Bonat.), provenant des brèches à ossements de Montmorency (Seine-et-Oise).

- FIG. 25. — Coracoïdien vu par sa face antérieure.  
FIG. 26. — Face postérieure du même os.



MOX LIBRARY  
HARVARD UNIVERSITY  
CAMBRIDGE, MA USA





PLANCHE 135.

COLIMBIDES.

**Squelette d'une Colombe carpophage** (*Carpophaga ænea*, Linn.), individu mâle  
provenant de Cochinchine.

(Très-peu réduit.)



MOZ LIBRARY  
HARVARD UNIVERSITY  
CAMBRIDGE, MA USA





PLANCHE 136.

COLOMBIDES.

**Squelette du *Pterocles arenarius* (Pallas) d'Algérie**, individu mâle,  
de grandeur naturelle.



MCZ LIBRARY  
HARVARD UNIVERSITY  
CAMBRIDGE, MA USA

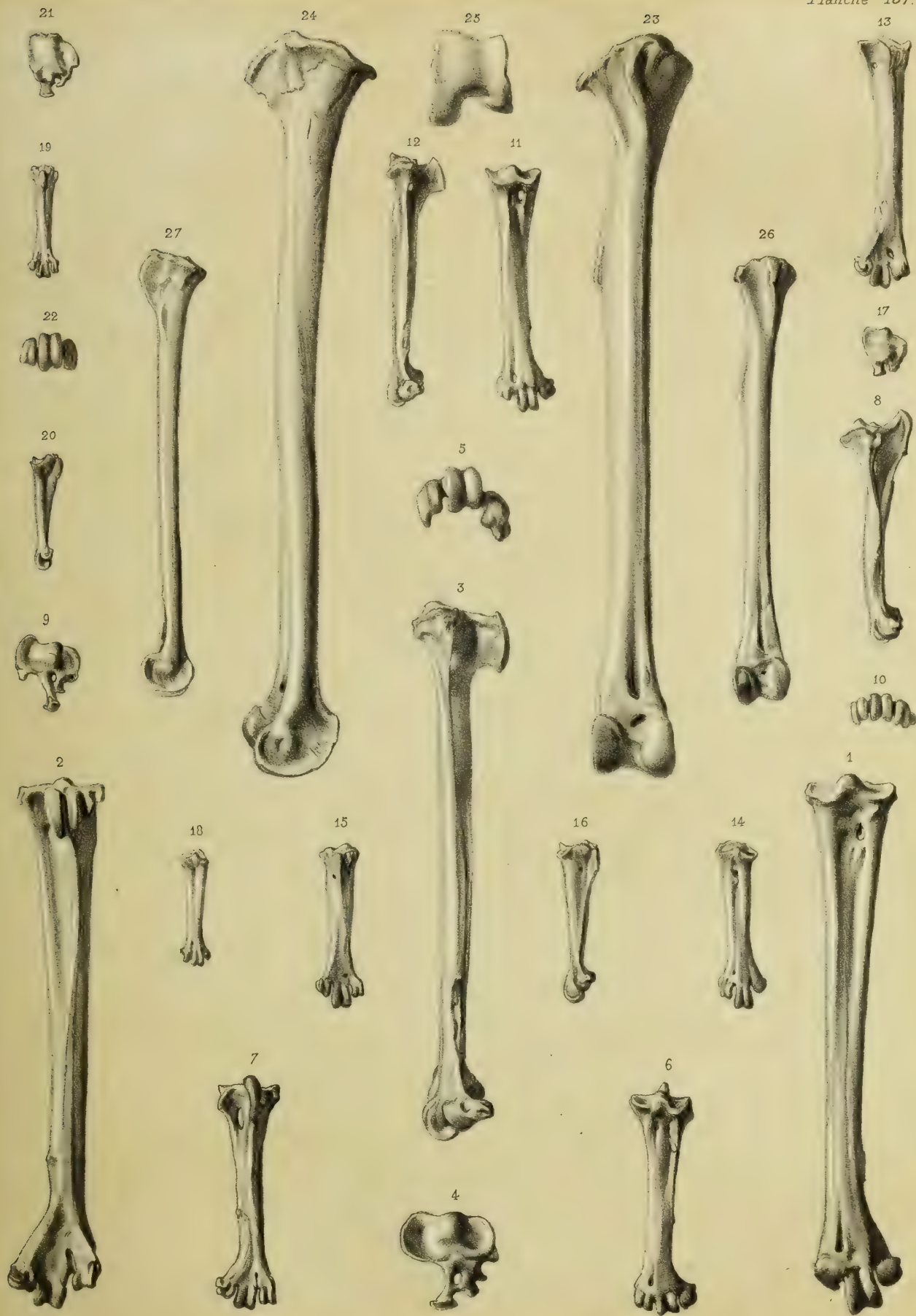


## PLANCHE 137.

### COLOMBIDES.

- FIG. 1. — Tarso-métatarsien d'un **Goura couronné** (*Goura coronata*, Lin.), mâle, vu par sa face antérieure, de grandeur naturelle.
- FIG. 2. — Face postérieure du même os.
- FIG. 3. — Face interne du même.
- FIG. 4. — Extrémité articulaire supérieure vue en dessus.
- FIG. 5. — Extrémité articulaire inférieure vue en dessous.
- FIG. 6. — Tarso-métatarsien du **Serresius galeatus** (Bonaparte), vu par sa face antérieure.
- FIG. 7. — Face postérieure du même os.
- FIG. 8. — Face interne du même.
- FIG. 9. — Extrémité articulaire supérieure vue en dessus.
- FIG. 10. — Extrémité articulaire inférieure vue en dessous.
- FIG. 11. — Tarso-métatarsien du **Pigeon nicobar** (*Columba (calenas) nicobàrica*, Lin.) vu par sa face antérieure.
- FIG. 12. — Face interne du même os.
- FIG. 13. — Face postérieure du même.
- FIG. 14. — Tarso-métatarsien du **Pterocles bicinctus** (Temm.), vu par sa face antérieure.
- FIG. 15. — Face postérieure du même os.
- FIG. 16. — Face interne du même.
- FIG. 17. — Extrémité articulaire supérieure vue en dessus.
- FIG. 18. — Tarso-métatarsien du **Syrrhaptès paradoxal** (*Syrrhaptès paradoxus*, Illig.), vu par sa face antérieure.
- FIG. 19. — Face postérieure du même os.
- FIG. 20. — Face interne du même.
- FIG. 21. — Extrémité articulaire supérieure, vue en dessus et un peu grossie.
- FIG. 22. — Extrémité articulaire inférieure, vue en dessous et un peu grossie.
- FIG. 23. — Tibia du **Goura couronné**, vu par sa face antérieure.
- FIG. 24. — Face interne du même os.
- FIG. 25. — Extrémité articulaire supérieure vue en dessus.
- FIG. 26. — Tibia du **Serresius galeatus**, vu par sa face antérieure.
- FIG. 27. — Face interne du même os.





MCZ LIBRARY  
HARVARD UNIVERSITY  
CAMBRIDGE, MA USA

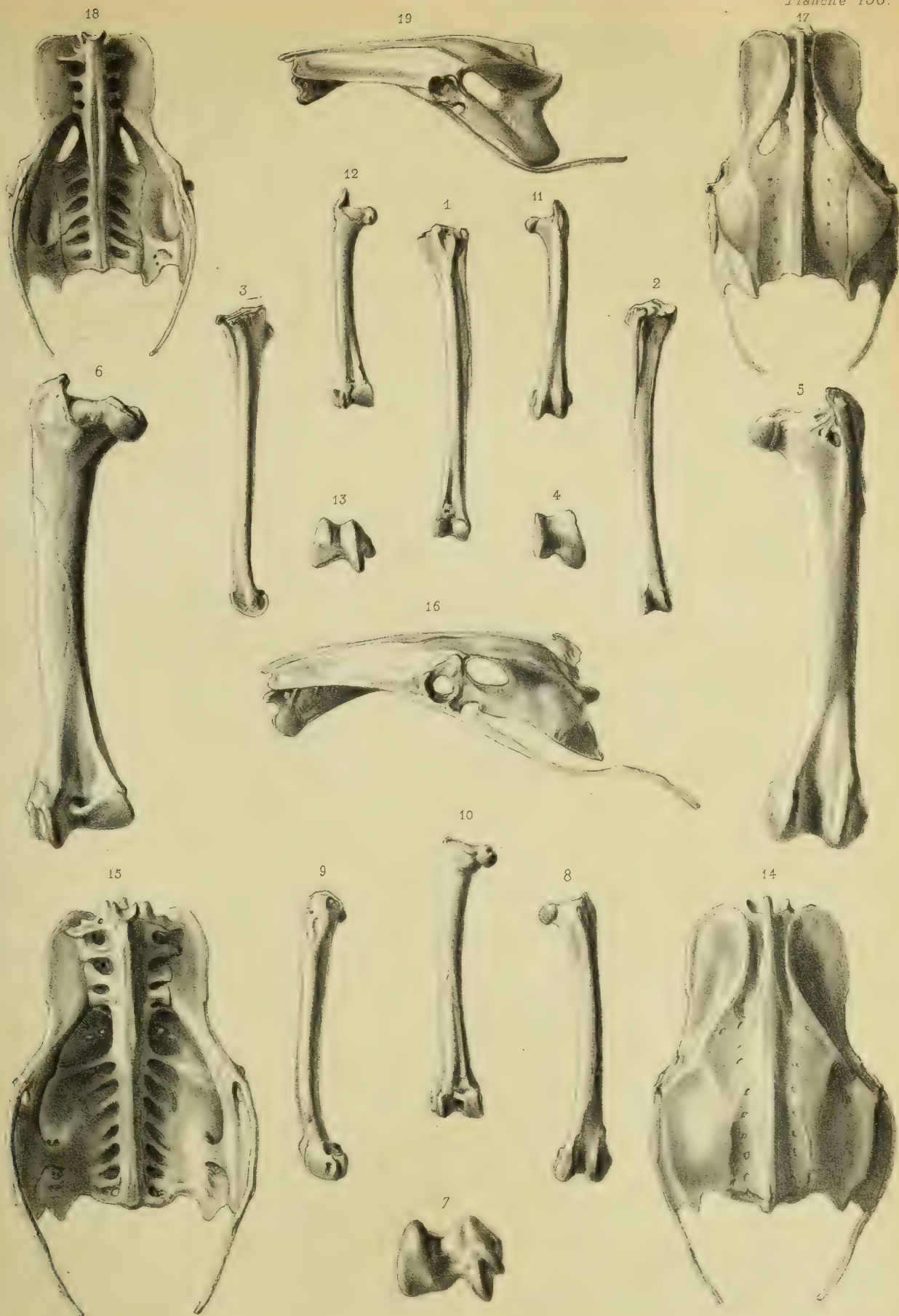


## PLANCHE 138.

### COLOMBIDES.

- FIG. 1. — Tibia et péroné du **Pterocles bicinctus** (Temm.), vus par leur face antérieure de grandeur naturelle, ainsi que les figures suivantes.
- FIG. 2. — Les mêmes os, vus par leur face postérieure.
- FIG. 3. — Face interne du tibia.
- FIG. 4. — Extrémité articulaire inférieure, vue en dessous et un peu grossie.
- FIG. 5. — Fémur du **Goura couronné** (*Goura coronata*, Lin.), vu par sa face antérieure.
- FIG. 6. — Face postérieure du même os.
- FIG. 7. — Extrémité articulaire inférieure vue en dessous.
- FIG. 8. — Fémur de la **Carpophaga ænea** (Lin.), vu par sa face antérieure.
- FIG. 9. — Face externe du même os.
- FIG. 10. — Face postérieure du même os.
- FIG. 11. — Fémur du **Syrrhaptès paradoxus** (Illig.), vu par sa face antérieure.
- FIG. 12. — Face postérieure du même os.
- FIG. 13. — Extrémité articulaire inférieure, vue en dessous et un peu grossie.
- FIG. 14. — Bassin de la **Carpophaga ænea** (Linn.), vu par sa face supérieure.
- FIG. 15. — Face inférieure du même.
- FIG. 16. — Le même, vu de côté.
- FIG. 17. — Bassin du **Syrrhaptès paradoxus** (Illig.), vu par sa face supérieure.
- FIG. 18. — Face inférieure du même os.
- FIG. 19. — Le même, vu de côté.







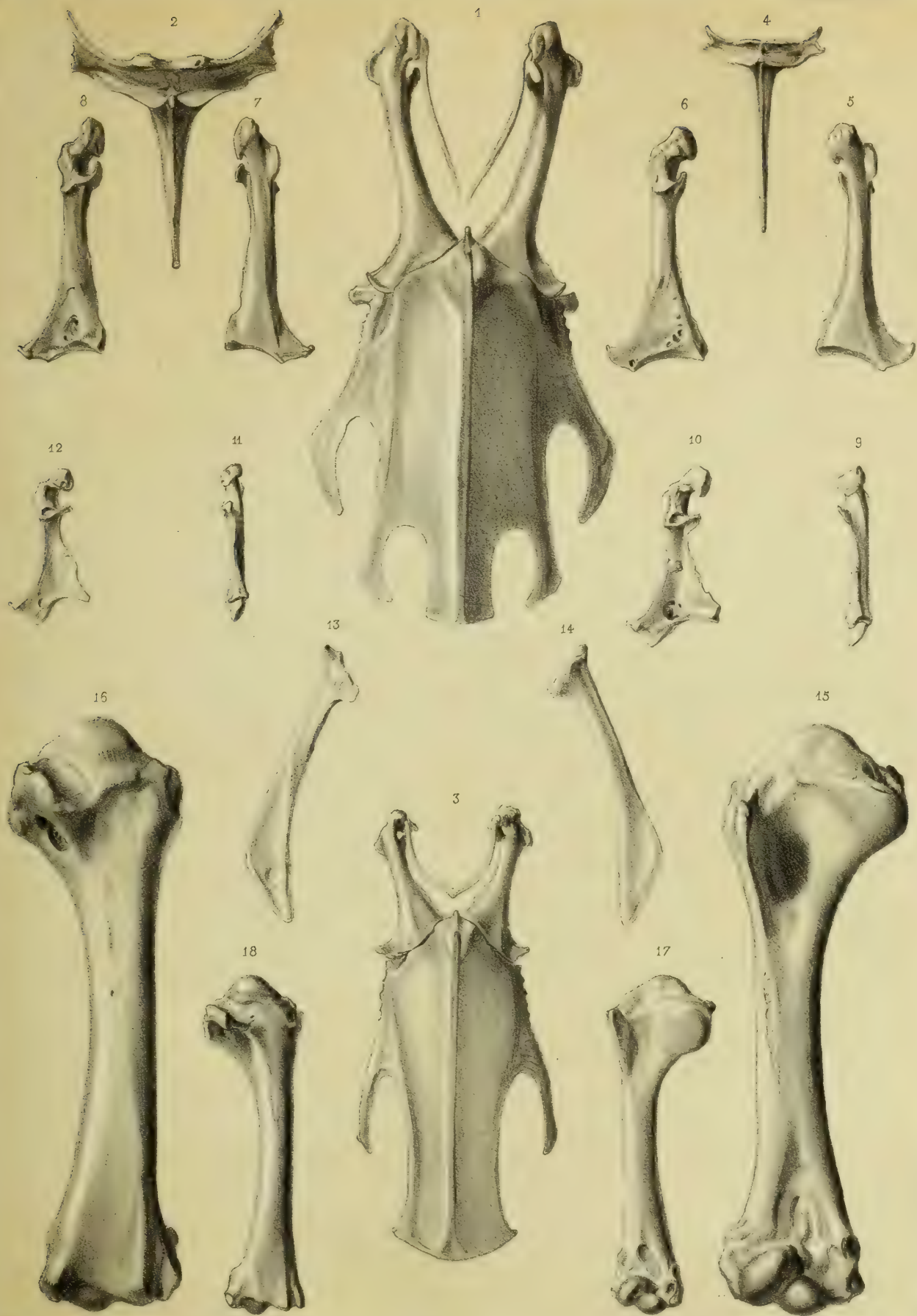
MCE LIBRARY  
HARVARD UNIVERSITY  
CAMBRIDGE MA USA



## PLANCHE 139.

### COLOMBIDES.

- FIG. 1. — Sternum, coracoïdien et os furculaire du **Phœnorhina Goliath** (G. R. Gray), vus par leur face inférieure, de grandeur naturelle, ainsi que les figures suivantes.
- FIG. 2. — Portion articulaire du sternum.
- FIG. 3. — Sternum, coracoïdien et os furculaire du **Syrhaptès paradoxus** (Illig.), vus par leur face inférieure.
- FIG. 4. — Portion articulaire du sternum.
- FIG. 5. — Coracoïdien de la **Carpophaga ænea** (Linn.), vu par sa face inférieure.
- FIG. 6. — Face supérieure du même os.
- FIG. 7. — Coracoïdien du **Calenas nicobarica** (Linn.), vu par sa face inférieure.
- FIG. 8. — Face supérieure du même os.
- FIG. 9. — Coracoïdien du **Pterocles arenarius** (Pallas), vu par sa face inférieure.
- FIG. 10. — Face interne du même os.
- FIG. 11. — Coracoïdien du **Syrhaptès paradoxus**, vu par sa face inférieure.
- FIG. 12. — Face interne du même os.
- FIG. 13. — Omoplate de la **Carpophaga ænea**, vue en dessus.
- FIG. 14. — Face inférieure du même os.
- FIG. 15. — Humérus du **Goura couronné** (*Goura coronata*, Linn.), vu par sa face antérieure.
- FIG. 16. — Face postérieure du même os.
- FIG. 17. — Humérus de la **Carpophaga ænea**, vu par sa face antérieure.
- FIG. 18. — Face postérieure du même os.







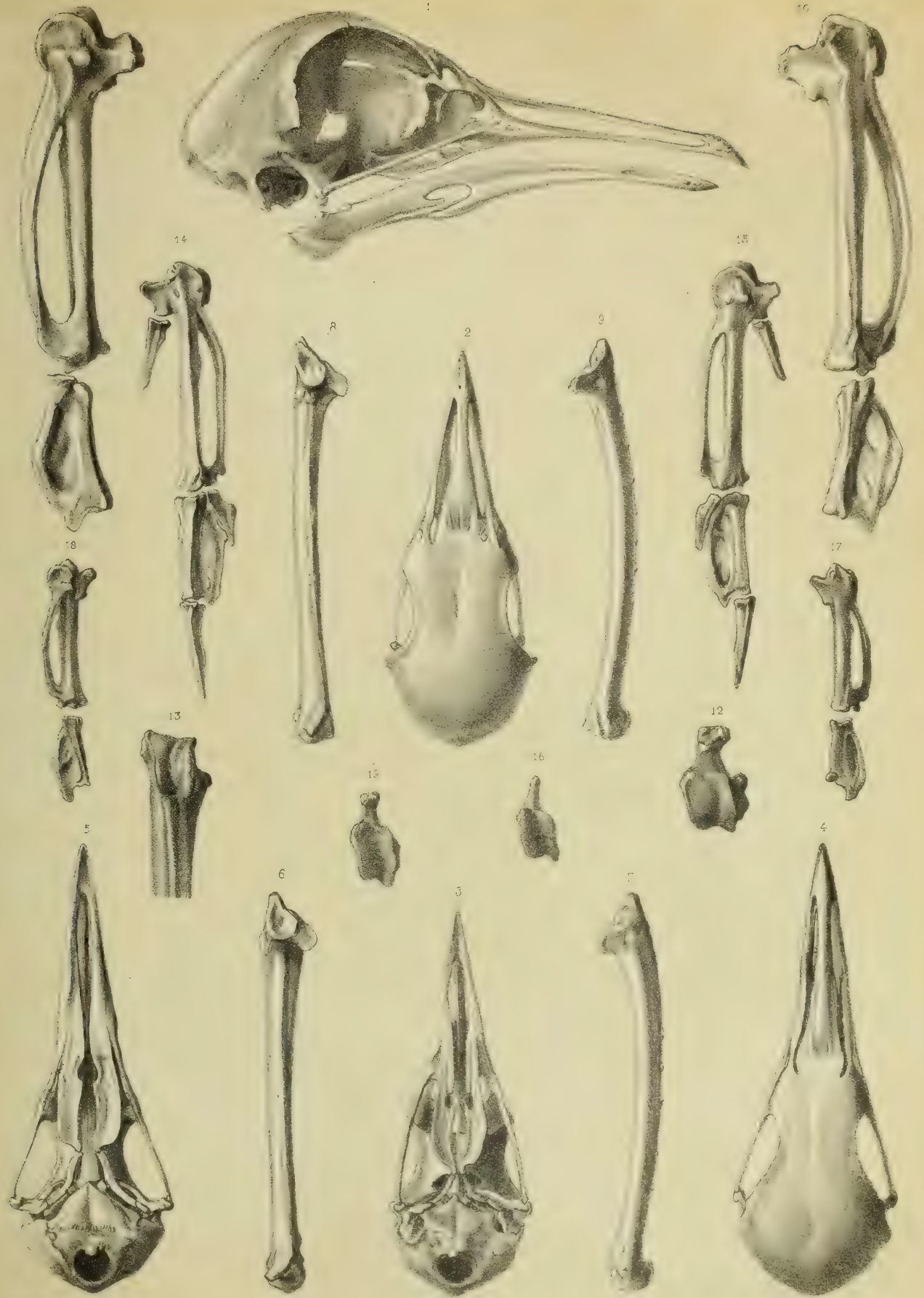


## PLANCHE 140.

### COLOMBIDES.

- FIG. 1. — Tête osseuse du **Goura couronné** (*Goura coronata*, Linn.), vue de côté, de grandeur naturelle, ainsi que les figures suivantes.
- FIG. 2. — Tête osseuse d'un **Carpophage** (*Carpophaga ænea*, Linn.), vue en dessus.
- FIG. 3. — Face inférieure de la même.
- FIG. 4. — Tête osseuse du **Serresius galeatus** (Bonap.), vu par sa face supérieure.
- FIG. 5. — Face inférieure de la même.
- FIG. 6. — Cubitus de la **Carpophaga ænea**, vu par sa face antérieure.
- FIG. 7. — Face externe du même os.
- FIG. 8. — Cubitus du **Pigeon nicobar** (*Calœnas nicobarica*, Linn.), vu par sa face antérieure.
- FIG. 9. — Face externe du même os.
- FIG. 10. — Métacarpien et première phalange de l'aile du **Goura**, vus par leur face externe.
- FIG. 11. — Les mêmes, vus par leur face interne.
- FIG. 12. — Portion articulaire carpienne vue en dessus.
- FIG. 13. — La même, vue en arrière.
- FIG. 14. — Portion terminale de l'aile du **Pigeon nicobar**, vue par sa face externe.
- FIG. 15. — Face interne du même os.
- FIG. 16. — Extrémité articulaire supérieure du métacarpe vue en dessus.
- FIG. 17. — Métacarpe et première phalange de l'aile du **Syrhaptès paradoxus** (Illig.), vus par leur face externe.
- FIG. 18. — Face interne des mêmes os.
- FIG. 19. — Extrémité articulaire supérieure du métacarpe vue en dessus et grossie.

Ces pièces proviennent de ma collection.



MCZ LIBRARY  
HARVARD UNIVERSITY  
CAMBRIDGE, MA USA





## PLANCHE 141.

### COLOMBIDES.

#### FOSSILES.

**Ostéologie d'un Ganga** (*Pterocles sepultus*, nov. sp.), provenant du terrain miocène du département de l'Allier.

- FIG. 1. — Tarso-métatarsien vu par sa face antérieure, de grandeur naturelle.
- FIG. 2. — Le même grossi.
- FIG. 3. — Face postérieure du même os, de grandeur naturelle.
- FIG. 4. — Le même, grossi.
- FIG. 5. — Face interne du même os, de grandeur naturelle.
- FIG. 6. — Le même grossi.
- FIG. 7. — Face externe du même os.
- FIG. 8. — Extrémité articulaire supérieure, vue en dessus et grossie.
- FIG. 9. — Extrémité articulaire inférieure, vue en dessous et grossie.

**Ostéologie de la Columba calcaria** (nov. sp.), Colombe provenant du terrain miocène du département de l'Allier.

- FIG. 10. — Humérus vu par sa face antérieure, de grandeur naturelle.
- FIG. 11. — Le même, grossi.
- FIG. 12. — Face postérieure du même os, de grandeur naturelle.
- FIG. 13. — Le même, grossi.
- FIG. 14. — Le même os, grossi et vu par sa face externe.
- FIG. 14<sup>b</sup>. — Extrémité articulaire inférieure vue en dessous.

**Ostéologie du Pigeon ramier** (*Columba palumbus*, Linn.), dont les débris ont été trouvés dans les tourbières d'Essonne.

- FIG. 15. — Tarso-métatarsien vu par sa face antérieure, de grandeur naturelle.
- FIG. 16. — Face postérieure du même os.
- FIG. 17. — Face interne du même.
- FIG. 18. — Extrémité articulaire supérieure, vue en dessus et grossie.
- FIG. 19. — Extrémité articulaire inférieure, vue en dessous et grossie.
- FIG. 20. — Tibia vu par sa face antérieure.
- FIG. 21. — Face postérieure du même os.
- FIG. 22. — Face externe du même.
- FIG. 23. — Extrémité articulaire supérieure, vue en dessus et grossie.
- FIG. 24. — Extrémité articulaire inférieure, vue en dessous et grossie.







PLANCHE 142.

FRINGILLIDES.

(*Corvides.*)

**Squelette du Corbeau nasique** (*Corvus Jamaicensis*, Gmel.; *Corvus nasicus*, Temm.),  
individu mâle, provenant de Cuba, de grandeur naturelle.







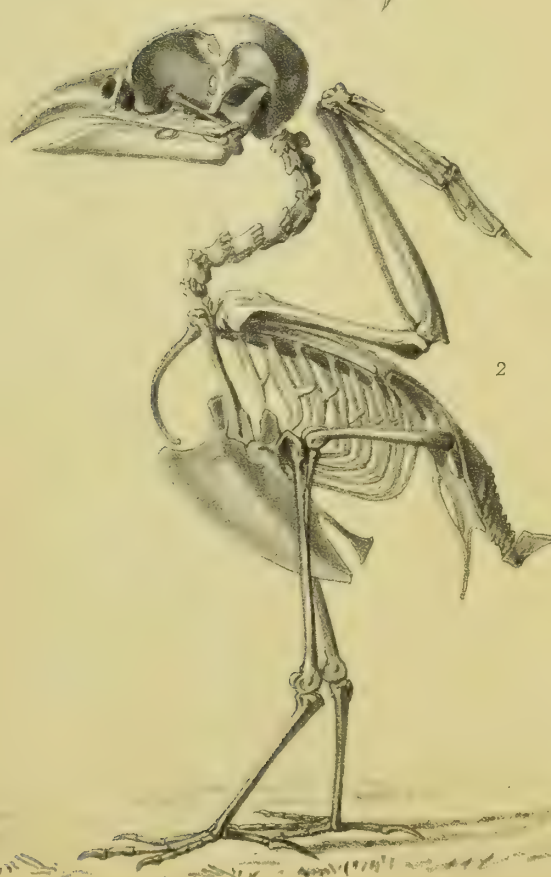


PLANCHE 143.

PASSEREAUX.

FIG. 1. — Squelette du **Dendroornis eburnirostris** (Lesson), individu mâle de Guatemala, de grandeur naturelle.

FIG. 2. — Squelette de **Ramphocoris Clot-Bey** (Temminck), individu mâle, d'Algérie, de grandeur naturelle.





MOZ LIBRARY  
HARVARD UNIVERSITY  
CAMBRIDGE, MA USA

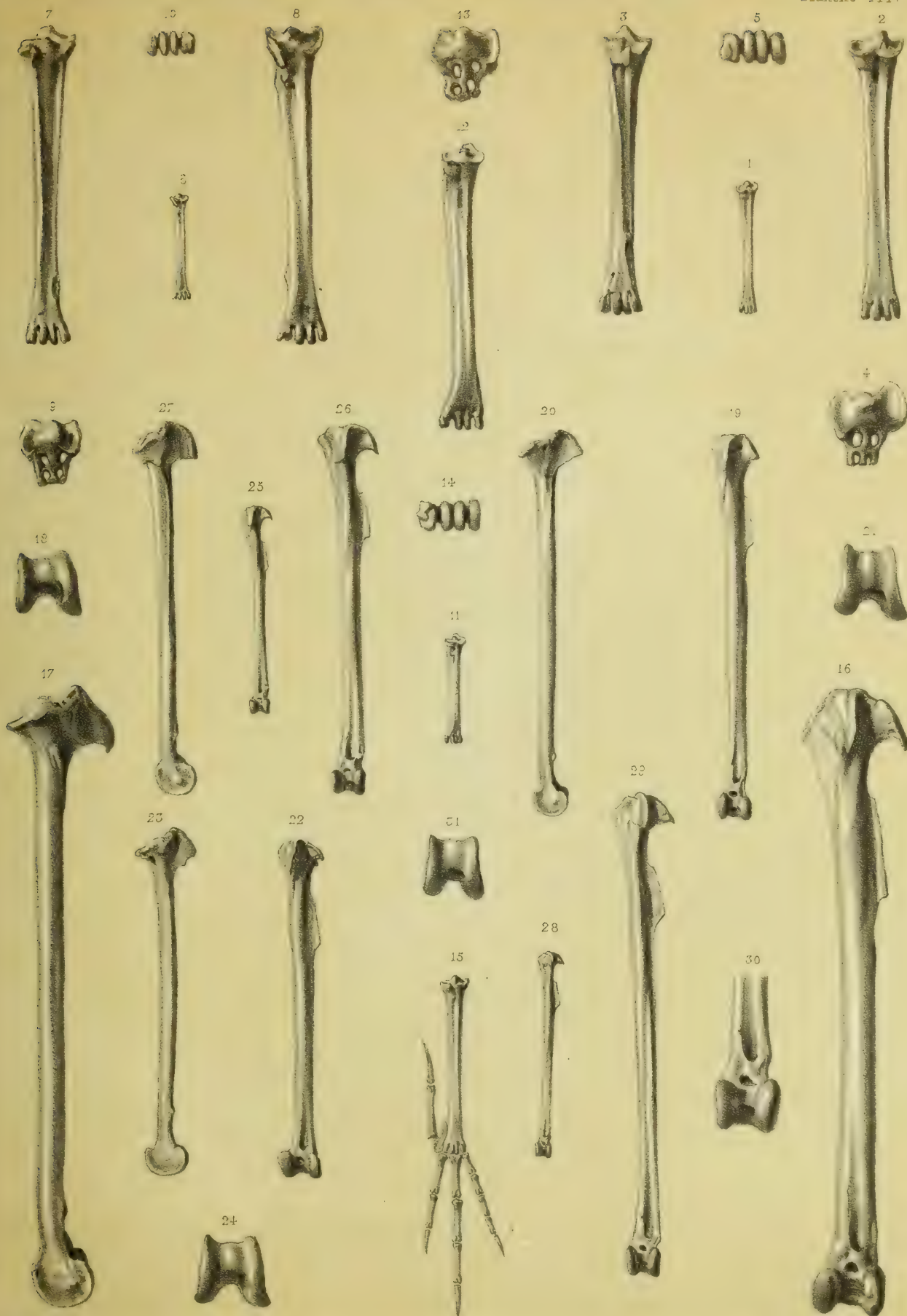


## PLANCHE 144.

### PASSEREAUX.

(*Edornines.*)

- FIG. 1. — Tarso-métatarsien du **Lanius rufus** (Linn.), de grandeur naturelle.
- FIG. 2 et 3. — Le même os grossi et vu par ses faces antérieure et postérieure.
- FIG. 4 et 5. — Extrémités articulaires supérieure et inférieure.
- FIG. 6. — Tarso-métatarsien du **Picolaptes tenuirostris** (Licht.), de grandeur naturelle.
- FIG. 7 et 8. — Le même os grossi et montrant ses faces antérieure et postérieure.
- FIG. 9 et 10. — Extrémités articulaires supérieure et inférieure.
- FIG. 11. — Tarso-métatarsien du **Xiphorhynchus procurvus** (Temm.), de grandeur naturelle.
- FIG. 12. — Le même os, grossi.
- FIG. 13 et 14. — Extrémités articulaires supérieure et inférieure, grossies.
- FIG. 15. — Pied du **Turdus viscivorus** (Linn.), de grandeur naturelle.
- FIG. 16 et 17. — Tibia du **Corvus corax** (Linn.), montrant ses faces antérieure et interne, de grandeur naturelle.
- FIG. 18. — Extrémité articulaire vue en dessous.
- FIG. 19 et 20. — Tibia du **Pyrhacorax alpinus** (Linn.), montrant ses faces antérieure et interne, de grandeur naturelle.
- FIG. 21. — Extrémité articulaire inférieure, vue en dessous et grossie.
- FIG. 22 et 23. — Tibia de **Rupicola peruviana** (Latham), montrant ses faces antérieure et interne, de grandeur naturelle.
- FIG. 24. — Extrémité articulaire inférieure, vue en dessous et grossie.
- FIG. 25. — Tibia de **Loxia coccythraustes** (Linn.), de grandeur naturelle.
- FIG. 26 et 27. — Le même os, grossi et vu sur ses faces antérieure et interne.
- FIG. 28. — Tibia de **Sylvia luscinia** (Linn.), de grandeur naturelle et vu sur sa face antérieure.
- FIG. 29. — Le même os, grossi.
- FIG. 30. — Extrémité inférieure du même os, très-grossie.



MCZ LIBRARY  
HARVARD UNIVERSITY  
CAMBRIDGE, MA USA



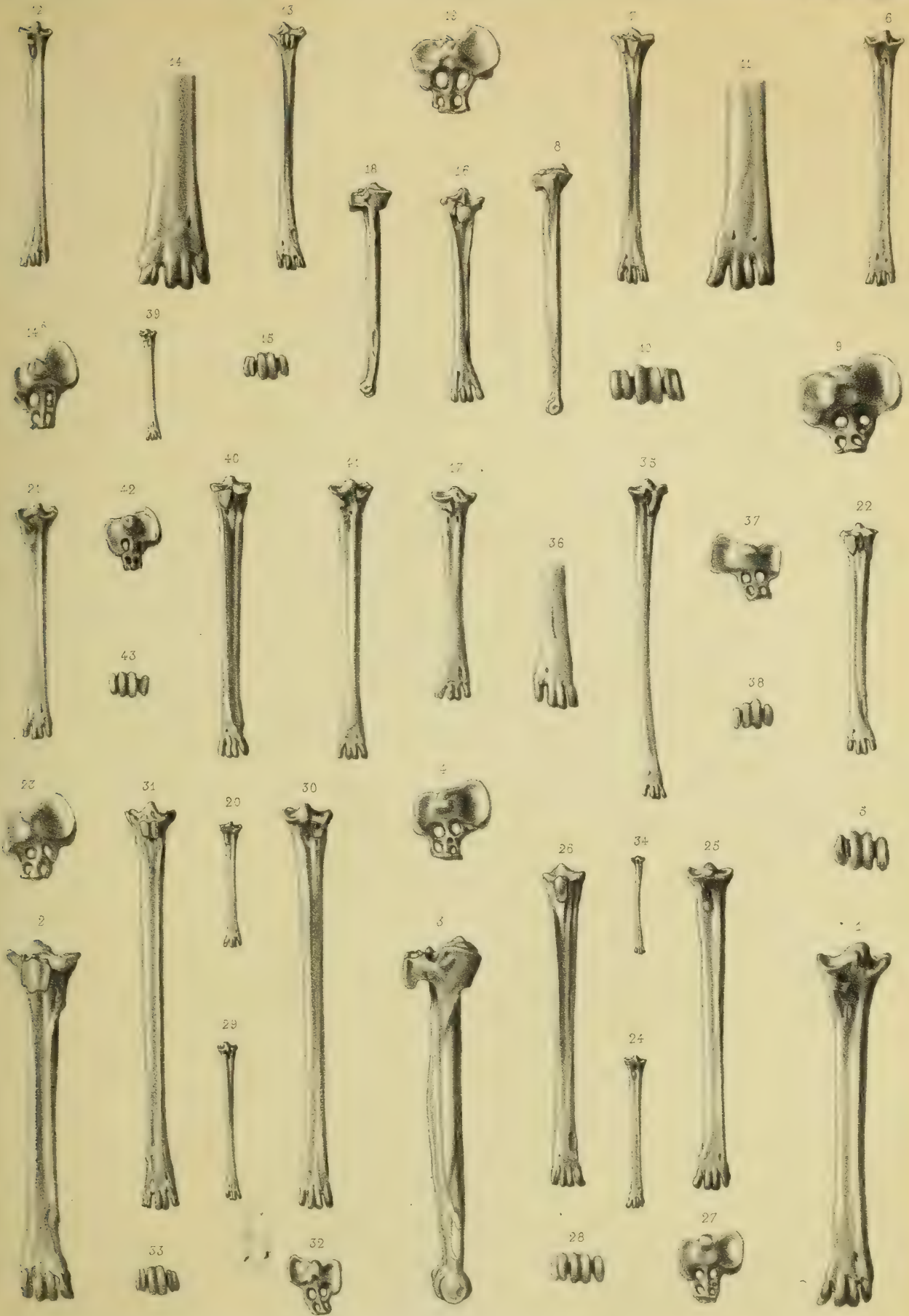


## PLANCHE 145.

### PASSEREAUX

(*Ædornines.*)

- FIG. 1, 2 et 3. — Tarso-métatarsien de **Corvus corax** (Linn.), vu par ses faces antérieure, postérieure et interne, de grandeur naturelle.
- FIG. 4 et 5. — Extrémités articulaires supérieure et inférieure du même os.
- FIG. 6, 7 et 8. — Tarso-métatarsien de **Pyrhocorax alpinus** (Linn.), vu par ses faces antérieure, postérieure et interne, de grandeur naturelle.
- FIG. 9 et 10. — Extrémités articulaires supérieure et inférieure du même os, grossies.
- FIG. 11. — Portion inférieure du même os, grossie et vue en avant.
- FIG. 12 et 13. — Tarso-métatarsien du **Turdus gigas** (Fraser), vu par ses faces antérieure et postérieure, de grandeur naturelle.
- FIG. 14. — Portion inférieure du même os, grossie, vue en avant.
- FIG. 14<sup>e</sup> et 15. — Extrémités articulaires supérieure et inférieure, grossies.
- FIG. 16, 17 et 18. — Tarso-métatarsien du **Rupicola peruviana** (Latham), vu par ses faces postérieure, antérieure et interne, de grandeur naturelle.
- FIG. 19. — Extrémité articulaire supérieure du même os, grossie.
- FIG. 20. — Tarso-métatarsien de **Loxia coccythraustes** (Linn.), de grandeur naturelle.
- FIG. 21 et 22. — Le même os, grossi, montrant ses faces antérieure et postérieure.
- FIG. 23. — Extrémité articulaire supérieure, grossie et vue en dessus.
- FIG. 24. — Tarso-métatarsien de l'**Alauda cristata** (Linn.), de grandeur naturelle.
- FIG. 25 et 26. — Le même os, grossi, montrant ses faces antérieure et postérieure.
- FIG. 27 et 28. — Extrémités articulaires supérieure et inférieure, grossies.
- FIG. 29. — Tarso-métatarsien de **Sylvia luscinia** (Linn.), de grandeur naturelle.
- FIG. 30 et 31. — Le même os, grossi, vu par ses faces antérieure et postérieure.
- FIG. 32 et 33. — Extrémités articulaires supérieure et inférieure, grossies.
- FIG. 34. — Tarso-métatarsien de **Regulus cristatus** (Linn.), de grandeur naturelle.
- FIG. 35. — Le même os, grossi, vu par sa face antérieure.
- FIG. 36. — Portion inférieure du même, très-grossie et vue en avant.
- FIG. 37 et 38. — Extrémités articulaires supérieure et inférieure, grossies.
- FIG. 39. — Tarso-métatarsien du **Parus major** (Linn.), de grandeur naturelle.
- FIG. 40 et 41. — Le même os, grossi, montrant ses faces antérieure et postérieure.
- FIG. 42 et 43. — Extrémités articulaires supérieure et inférieure du même os.



MOY LIBRARY  
HARVARD UNIVERSITY  
CAMBRIDGE, MA USA



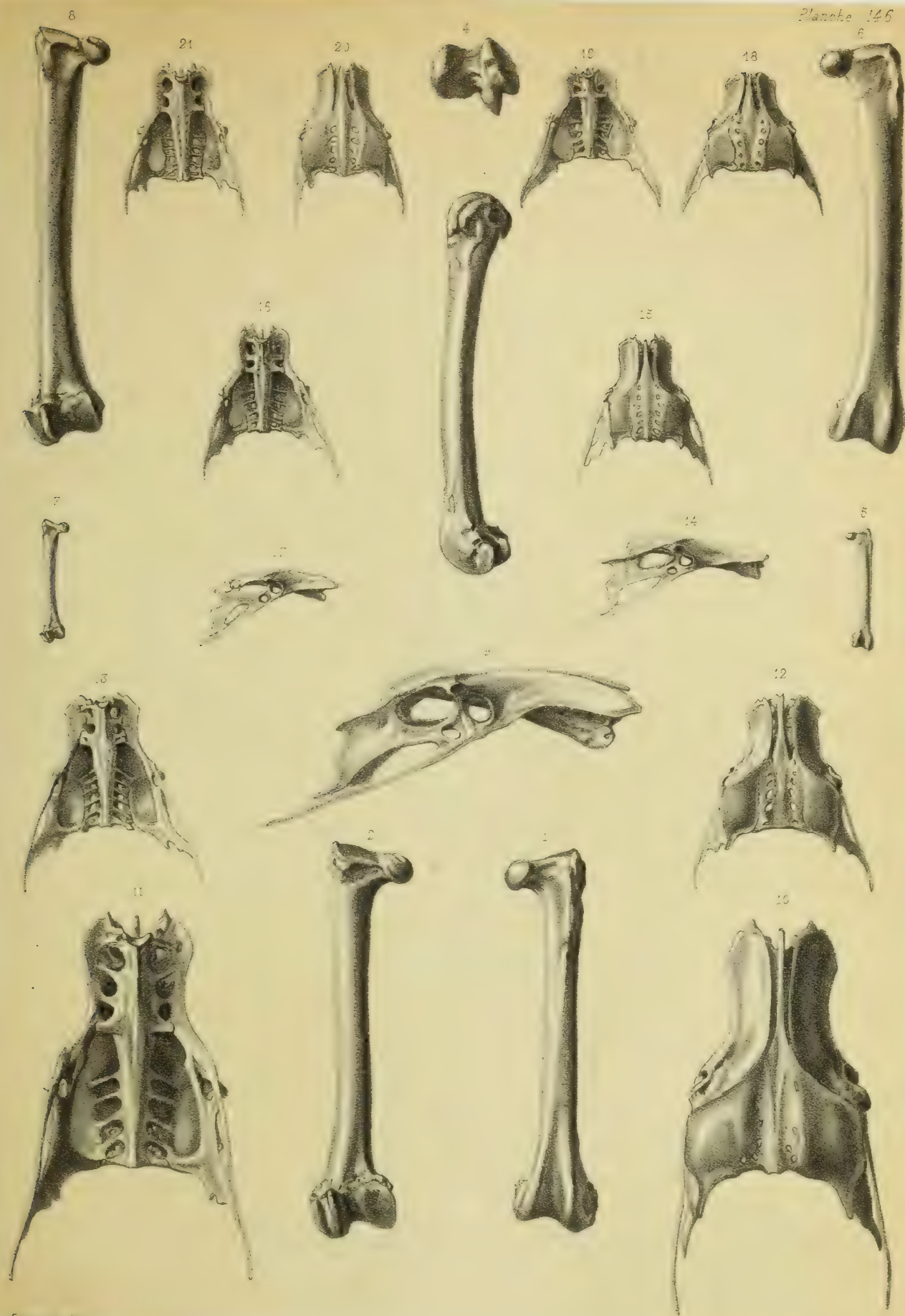


## PLANCHE 146.

### PASSEREAUX.

(*Edornines.*)

- FIG. 1, 2 et 3. — Fémur du **Corvus corax** (Linn.), vu par ses faces antérieure, postérieure et externe, de grandeur naturelle.
- FIG. 4. — Extrémité articulaire inférieure vue en dessous.
- FIG. 5. — Fémur de **Loxia coccythraustes** (Linn.), vu par sa face antérieure et de grandeur naturelle.
- FIG. 6. — Le même os, grossi.
- FIG. 7. — Le même os, vu par sa face postérieure, de grandeur naturelle.
- FIG. 8. — Le même, grossi.
- FIG. 9, 10 et 11. — Bassin du **Corvus corax**, vu en dehors, en dessus et en dessous, de grandeur naturelle.
- FIG. 12 et 13. — Bassin du **Turdus viscivorus** (Linn.), vu par ses face supérieure et inférieure.
- FIG. 14, 15 et 16. — Bassin de **Loxia coccythraustes**, vu par ses face externe, supérieure et inférieure, de grandeur naturelle.
- FIG. 17, 18 et 19. — Bassin de l'**Mirundo rupestris** (Scopoli), vu par ses faces externe, supérieure et inférieure, un peu grossi.
- FIG. 20 et 21. — Bassin de **Sylvia luscinia** (Linn.), montrant ses faces supérieure et inférieure, un peu grossi.



NOT LOANED  
HARVARD UNIVERSITY  
CAMBRIDGE MA USA



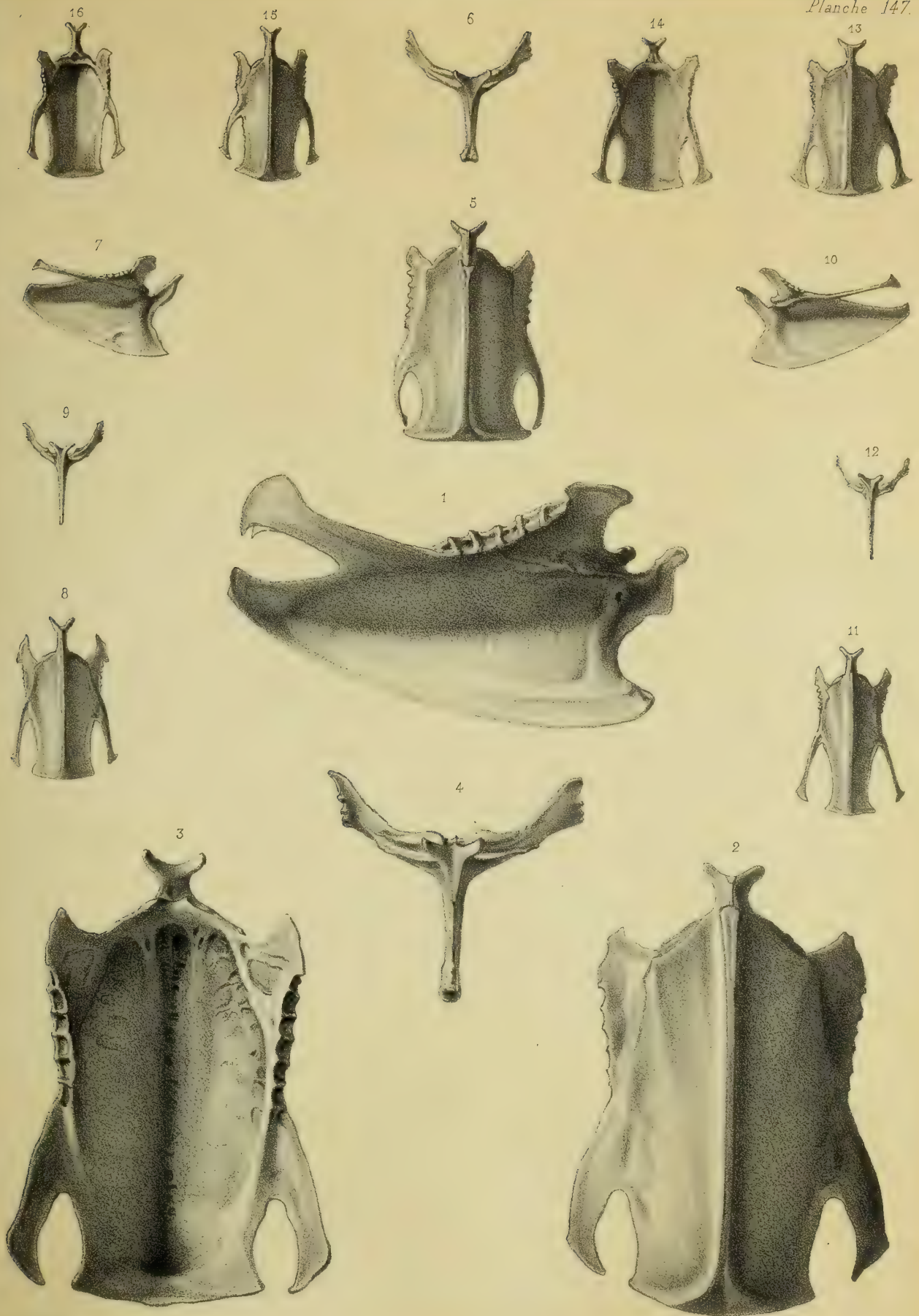
PLANCHE 147.

PASSEREAUX.

(*Ædornines.*)

- FIG. 1. — Sternum du **Corvus corax** (Linn.), vu en dehors, de grandeur naturelle, ainsi que les douze figures suivantes.
- FIG. 2. — Face inférieure du même os.
- FIG. 3. — Face supérieure du même.
- FIG. 4. — Portion articulaire montrant la disposition des rainures coracoïdiennes.
- FIG. 5. — Sternum du **Pyrhocorax alpinus** (Linn.), vu par sa face inférieure.
- FIG. 6. — Portion articulaire coracoïdienne du même os.
- FIG. 7. — Sternum de **Loxia coccythraustes** (Linn.), vu par sa face externe.
- FIG. 8. — Face inférieure du même os.
- FIG. 9. — Portion articulaire coracoïdienne.
- FIG. 10. — Sternum de l'**Alauda cristata** (Linn.), vu par sa face externe.
- FIG. 11. — Face inférieure du même os.
- FIG. 12. — Portion articulaire coracoïdienne.
- FIG. 13. — Sternum de l'**Hirundo rupestris** (Scopoli), vu par sa face inférieure et un peu grossi.
- FIG. 14. — Face inférieure du même os.
- FIG. 15. — Sternum de la **Motacilla flava** (Linn.), vu par sa face inférieure et un peu grossi.
- FIG. 16. — Face inférieure du même os.





1907 JANUARY  
HARVARD UNIVERSITY  
CAMBRIDGE, MA USA



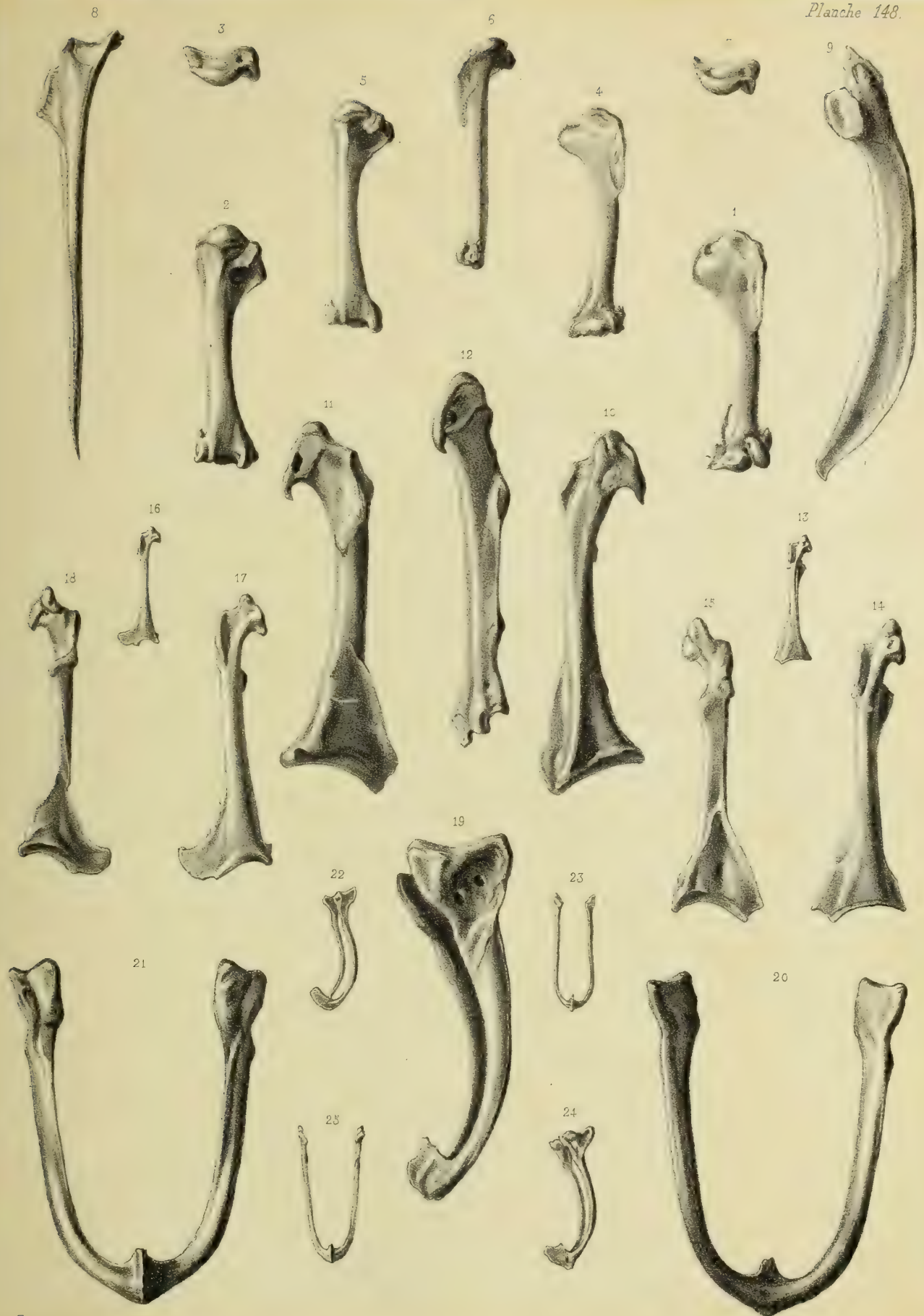
## PLANCHE 148.

### PASSEREAUX.

(*Edornines.*)

- FIG. 1 et 2. — Humérus du **Pyrhocorax alpinus** (Linn.), vu par ses faces antérieure et postérieure, de grandeur naturelle.
- FIG. 3. — Extrémité articulaire supérieure du même os vue en dessus.
- FIG. 4, 5 et 6. — Humérus du **Corvus glandarius** (Linn.), vu par ses faces antérieure, postérieure et externe, de grandeur naturelle.
- FIG. 7. — Extrémité articulaire supérieure du même os, vue en dessus.
- FIG. 8 et 9. — Omoplate du **Corvus carnivorus** (Bartram), vu par ses faces supérieure et interne, de grandeur naturelle.
- FIG. 10, 11 et 12. — Coracoïdien du même oiseau, vu par ses faces inférieure, supérieure et interne.
- FIG. 13, 14 et 15. — Coracoïdien du **Loxia coccothraustes** (Linn.), un peu grossi et montrant ses faces inférieure, supérieure et interne.
- FIG. 16, 17 et 18. — Coracoïdien de l'**Alauda cristata** (Linn.), un peu grossi et montrant ses faces inférieure, supérieure et interne.
- FIG. 19, 20 et 21. — Os furculaire du **Corvus carnivorus**, vu par ses faces externe, antérieure et postérieure (ou inférieure et supérieure), de grandeur naturelle.
- FIG. 22 et 23. — Os furculaire de **Loxia coccothraustes** (Linn.), vu par ses faces externe et inférieure (ou antérieure).
- FIG. 24 et 25. — Os furculaire de **Turdus viscivorus** (Linn.), vu par ses faces externe et inférieure.







MCZ LIBRARY  
HARVARD UNIVERSITY  
CAMBRIDGE, MA USA

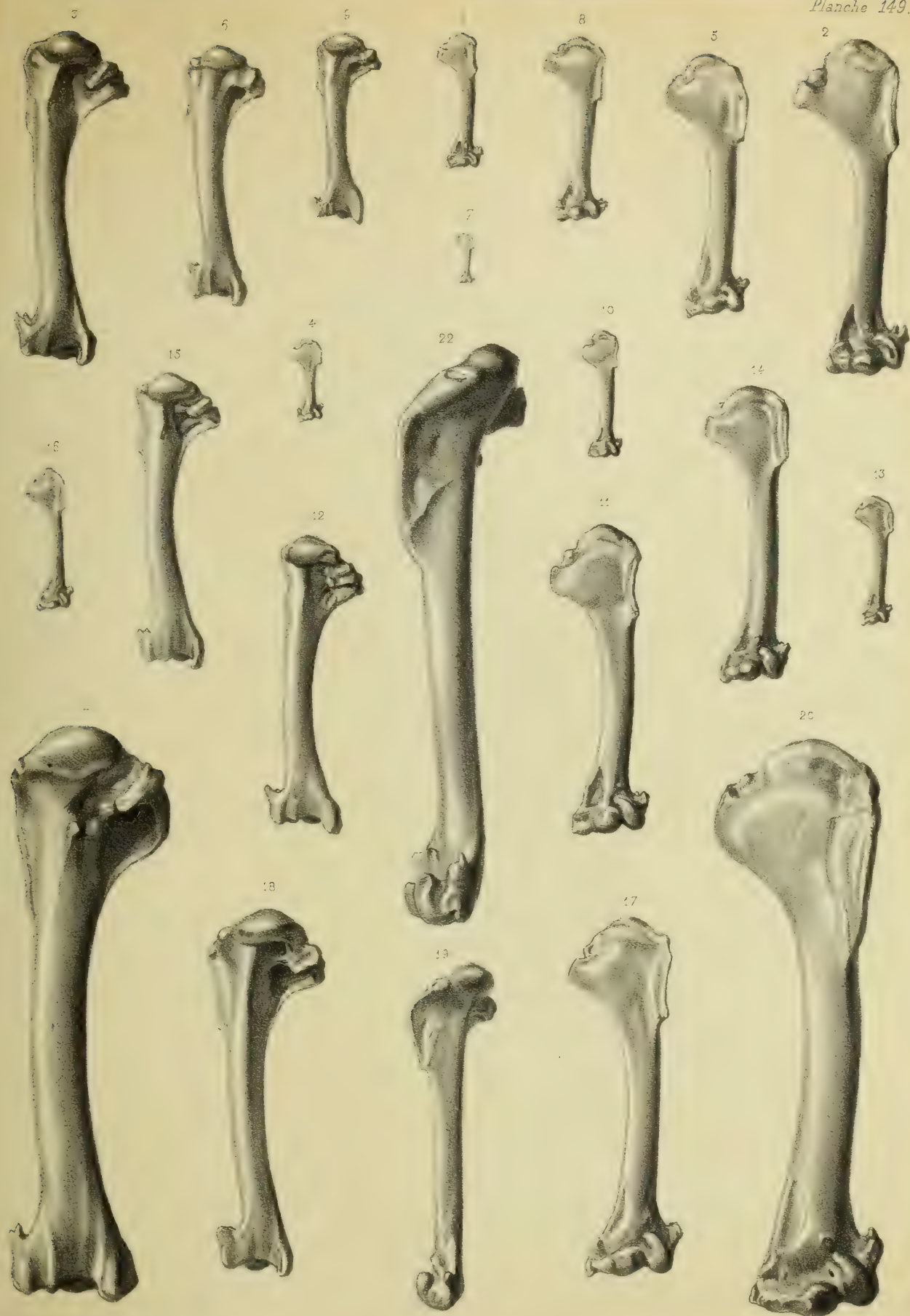


## PLANCHE 149.

### PASSEREAUX.

(*Ædornines.*)

- FIG. 1. — Humérus de **Loxia coccythraustes** (Linn.), de grandeur naturelle.
- FIG. 2 et 3. — Le même, grossi et montrant ses faces antérieure et postérieure.
- FIG. 4. — Humérus de l'**Hirundo urbica** (Linn.), de grandeur naturelle.
- FIG. 5 et 6. — Le même os, grossi et montrant ses faces antérieure et postérieure.
- FIG. 7. — Humérus du **Regulus cristatus** (Linn.), de grandeur naturelle.
- FIG. 8 et 9. — Le même, grossi (faces antérieure et postérieure).
- FIG. 10. — Humérus du **Cinclus aquaticus** (Becht.), **Sturnus cinclus** (Linn.), de grandeur naturelle.
- FIG. 11 et 12. — Le même os, grossi (faces antérieure et postérieure).
- FIG. 13. — Humérus de **Lanius rufus** (Linn.), de grandeur naturelle.
- FIG. 14 et 15. — Le même os, grossi.
- FIG. 16. — Humérus du **Turdus cyaneus** (Linn.), de grandeur naturelle.
- FIG. 17, 18 et 19. — Le même os, grossi, montrant ses faces antérieure, postérieure et externe.
- FIG. 20 et 21. — Humérus du **Corvus cornix** (Bartram), montrant ses faces antérieure et postérieure, de grandeur naturelle.



MCZ LIBRARY  
HARVARD UNIVERSITY  
CAMBRIDGE, MA USA



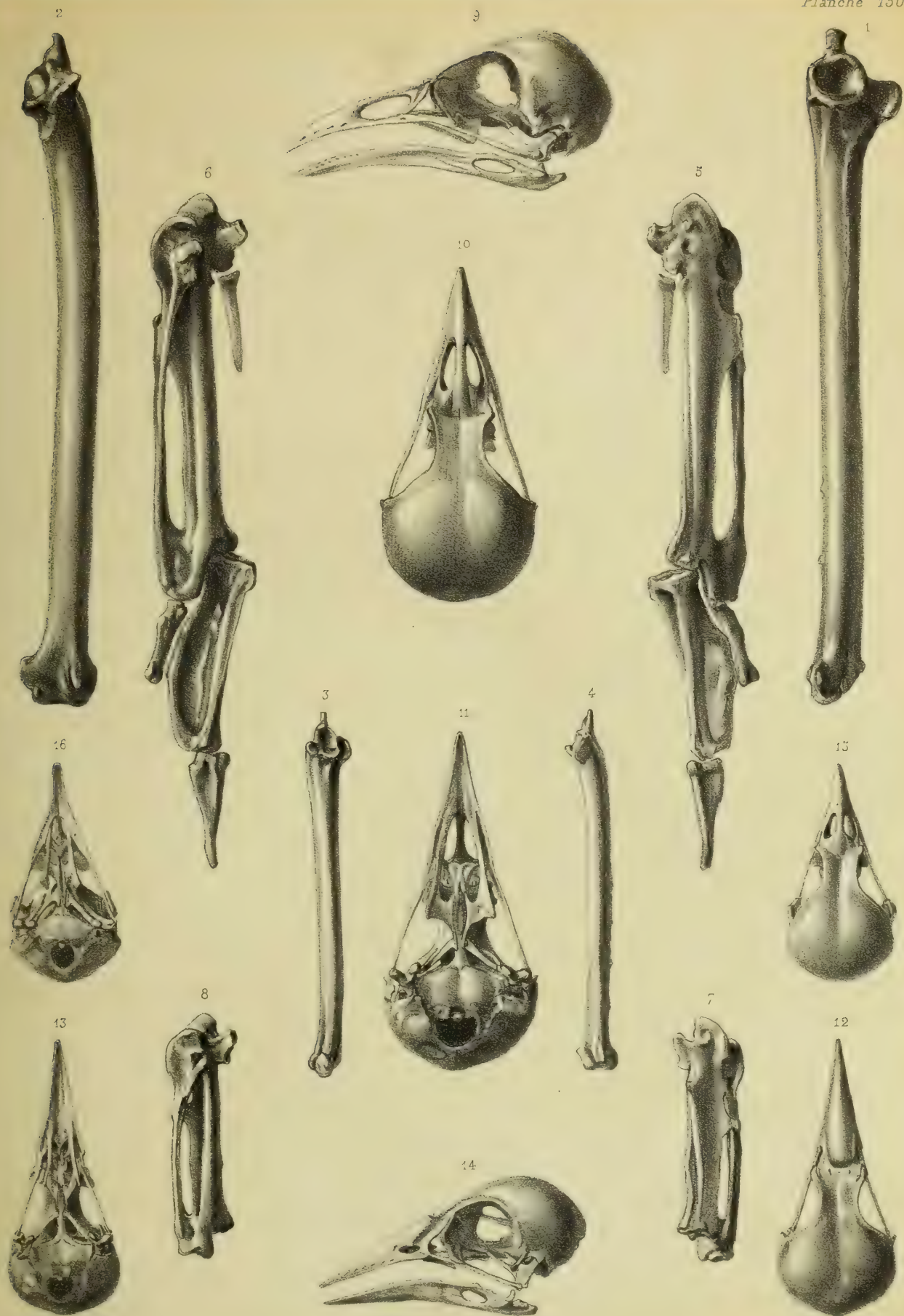


## PLANCHE 150.

### PASSEREAUX.

(*Edornines.*)

- FIG. 1. — Cubitus du **Corvus carnivorus** (Bartram), vu par sa face antérieure, de grandeur naturelle.
- FIG. 2. — Face interne du même os.
- FIG. 3. — Cubitus de **Loxia coccothraustes** (Linn.), vu par sa face antérieure (gros deux fois et demie).
- FIG. 4. — Face interne du même os.
- FIG. 5. — Portion terminale de l'aile du **Corvus carnivorus**, vue par sa face externe, de grandeur naturelle.
- FIG. 6. — Les mêmes os, vus par leur face interne.
- FIG. 7. — Métacarpe de **Loxia coccothraustes**, vu par sa face externe et gros deux fois et demie.
- FIG. 8. — Face interne du même os.
- FIG. 9. — Tête osseuse du **Pyrhocorax alpinus** (Linn.), vue de côté, de grandeur naturelle, de même que les figures suivantes.
- FIG. 10. — La même, vue en dessus.
- FIG. 11. — La même, vue en dessous.
- FIG. 12. — Tête osseuse du **Cassius persicus** (Linn.), vue en dessus.
- FIG. 13. — Face inférieure de la même.
- FIG. 14. — La même, vue de côté.
- FIG. 15. — Tête osseuse de l'**Alauda Calandra** (Linn.), montrant sa face supérieure.
- FIG. 16. — Face inférieure de la même.



UNIVERSITY  
HARVARD  
CAMBRIDGE, MASS.





PLANCHE 151.

FRINGILLIDES (*Corvides*).

FOSSILES.

**Squelette restauré du *Corvus Lartetii*** (A. Milne Edwards), oiseau fossile provenant du terrain miocène de Sansan (Gers).

Les parties ombrées sont les seules qui aient encore été trouvées; les parties au trait ne sont pas connues.



MOZ LIBRARY  
HARVARD UNIVERSITY  
CAMBRIDGE, MA USA



## PLANCHE 152.

### PASSEREAUX.

#### CORVIDES FOSSILES.

**Ostéologie du *Corvus Larteti*** (A. Milne Edwards), oiseau fossile provenant du terrain miocène de Sansan (Gers).

- FIG. 1. — Tarso-métatarsien vu par sa face antérieure, de grandeur naturelle.
- FIG. 2. — Face postérieure du même os.
- FIG. 3. — Face externe du même.
- FIG. 4, 5, 6 et 7. — Détails grossis du même os, représentés de grandeur naturelle sur les figures 4<sup>a</sup>, 5<sup>a</sup>, 6<sup>a</sup>.
- FIG. 8. — Extrémité articulaire supérieure, vue en dessus et grossie.
- FIG. 9. — Extrémité articulaire inférieure, vue en dessous et grossie.
- FIG. 10, 11 et 12. — Extrémité inférieure de tibia, vue sur ses diverses faces et grossie. Les figures 10<sup>a</sup>, 11<sup>a</sup> et 12<sup>a</sup> représentent les mêmes parties, de grandeur naturelle.
- FIG. 13 et 14. — Extrémité supérieure du tibia.
- FIG. 15. — Extrémité articulaire inférieure du même os, vue en dessous et grossie.
- FIG. 16 et 17. — Fémur de grandeur naturelle.
- FIG. 18 et 19. — Extrémités articulaires, supérieure et inférieure, grossies.
- FIG. 20 et 21. — Coracoïdien grossi, vu sur ses faces inférieure et supérieure. Les figures 20<sup>a</sup> et 21<sup>a</sup> représentent les mêmes pièces de grandeur naturelle.
- FIG. 22, 23 et 24. — Humérus grossi, vu sur ses faces antérieure, postérieure et externe.
- FIG. 25 et 26. — Cubitus vu en avant et de côté.
- FIG. 25<sup>a</sup>. — Face antérieure de la portion articulaire supérieure, grossie.
- FIG. 27 et 28. — Métacarpe vu sur ses faces externe et interne. Les figures 27<sup>a</sup> et 28<sup>a</sup> représentent les mêmes pièces de grandeur naturelle.





Louveau lith.

Imp. Becquet, Paris.

MCZ LIBRARY  
HARVARD UNIVERSITY  
CAMBRIDGE, MA USA



## PLANCHE 153.

### PASSEREAUX.

#### ÆDORNINES FOSSILES.

Os de la patte de diverses espèces, provenant du terrain miocène de la colline de Sansan (Gers).

Tous ces os sont grossis dans les mêmes proportions; un trait placé à côté de chacun d'eux indique leur grandeur naturelle.

FIG. 1 à 21. — Tarso-métatarsiens.

FIG. 21. — Métatarsien postérieur du **Corvus Larteti** (A. Milne Edwards).

FIG. 22 et 23. — Métatarsiens postérieurs de Fringillides, de plus petite taille que l'espèce précédente.







MCZ LIBRARY  
HARVARD UNIVERSITY  
CAMBRIDGE, MA USA



## PLANCHE 154.

### PASSEREAUX.

#### ÆDORNINES FOSSILES.

Ostéologie de diverses espèces provenant du terrain miocène de la colline de Sansan (Gers).

Ces pièces sont toutes grossies dans les mêmes proportions que les os de la patte représentés sur la figure 153. Leur grandeur naturelle est indiquée par une figure spéciale.

FIG. 1 à 4. — Portions inférieures de tibias.

FIG. 5 à 8. — Portions inférieures d'humérus.

FIG. 9 à 14. — Divers fragments de coracoïdiens.



MCZ LIBRARY  
HARVARD UNIVERSITY  
CAMBRIDGE, MA USA





## PLANCHE 155.

### PASSEREAUX.

#### FOSSILES.

**Ostéologie de divers Passereaux** dont les débris ont été trouvés dans les couches miocènes de la colline de Sansan (Gers).

Toutes ces figures sont grossies dans les mêmes proportions que celles représentées sur les planches 153 et 154. Leur grandeur naturelle est indiquée par une figure spéciale portant un numéro sans lettre indicative.

FIG. 1 à 3. — Becs et fragments de becs.

FIG. 4. — Cubitus.

FIG. 5 à 8. — Portions supérieures d'omoplates.

FIG. 9 à 11. — Métacarpes.

FIG. 12 à 13. — Premières phalanges du doigt médian.



MCZ LIBRARY  
HARVARD UNIVERSITY  
CAMBRIDGE, MA USA





## PLANCHE 156.

### PASSEREAUX.

#### FOSSILES.

**Ostéologie du Chocard des Alpes** (*Pyrrhocorax Alpinus*, Linn.), oiseau dont on trouve les débris dans les cavernes à ossements du Périgord et des Pyrénées.

FIG. 1 à 3. — Tarso-métatarsien vu sur ses faces antérieure, postérieure et interne, de grandeur naturelle. Les figures 1<sup>a</sup> et 2<sup>a</sup> représentent l'extrémité inférieure grossie.

FIG. 4. — Poulies digitales, vues en dessous et grossies.

FIG. 5 et 6. — Tibia vu par ses faces antérieure et postérieure, de grandeur naturelle.

FIG. 7. — Extrémité inférieure grossie et vue en dessous.

FIG. 8, 9 et 10. — Humérus de grandeur naturelle, vu en avant, en arrière et en dehors.

FIG. 11 et 12. — Cubitus vu en avant et en dedans.

FIG. 13, 14 et 15. — Métacarpe montrant ses faces externe, interne et postérieure.

**Ostéologie du Corbeau** (*Corvus corax*, Linn.), oiseau dont les débris ont été trouvés dans la caverne de Lacombe (Dordogne).

FIG. 15 et 16. — Portion inférieure de l'humérus, montrant ses faces antérieure et postérieure, de grandeur naturelle.

FIG. 17, 18 et 19. — Tarso-métatarsien d'un jeune individu vu en avant, en arrière et en dehors. (Cet os provient d'une grotte du nord de l'Italie.)

FIG. 20. — Extrémité supérieure du même os.

FIG. 21. — Extrémité inférieure vue en dessous.

FIG. 22. — Humérus d'une **Alouette** (*Alauda cristata*, Linn.), provenant des brèches osseuses de Montmorency, vu par sa face antérieure, de grandeur naturelle.

FIG. 22<sup>a</sup>. — Le même os, grossi.

FIG. 23. — Face postérieure du même os.

FIG. 24. — Humérus de l'**Hirondelle de rochers** (*Hirundo rupestris*, Scopoli), provenant de la caverne de Lourdes (Hautes-Pyrénées), vu par sa face antérieure, de grandeur naturelle.

FIG. 24<sup>a</sup>. — Le même os, grossi.

FIG. 25. — Face postérieure du même os.

FIG. 26 et 27. — Humérus de la **Muppe** (*Upupa epops*, Linn.), des brèches osseuses de Sardaigne, montrant ses faces antérieure postérieure, de grandeur naturelle.



MCZ LIBRARY  
HARVARD UNIVERSITY  
CAMBRIDGE, MA USA



## PLANCHE 157.

### PASSEREAUX.

#### FOSSILES.

**Squelette restitué du Chocard des Alpes** (*Pyrrhocorax Alpinus*, Vieillot, *Corvus pyrrhocorax*, Linné), oiseau dont les ossements se trouvent communément dans les cavernes à ossements du centre et du midi de la France.

Les parties au trait n'ont pas encore été trouvées à l'état fossile.





MCZ LIBRARY  
HARVARD UNIVERSITY  
CAMBRIDGE, MA USA



## PLANCHE 158.

### PASSEREAUX.

#### FOSSILES.

- FIG. 1. — Tarso-métatarsien de la **Motacilla major** (A. Milne Edwards), espèce fossile provenant du terrain miocène de l'Allier.
- FIG. 1<sup>a</sup>. — Le même os, grossi et montrant sa face antérieure.
- FIG. 2. — Face postérieure du même os.
- FIG. 3. — Face externe du même os, de grandeur naturelle.
- FIG. 3<sup>a</sup>. — Le même os, grossi.
- FIG. 4. — Face interne de l'os.
- FIG. 5. — Extrémité articulaire supérieure vue en dessus.
- FIG. 6. — Extrémité articulaire inférieure vue en dessous.
- FIG. 7. — Cubitus appartenant probablement à la **Motacilla humata** (A. Milne Edwards), espèce fossile provenant du terrain miocène du département de l'Allier.
- FIG. 7<sup>a</sup>. — Le même os, grossi et montrant sa face antérieure.
- FIG. 8. — Face postérieure du même.
- FIG. 9. — Face externe.
- FIG. 10. — Face interne.
- FIG. 11. — Extrémité articulaire supérieure très-grossie.
- FIG. 12. — Cubitus d'une autre espèce de Passereau, provenant du terrain miocène du département de l'Allier.
- FIG. 12<sup>a</sup>. — Le même os, grossi et montrant sa face antérieure.
- FIG. 13. — Face postérieure du même os.
- FIG. 14. — Face externe.
- FIG. 15. — Face interne.
- FIG. 16. — Extrémité articulaire supérieure très-grossie.

(Ces pièces proviennent de ma collection.)









## PLANCHE 159.

### PASSEREAUX.

#### FOSSILES.

Ostéologie de divers Passereaux provenant du terrain miocène du département de l'Allier.

- FIG. 1. — Humérus du **Lanius miocen**us, A. Edwards, de grandeur naturelle.  
FIG. 1<sup>a</sup>. — Le même os grossi et montrant sa face antérieure.  
FIG. 2. — Face postérieure du même.  
FIG. 3. — Face externe du même.  
FIG. 4. — Humérus d'un oiseau voisin des Pouillots et provenant de Saint-Gérand le Puy.  
FIG. 5. — Face postérieure du même os.  
FIG. 6. — Humérus d'un oiseau voisin des Rossignols, provenant de Saint-Gérand le Puy.  
FIG. 7. — Le même os vu par sa face postérieure.  
FIG. 8. — Humérus de Passereau provenant du terrain miocène des environs de Weissenau (bassin de Mayence).  
FIG. 8<sup>a</sup>. — Le même os grossi.  
FIG. 9. — Face postérieure du même os.  
FIG. 10. — Tibia du **Motacilla humata**, A. Edw., de grandeur naturelle.  
FIG. 10<sup>a</sup>. — Le même, grossi.  
FIG. 11. — Face postérieure du même os.  
FIG. 12. — Face externe du même.  
FIG. 13. — Portion de tibia du **Motacilla major**, A. Edw., de grandeur naturelle.  
FIG. 13<sup>a</sup>. — Le même os grossi.  
FIG. 14. — Le même, vu par sa face postérieure.  
FIG. 15. — Face externe du même.  
FIG. 16. — Coracoïdien d'un Passereau appartenant probablement au genre **Loxia**.  
FIG. 17. — Le même os grossi et vu par sa face supérieure.  
FIG. 18. — Métacarpe du **Cypselus ignotus**, A. Edw., vu par sa face interne, de grandeur naturelle.  
FIG. 18<sup>a</sup>. — Le même os grossi.  
FIG. 19. — Face externe du même os.

Ces pièces proviennent de ma collection.)









## PLANCHE 160.

### PASSEREAUX.

#### FOSSILES.

FIG. 1 et 2. — Empreinte et contre-empreinte d'un oiseau appartenant à l'ordre des Passereaux, et provenant des carrières de gypse des environs de Paris. — Une vertèbre caudale de *Palæotherium* cache quelques parties de ce squelette.

(Cette pièce fait partie des collections du Muséum d'histoire naturelle.)

1



2



Y  
MAR 24 1977  
CAMBRIDGE, MASS.





## PLANCHE 161.

### PASSEREAUX.

#### DU GYPSE.

FIG. 1. — **Squelette de Laurillardia longirostris** (A. Milne Edwards), oiseau provenant du gypse de Montmartre, de grandeur naturelle.

FIG. 2 et 3. — Empreinte et contre-empreinte du squelette du **Palægithalus Cuvieri** (A. Milne Edwards, **Sitta Cuvieri**, P. Gervais), oiseau provenant du gypse des environs de Paris, de grandeur naturelle.

(Ces pièces appartiennent au Muséum d'histoire naturelle.)

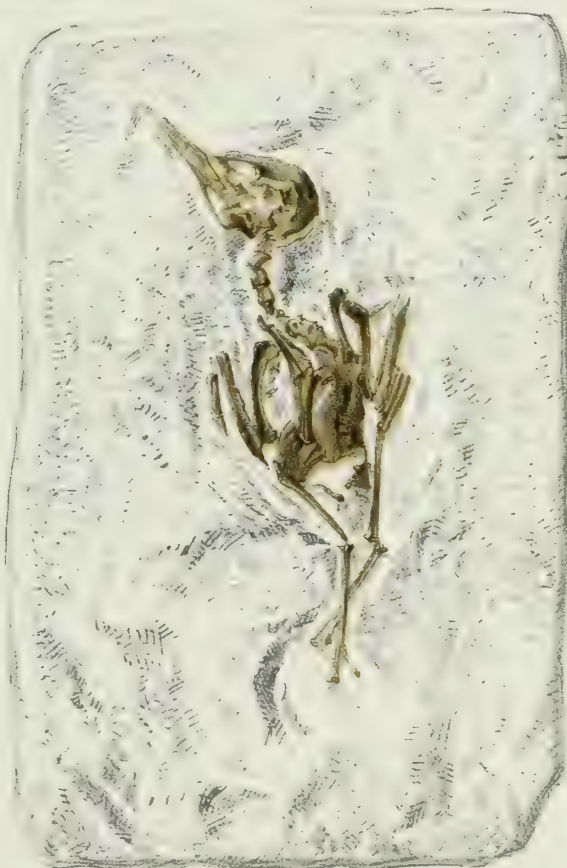
1



2



Louveau lith.



Low. Engraved from.





## PLANCHE 162.

### PASSEREAUX.

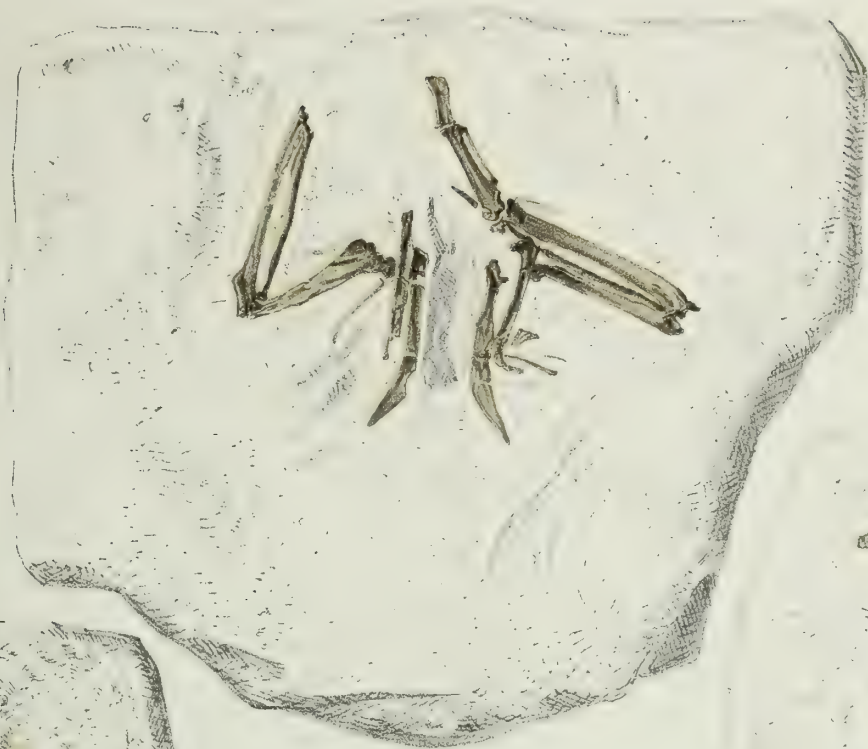
#### FOSSILES.

- FIG. 1. — Empreinte d'un squelette de Passereau, provenant des carrières de gypse des environs de Paris. Cet oiseau diffère de celui représenté planche 160, par la longueur beaucoup plus grande des avant-bras et par la brièveté des pattes. Cette figure est de grandeur naturelle ainsi que les suivantes.
- FIG. 2. — Patte de Passereau provenant du même gisement.
- FIG. 3. — Coracoïdien de Passereau provenant aussi du même gisement.
- FIG. 4. — Portion du squelette (ailes, coracoïdiens et omoplates) d'un oiseau appartenant probablement au groupe des Conirostres, et provenant des couches pliocènes du mont Licata, en Sicile.

(Ces pièces proviennent de la collection du Muséum.)



4



2



3



1



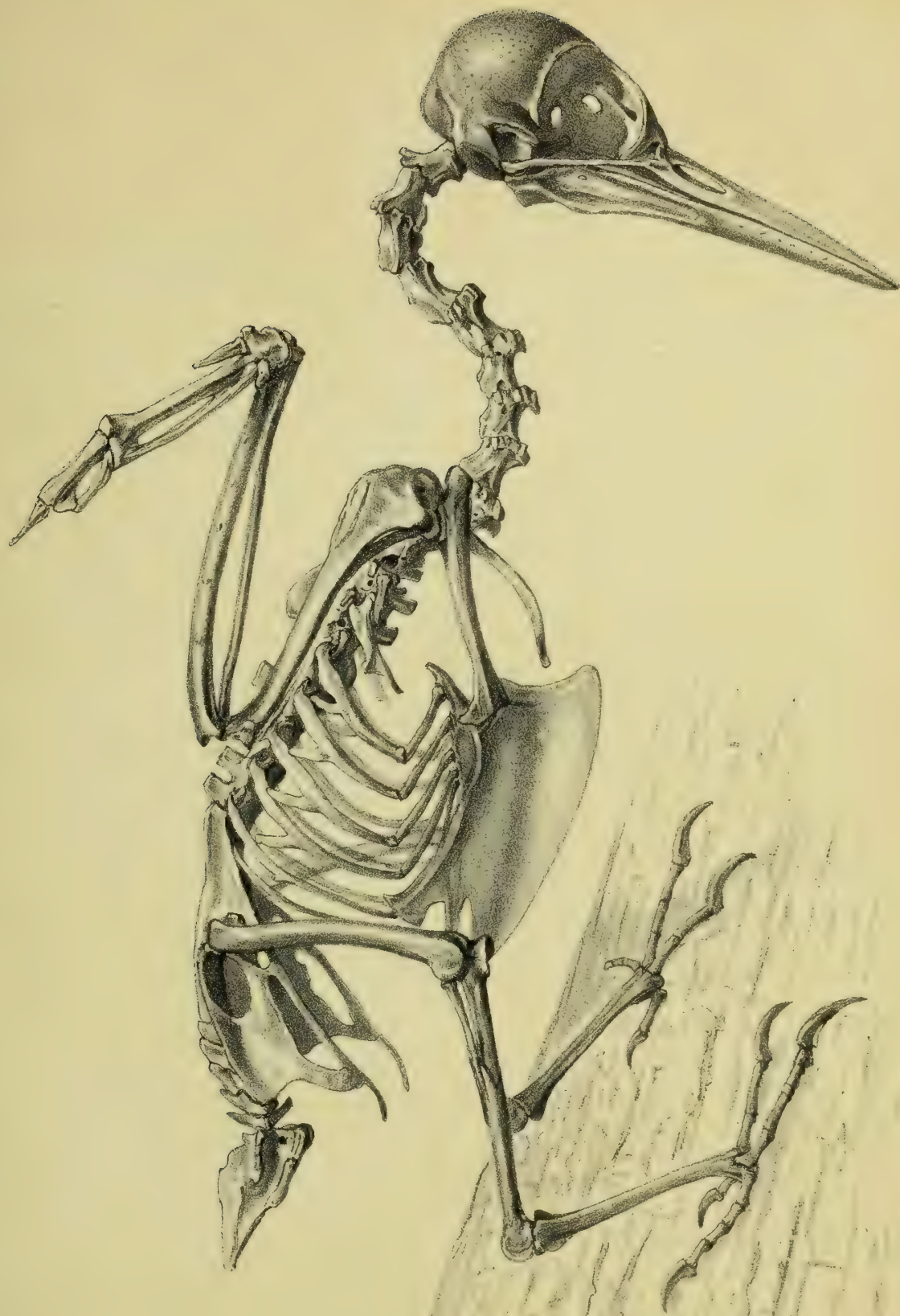
MOZ LIBRARY  
HARVARD UNIVERSITY  
CAMBRIDGE, MA USA



PLANCHE 163.

PASSEREAUX.

**Squelette du *Picus Martius*** (Linn.), individu mâle du sud de la France,  
de grandeur naturelle.





MCZ LIBRARY  
HARVARD UNIVERSITY  
CAMBRIDGE, MA USA



PLANCHE 164.

PASSEREAUX.

**Squelette du Martin-Chasseur d'Australie** (*Dacelo gigantea*, Latham.), individu mâle,  
de grandeur naturelle.



HAIR  
CAMPTON





PLANCHE 165.

PASSEREAUX.

- FIG. 1. — Squelette d'un **Guêpier** (*Merops amictus*, Temminck), individu provenant de Sumatra, représenté de grandeur naturelle.
- FIG. 2. — Squelette de l'**Engoulevent de Cayenne** (*Caprimulgus Cayennensis*, Gmel.), de grandeur naturelle.



MOZ LIBRARY  
HARVARD UNIVERSITY  
CAMBRIDGE, MA USA





PLANCHE 166.

PASSEREAUX.

**Squelette du Touraco pourpré de la côte occidentale d'Afrique** (*Turacus persa*, Lin.),  
de grandeur naturelle.



MOFFET LIBRARY  
HARVARD UNIVERSITY  
CAMBRIDGE, MA USA



PLANCHE 167.

PASSEREAUX.

FIG. 1. — Squelette du **Couroucou à cou noir**, du Brésil (*Trogon atricollis*, Vieillot), individu mâle, de grandeur naturelle.

FIG. 2. — Squelette d'un **Martinet** (*Cypselus longipennis*, Temm.), individu provenant de Cochinchine, représenté de grandeur naturelle.









PLANCHE 168.

PASSEREAUX.

Squelette du **Coucou des îles Philippines** (*Centropus Philippinensis*, Cuvier),  
de grandeur naturelle.









## PLANCHE 169.

### PASSEREAUX.

- FIG. 1 et 2. — Tarso-métatarsien de la **Huppe** commune (*Upupa epops*, Linné), grossi et montrant ses faces antérieure et postérieure (1<sup>a</sup> indique la grandeur naturelle).
- FIG. 3 et 4. — Extrémités articulaires supérieure et inférieure du même os.
- FIG. 5 et 6. — Tarso-métatarsien du **Martinet** (*Cypselus apus*, Linné), grossi et montrant ses faces antérieure et postérieure (5<sup>a</sup> indique la grandeur naturelle de l'os).
- FIG. 7 et 8. — Extrémités articulaires supérieure et inférieure.
- FIG. 9 et 10. — Tarso-métatarsien du **Guépier** (*Merops aegyptius*, Forsk.), grossi et montrant ses faces antérieure et postérieure (9<sup>a</sup> indique la grandeur naturelle de l'os).
- FIG. 11 et 12. — Extrémités articulaires supérieure et inférieure du même os.
- FIG. 13 à 16. — Tarso-métatarsien du **Martin chasseur** d'Australie (*Dacelo gigantea*, Latham), de grandeur naturelle et vu sur ses diverses faces.
- FIG. 16<sup>a</sup> et 16<sup>b</sup>. — Extrémités supérieure et inférieure grossies.
- FIG. 17 et 18. — Tarso-métatarsien de l'**Engoulevent** (*Caprimulgus europæus*, Linné), grossi et vu sur ses faces antérieure et postérieure (17<sup>a</sup> indique la grandeur naturelle de l'os).
- FIG. 19 et 20. — Extrémités articulaires supérieure et inférieure grossies.
- FIG. 21 à 24. — Tarso-métatarsien du **Calao Tock** (*Tockus erythrorhynchus*, Temminck) de grandeur naturelle, et vu par ses faces antérieure, postérieure interne et externe.
- FIG. 24<sup>a</sup> et 25. — Extrémités articulaires supérieure et inférieure du même os, grossies.
- FIG. 26 et 27. — Tarso-métatarsien du **Trogon à queue noire** (*Trogon curucui*, Linné) grossi et montrant ses faces antérieure et postérieure. (27<sup>a</sup> indique la grandeur naturelle de l'os.)
- FIG. 28 et 29. — Extrémités articulaires supérieure et inférieure du même os.
- FIG. 30 et 31. — Tarso-métatarsien du **Touraco pourpre** (*Turacus persa*, Linné) de grandeur naturelle, montrant ses faces antérieure et postérieure.
- FIG. 32 et 33. — Tarso-métatarsien d'un **Toucan** (*Ramphastos Cuvieri*, Gould) de grandeur naturelle, vu par ses faces antérieure et postérieure.
- FIG. 35 et 36. — Extrémités articulaires supérieure et inférieure grossies.
- FIG. 37 et 38. — Tarso-métatarsien du **Pic vert** (*Picus viridis*, Linné), de grandeur naturelle. Les figures 37<sup>a</sup> et 38<sup>a</sup> montrent la portion inférieure grossie.
- FIG. 39 et 40. — Extrémités articulaires supérieure et inférieure grossies.
- FIG. 41. — Tarso-métatarsien du **Coucou** (*Cuculus canorus*, Linné), de grandeur naturelle et montrant sa face antérieure.
- FIG. 42 et 43. — Portion inférieure du même os grossie.
- FIG. 44 et 45. — Extrémités articulaires supérieure et inférieure grossies.









## PLANCHE 170.

### PASSEREAUX.

FIG. 1 et 2. — Tibia du **Touraco pourpré** (*Turacus persa*, Linné), de grandeur naturelle.

FIG. 3. — Extrémité articulaire inférieure du même os, vue en dessous et grossie.

FIG. 4 et 5. — Tibia du **Calao Tock** (*Tockus erythrorhynchus*, Temminck), de grandeur naturelle.

FIG. 6. — Extrémité articulaire inférieure du même os, vue en dessous et grossie.

FIG. 7 et 8. — Tibia du **Martin chasseur** (*Dacelo gigantea*, Latham), de grandeur naturelle.

FIG. 9. — Extrémité articulaire inférieure vue en dessous et grossie.

FIG. 10 et 11. — Tibia du **Pic vert** (*Picus viridis*, Linné), de grandeur naturelle.

FIG. 12. — Extrémité articulaire inférieure vue en dessous et grossie.

FIG. 13 et 14. — Tibia du **Coucou** (*Cuculus canorus*, Linné), de grandeur naturelle.

FIG. 15. — Extrémité articulaire inférieure, vue en dessous et grossie.

FIG. 16. — Portion inférieure du même os, vue par sa face antérieure et grossie.

FIG. 17. — Tibia du **Martinet** (*Cypselus apus*, Linné), de grandeur naturelle.

FIG. 18 et 19. — Portion inférieure du même os grossi et montrant ses faces antérieure et postérieure.

FIG. 20. — Extrémité articulaire inférieure vue en dessous et grossie.

FIG. 21 et 22. — Bassin du **Coucou**, vu en dessus et de côté.

FIG. 23 et 24. — Bassin du **Pic vert**, vu en dessus et de côté.

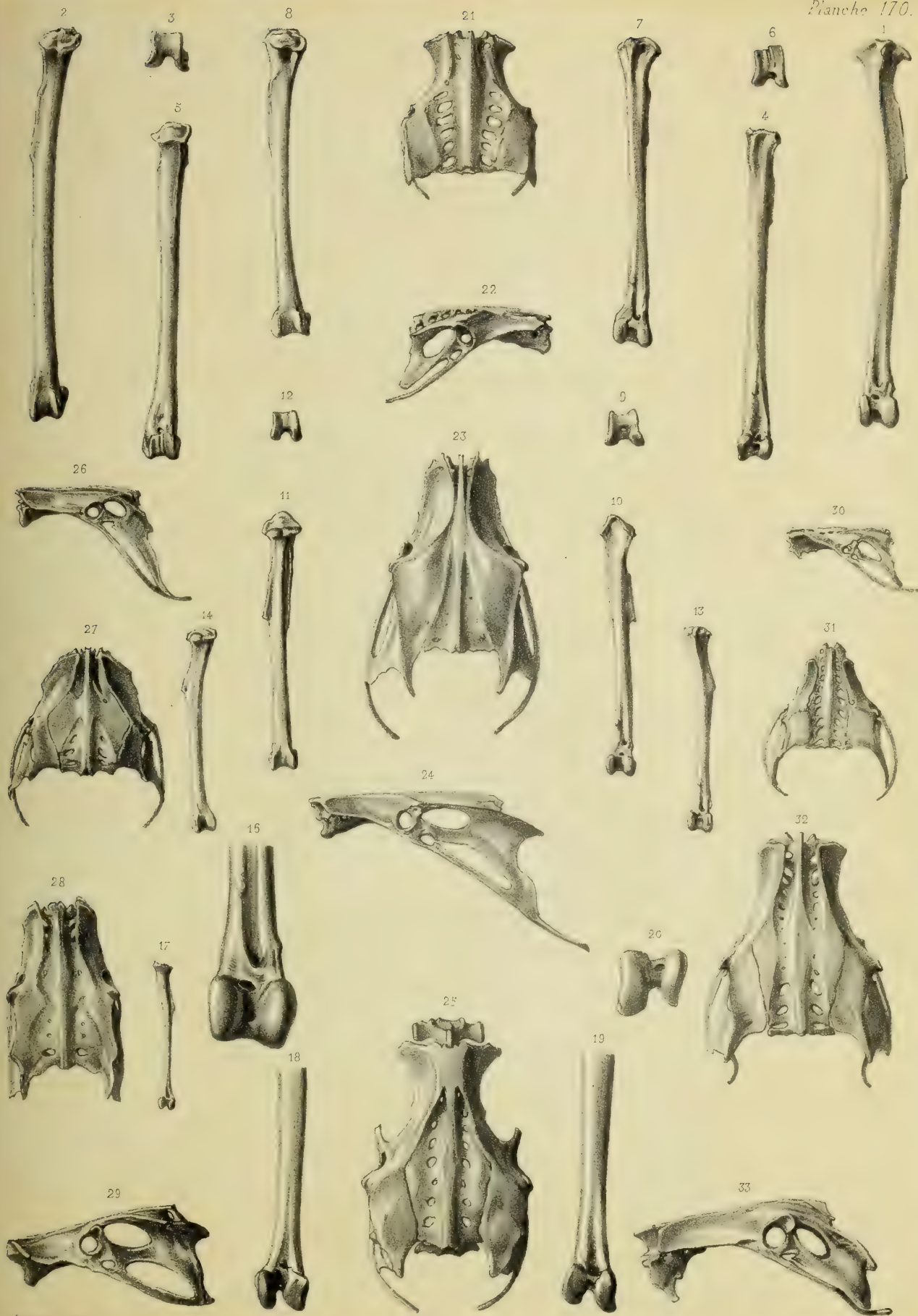
FIG. 25. — Face supérieure du bassin du **Touraco pourpré**.

FIG. 26 et 27. — Bassin du **Couroucou vert** (*Trogon viridis*, Linné), vu de côté et en dessus.

FIG. 28 et 29. — Bassin du **Calao Tock**, vu en dessus et de côté.

FIG. 30 et 31. — Bassin du **Martinet**, vu de côté et en dessus.

FIG. 32 et 33. — Bassin du **Martin chasseur**, vu en dessus et de côté.



MOZ LIBRARY  
HARVARD UNIVERSITY  
CAMBRIDGE, MA USA





## PLANCHE 171.

### PASSEREAUX.

FIG. 1. — Sternum du **Martinet** (*Cypselus apus*, Linné), vu par sa face inférieure, de grandeur naturelle, ainsi que les 16 figures suivantes.

FIG. 2. — Le même, montrant la disposition du bord antérieur et des rainures coracoïdiennes.

FIG. 3 et 4. — Sternum du **Pic-vert** (*Picus viridis*, Linné).

FIG. 5 et 6. — Sternum d'un **Coucou** des Indes (*Eudynamis orientalis*, Vigors; *Cuculus orientalis*, Linné).

FIG. 7, 8 et 9. — Sternum du **Martin-chasseur** (*Dacelo gigantea*, Latham).

FIG. 10, 11 et 12. — Sternum du **Touraco pourpré** (*Turacus persa*, Linné).

FIG. 13 et 14. — Sternum de l'**Engoulevent** (*Caprimulgus Europæus*, Linné).

FIG. 15 et 16. — Sternum du **Couroucou** vert (*Trogon viridis*, Linné).

FIG. 17. — Fémur de l'**Engoulevent** de grandeur naturelle, vu par sa face antérieure.

FIG. 18. — Le même os, grossi.

FIG. 19. — Fémur du **Coucou** de grandeur naturelle, vu par sa face antérieure.

FIG. 20 et 21. — Le même os, grossi.

FIG. 22 et 23. — Fémur du **Pic-vert** de grandeur naturelle, vu par ses faces antérieure et postérieure.

FIG. 22<sup>a</sup>, 23<sup>a</sup> et 24. — Le même os, grossi.

FIG. 25 et 26. — Coracoïdien du **Touraco pourpré**, de grandeur naturelle, vu par ses faces antérieure et postérieure.

FIG. 27 et 28. — Coracoïdien du **Coucou**, vu par ses faces antérieure et postérieure.

FIG. 29 et 30. — Coracoïdien du **Pic-vert**, vu par ses faces antérieure et postérieure.

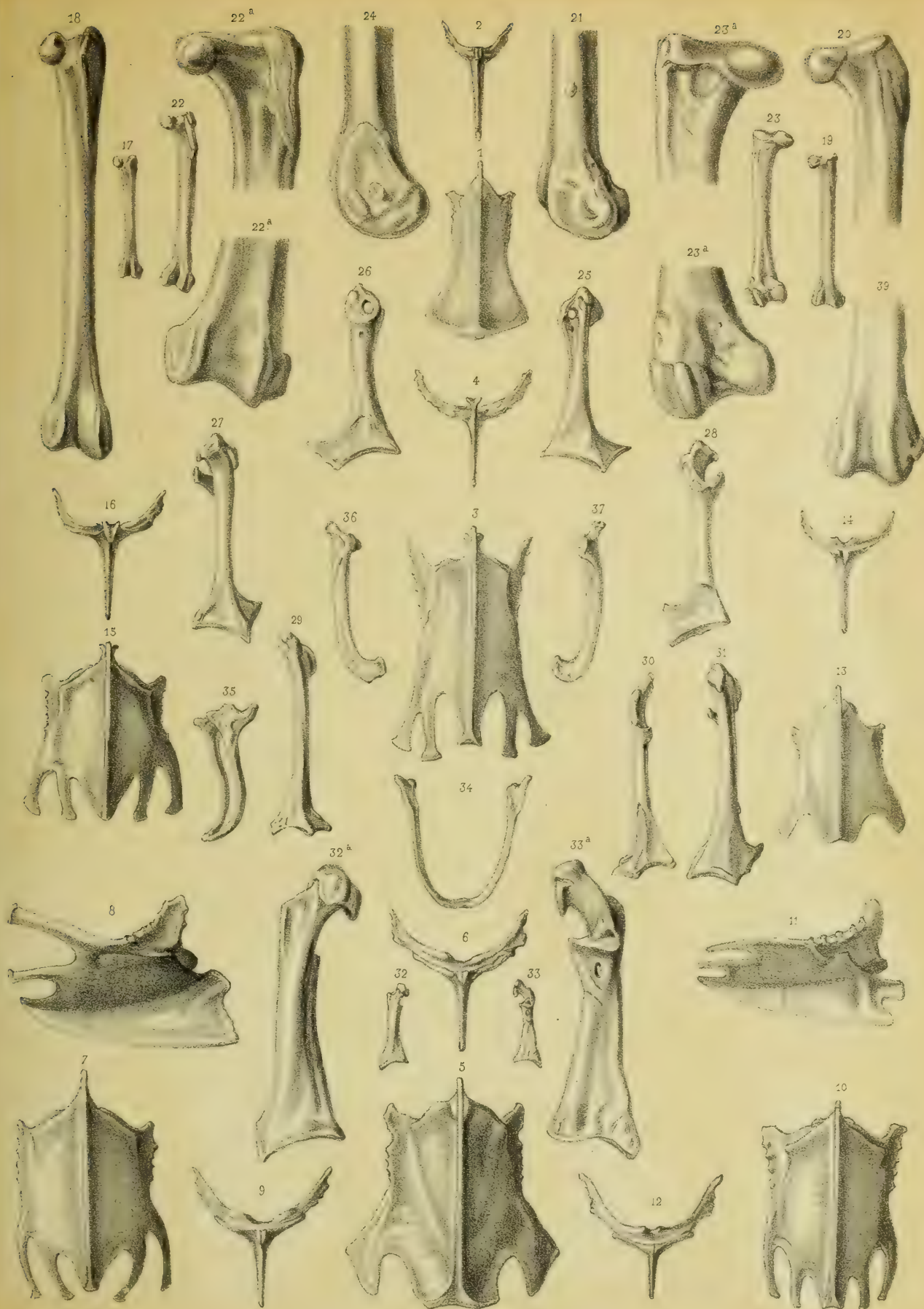
FIG. 31. — Face antérieure du coracoïdien du **Martin chasseur**.

FIG. 32 et 33. — Coracoïdien du **Martinet**, vu par ses faces antérieure et postérieure.

FIG. 32<sup>a</sup> et 33<sup>a</sup>. — Le même os, grossi.

FIG. 34 et 35. — Os furculaire, du **Pic-vert** vu en dessus et de côté.

FIG. 36 et 37. — Omoplate du même oiseau, montrant ses faces supérieure et inférieure.







## PLANCHE 172.

### PASSEREAUX.

FIG. 1, 2 et 3. — Humérus du **Martinet** (*Cypselus opus*, Linné), vu par ses faces antérieure externe et postérieure, de grandeur naturelle.

FIG. 1<sup>a</sup>, 2<sup>a</sup> et 3<sup>a</sup>. — Le même os, grossi.

FIG. 4, 5 et 6. — Humérus du **Pie-vert** (*Picus viridis*, Linné), vu par ses faces antérieure, externe et postérieure, de grandeur naturelle, ainsi que les figures suivantes.

FIG. 7 et 8. — Humérus d'un **Barbu** (*Megalaima armillaris*, Temm.), vu par ses faces antérieure et postérieure.

FIG. 9, 10 et 11. — Humérus de l'**Engoulevent** (*Caprimulgus Europæus*, Linné), vu sur ses diverses faces.

FIG. 12 et 13. — Humérus de la **Huppe** (*Upupa epops*, Linné).

FIG. 14 à 17. — Humérus du **Touraco pourpré** (*Turacus persa*, Linné).

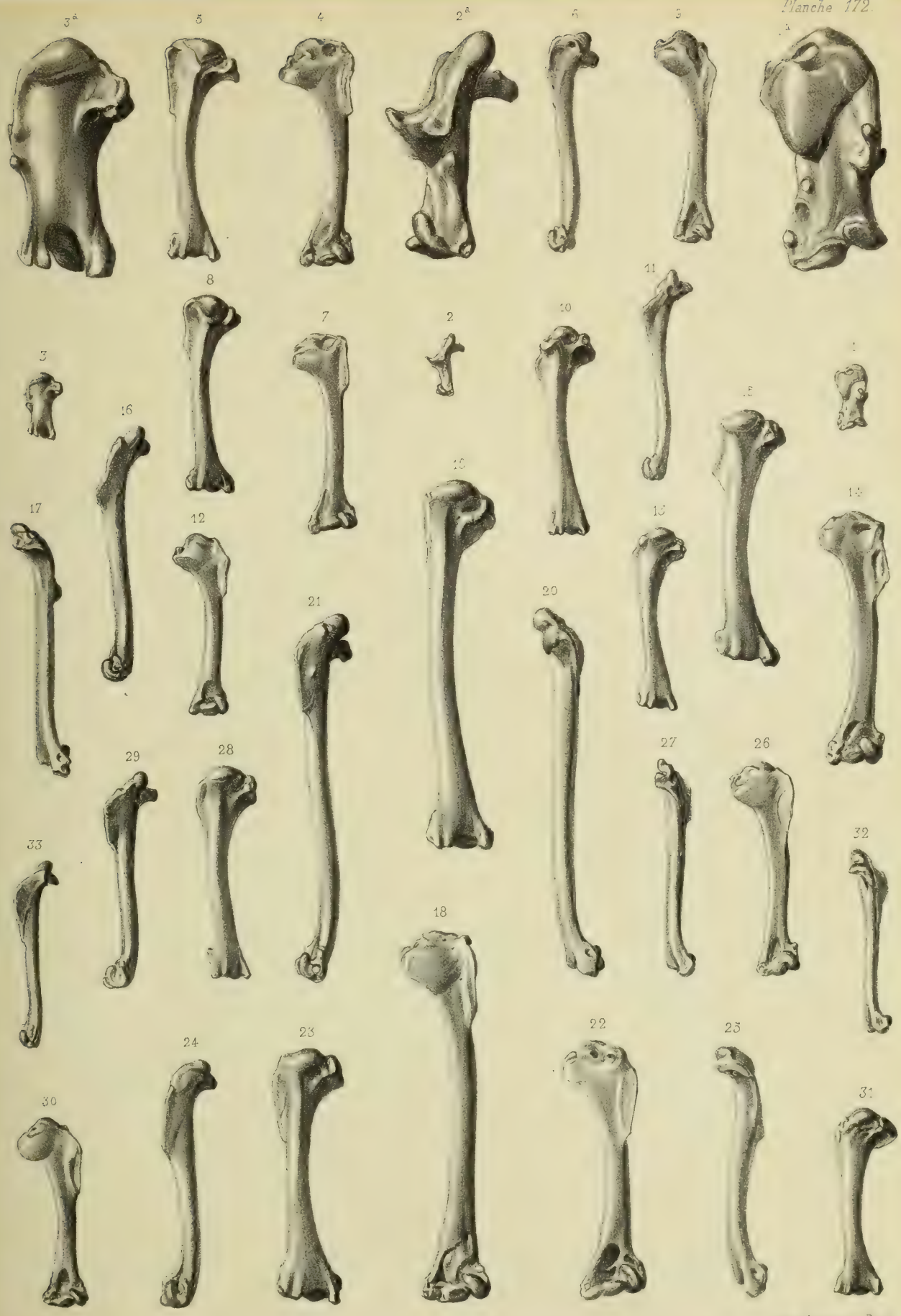
FIG. 18 à 21. — Humérus du **Martin chasseur** (*Dacelo gigantea*, Latham.).

FIG. 22 à 25. — Humérus du **Calao Tock** (*Tockus erythrorhynchus*, Temminck), vu sur ses diverses faces.

FIG. 26 à 29. — Humérus du **Coucou** (*Cuculus canorus*, Linné), vu sur ses diverses faces.

FIG. 30 à 33. — Humérus du **Couroucou vert** (*Trogon viridis*, Linné).





1007 LIBRARY  
HARVARD UNIVERSITY  
CAMBRIDGE, MA USA



## PLANCHE 173.

### PASSEREAUX

- FIG. 1 à 3. — Métacarpe de **Calao Tock** (*Tockus erythrorhynchus*, Temm.), de grandeur naturelle, vu par ses faces postérieure, externe et interne.
- FIG. 4. — Extrémité articulaire supérieure, vue en dessus et grossie.
- FIG. 5 et 6. — Métacarpe du **Martin chasseur** (*Dacelo gigantea*, Latham), montrant ses faces externe et interne.
- FIG. 7. — Extrémité articulaire supérieure, vue en dessus et grossie.
- FIG. 8, 9 et 10. — Métacarpe du **Pic vert** (*Picus viridis*, Linné), vu par ses faces externe, interne et postérieure.
- FIG. 11 et 12. — Métacarpe du **Touraco pourpré** (*Turacus Persa*, Linné), vu en dehors et en dedans.
- FIG. 13. — Extrémité articulaire supérieure, vue en dessus et grossie.
- FIG. 14. — Face externe du métacarpe du **Coucou** (*Cuculus canorus*, Linné).
- FIG. 15. — Extrémité articulaire supérieure du même os, vue en dessus et grossie.
- FIG. 16 et 17. — Métacarpe du **Martinet** (*Cypselus apus*, Linné), montrant ses faces externe et interne.
- FIG. 18 et 19. — Métacarpe de la **Huppe** (*Upupa epops*, Linné).
- FIG. 20 et 21. — Métacarpe du **Couroucou vert** (*Trogon viridis*, Linné).
- FIG. 22 et 23. — Cubitus du **Martinet**, vu par ses faces antérieure et postérieure, de grandeur naturelle.
- FIG. 22<sup>a</sup> et 23<sup>a</sup>. — Le même os, grossi.
- FIG. 24 et 25. — Cubitus du **Couroucou vert**, montrant ses faces antérieure et interne.
- FIG. 26 et 27. — Cubitus du **Touraco pourpré**, montrant ses faces interne et antérieure.
- FIG. 28 et 29. — Cubitus du **Coucou**, vu sur les mêmes faces.
- FIG. 30, 31 et 32. — Cubitus de **Huppe**, montrant ses faces antérieure, postérieure et interne.
- FIG. 33 et 34. — Extrémité supérieure du même os, grossie.
- FIG. 35 et 36. — Cubitus de l'**Engoulevent**.
- FIG. 37 et 38. — Cubitus du **Pic vert**, vu en avant et en dedans.
- FIG. 39 et 40. — Portion supérieure, vue sur ses faces antérieure et postérieure.
- FIG. 41 et 42. — Cubitus du **Calao Tock**.
- FIG. 43, 44 et 45. — Cubitus du **Martin-chasseur**.







HEALTH LIBRARY  
HARVARD UNIVERSITY  
CAMBRIDGE, MA USA



## PLANCHE 174.

### PASSEREAUX.

- FIG. 1. — Tête osseuse du **Calao Tock** (*Tockus erythrorhynchus*, Temminck), vue de côté et de grandeur naturelle, ainsi que les figures suivantes.
- FIG. 2. — La même, vue en dessous.
- FIG. 3. — Tête osseuse du **Pic-vert** (*Picus viridis*, Linné), vue par sa face supérieure.
- FIG. 4. — Face inférieure de la même.
- FIG. 5. — Tête osseuse du **Martin chasseur** (*Dacelo gigantea*, Latham), vue de côté.
- FIG. 6. — Face supérieure de la même.
- FIG. 7. — Face inférieure de la même.
- FIG. 8. — Tête osseuse du **Martin pêcheur** (*Alcedo ispida*, Linné), vue en dessus.
- FIG. 9. — La même, vue en dessous.
- FIG. 10. — Tête osseuse du **Couroucou vert** (*Trogon viridis*, Linné), vue en dessus.
- FIG. 11. — La même, vue par sa face inférieure.

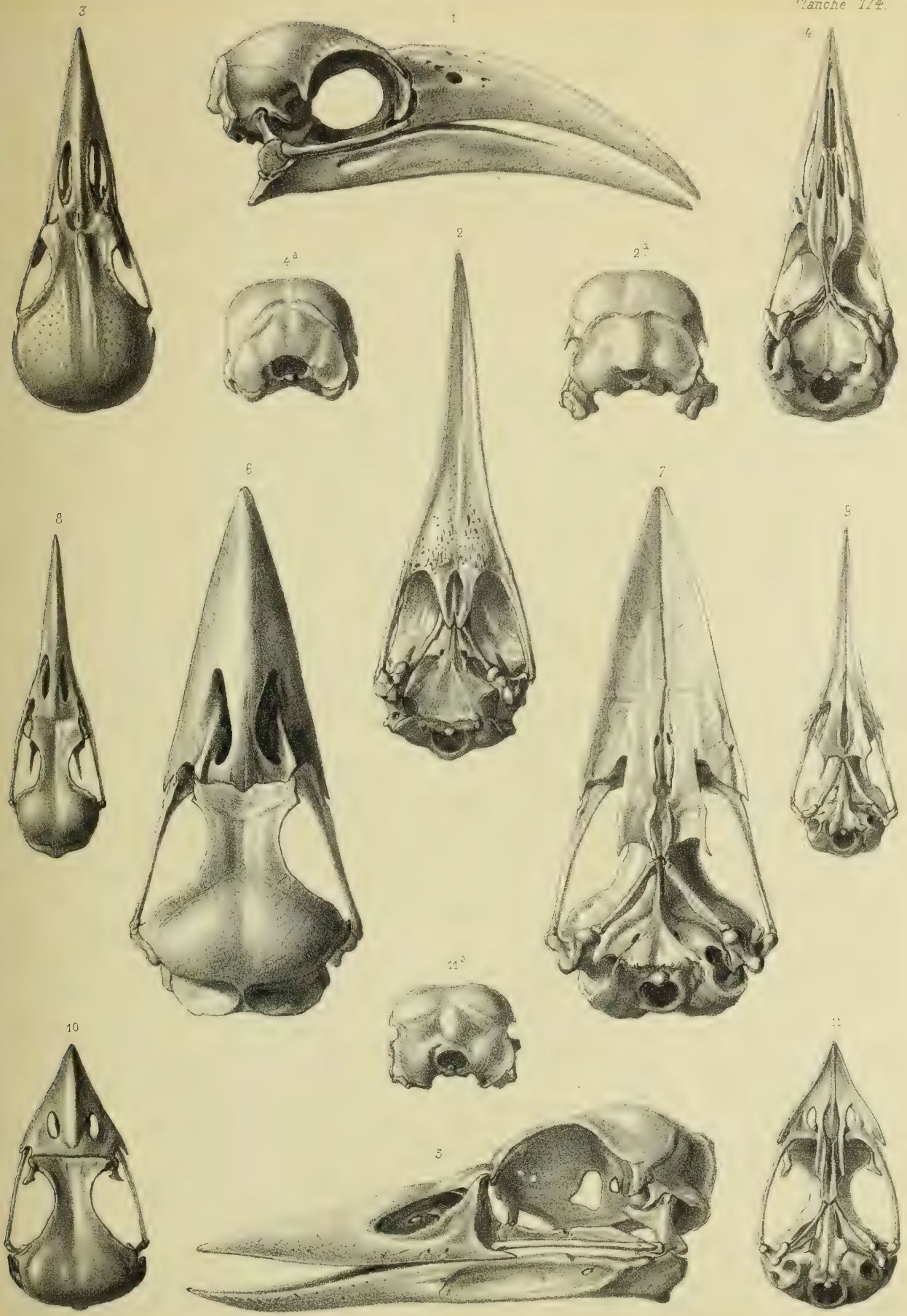








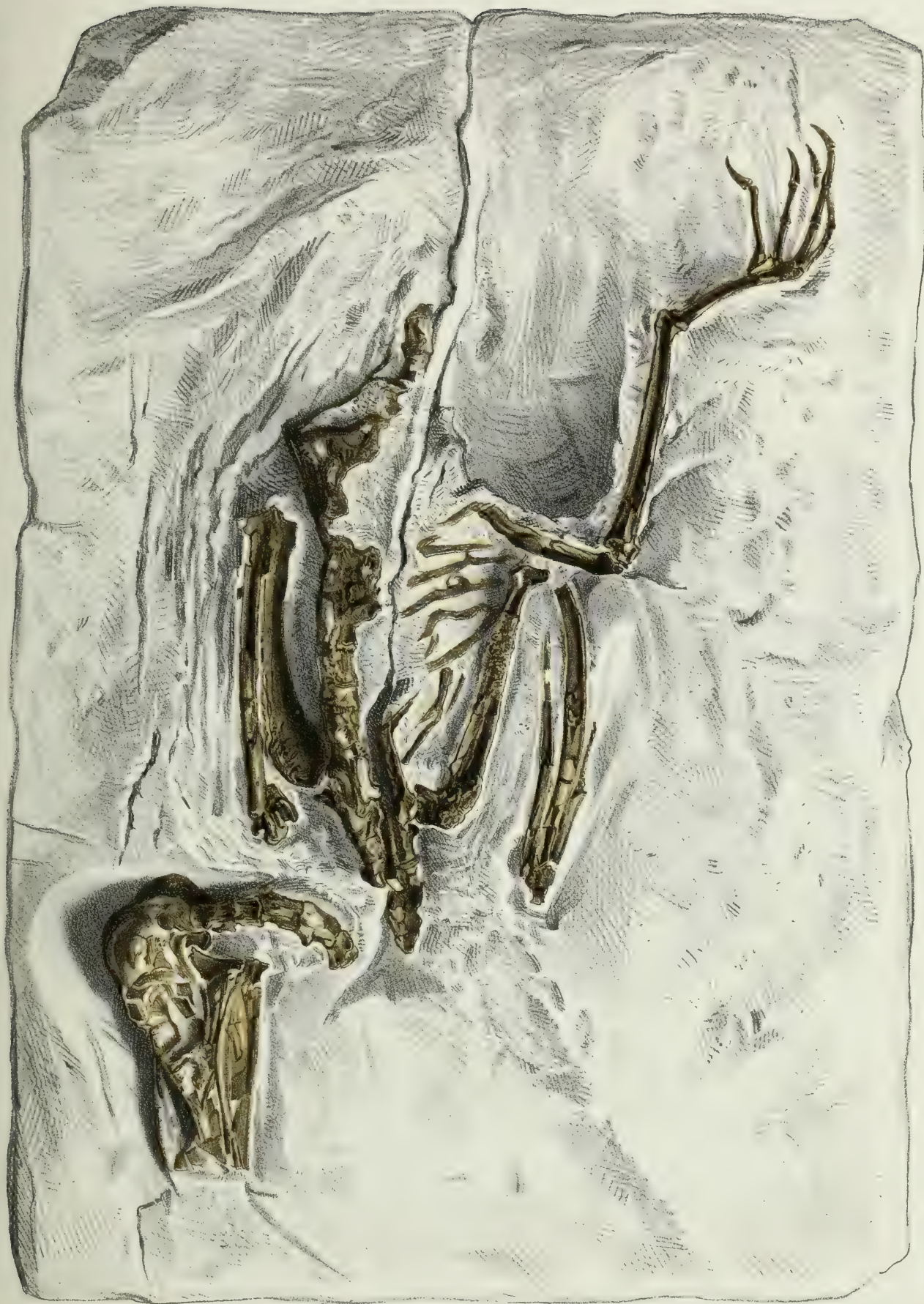
PLANCHE 175.

PASSEREAUX.

FOSSILES.

Squelette du **Cryptornis antiquus** (A. Edwards), *Centropus? Antiquus* (P. Gervais),  
oiseau fossile provenant des carrières de Gypse des environs de Paris, de  
grandeur naturelle.

(Ce fossile fait partie des collections du Muséum d'histoire naturelle.)



MOZ LIBRARY  
HARVARD UNIVERSITY  
CAMBRIDGE, MA USA





## PLANCHE 176.

### PASSEREAUX.

#### FOSSILES.

- FIG. 1. — Tibia du **Picus consobrinus** (A. Edwards), espèce fossile provenant du terrain miocène du département de l'Allier (face antérieure, de grandeur naturelle).
- FIG. 2. — Le même os, grossi.
- FIG. 3. — Face postérieure du même os, de grandeur naturelle.
- FIG. 4. — Le même os, grossi.
- FIG. 5. — Face interne du même os.
- FIG. 6. — Extrémité articulaire inférieure, vue en dessous.
- FIG. 7. — Extrémité articulaire supérieure, vue en dessus.
- FIG. 8. — Humérus d'un oiseau voisin du **Limnatornis** et provenant du même gisement (face antérieure, de grandeur naturelle).
- FIG. 9. — Le même os, grossi.
- FIG. 10. — Face postérieure, de grandeur naturelle.
- FIG. 11. — Le même os, grossi.
- FIG. 12. — Face externe du même os.
- FIG. 13. — Face interne du même os.
- FIG. 14. — Humérus du **Limnatornis paludicola** (A. Edwards), oiseau fossile provenant, de même que les précédents, du terrain miocène du département de l'Allier (face antérieure, de grandeur naturelle).
- FIG. 15. — Le même os, grossi.
- FIG. 16. — Face postérieure.
- FIG. 17. — Le même os, grossi.
- FIG. 18. — Face externe du même os.
- FIG. 19. — Humérus du **Lanius miocœnus** (A. Edwards), oiseau fossile provenant du terrain miocène du département de l'Allier (face antérieure, de grandeur naturelle).
- FIG. 20. — Le même os, grossi.
- FIG. 21. — Face postérieure, de grandeur naturelle.
- FIG. 22. — Le même os, grossi.

(Ces pièces font partie de ma collection.)



NOT LIBRARY  
HARVARD UNIVERSITY  
CAMBRIDGE, MA USA



## PLANCHE 177.

### PASSEREAUX.

#### FOSSILES.

- FIG. 1. — Tibia d'un oiseau voisin des Salanganes (*Collocalia incerta*, A. Edwards), provenant du terrain miocène du département de l'Allier (face antérieure de l'os, de grandeur naturelle).
- FIG. 2. — Le même os, grossi.
- FIG. 3. — Le même os, vu par sa face postérieure, de grandeur naturelle.
- FIG. 4. — Le même, grossi.
- FIG. 5 et 6. — Portion inférieure du tibia montrant ses faces externe et interne.
- FIG. 7 et 8. — Extrémités articulaires inférieure et supérieure, grossies.
- FIG. 9. — Cubitus d'un oiseau voisin des Martinets (*Cypselus ignotus*, A. Edwards), provenant du terrain miocène du département de l'Allier (face antérieure, de grandeur naturelle).
- FIG. 10. — Le même os, grossi.
- FIG. 11. — Face postérieure, de grandeur naturelle.
- FIG. 12. — Le même os, grossi.
- FIG. 13. — Face interne du même.
- FIG. 14. — Humérus du *Limnatornis paludicola* (A. Edwards), oiseau fossile provenant du terrain miocène de l'Allier (face antérieure, de grandeur naturelle).
- FIG. 15. — Le même os, grossi.
- FIG. 16. — Le même, vu par sa face postérieure, de grandeur naturelle.
- FIG. 17. — Le même os, grossi.
- FIG. 18. — Humérus du *Trogon Gallicus* (A. Edwards), Couroucou fossile provenant du terrain miocène du département de l'Allier (face antérieure, de grandeur naturelle).
- FIG. 19. — Le même os, grossi.
- FIG. 20. — Le même, vu par sa face postérieure, de grandeur naturelle.
- FIG. 21. — Le même, grossi.
- FIG. 22. — Face externe du même os.

(Ces pièces font partie de ma collection.)





*Figures 1-23*

MOZ LIBRARY  
HARVARD UNIVERSITY  
CAMBRIDGE, MA USA



## PLANCHE 178.

### PASSEREAUX.

#### FOSSILES.

FIG. 1 et 2. Tibia du **Picus Archiaci** (A. Edwards), oiseau provenant du terrain miocène du département de l'Allier, faces antérieure et postérieure, de grandeur naturelle.

FIG. 1<sup>a</sup>, 2<sup>a</sup> et 3. — Le même os, grossi et vu sur les diverses faces.

FIG. 4 et 5. — Extrémités articulaires inférieure et supérieure grossies.

FIG. 6 et 7. — Tarso-métatarsien du **Neorornis palustris** (A. Edwards), oiseau provenant des dépôts miocènes de la colline de Sansan (Gers), faces antérieure et postérieure de grandeur naturelle.

FIG. 6<sup>a</sup>, 7<sup>a</sup>, 8 et 9. — Le même os, grossi et vu sous ses diverses faces.

FIG. 10. — Extrémité articulaire inférieure, vue en dessous.

FIG. 11. — Tibia appartenant probablement à la même espèce, vu par sa face antérieure, de grandeur naturelle.

FIG. 12, 13 et 14. — Le même os, grossi.

FIG. 15. — Tarso-métatarsien de l'**Homalopus picoides** (A. Edwards), oiseau provenant des dépôts miocènes de la colline de Sansan (Gers), face antérieure de grandeur naturelle.

FIG. 16, 17, 18 et 19. — Le même os, grossi et montrant ses diverses faces.

FIG. 20. — Extrémité articulaire inférieure, vue en dessous et très-grossie.

FIG. 21. — Tibia appartenant probablement au même oiseau, vu par sa face antérieure, de grandeur naturelle.

FIG. 22, 23 et 24. — Le même os, grossi.

FIG. 25. — Extrémité articulaire inférieure, vue en dessous et très-grossie.

FIG. 26. — Portion inférieure d'humérus que je rapporte avec beaucoup de doute au même oiseau, vue par sa face antérieure, de grandeur naturelle.

FIG. 27, 28, 29 et 30. — Le même os, grossi et montrant ses différentes faces.

FIG. 31. — Extrémité articulaire inférieure, vue en dessous.







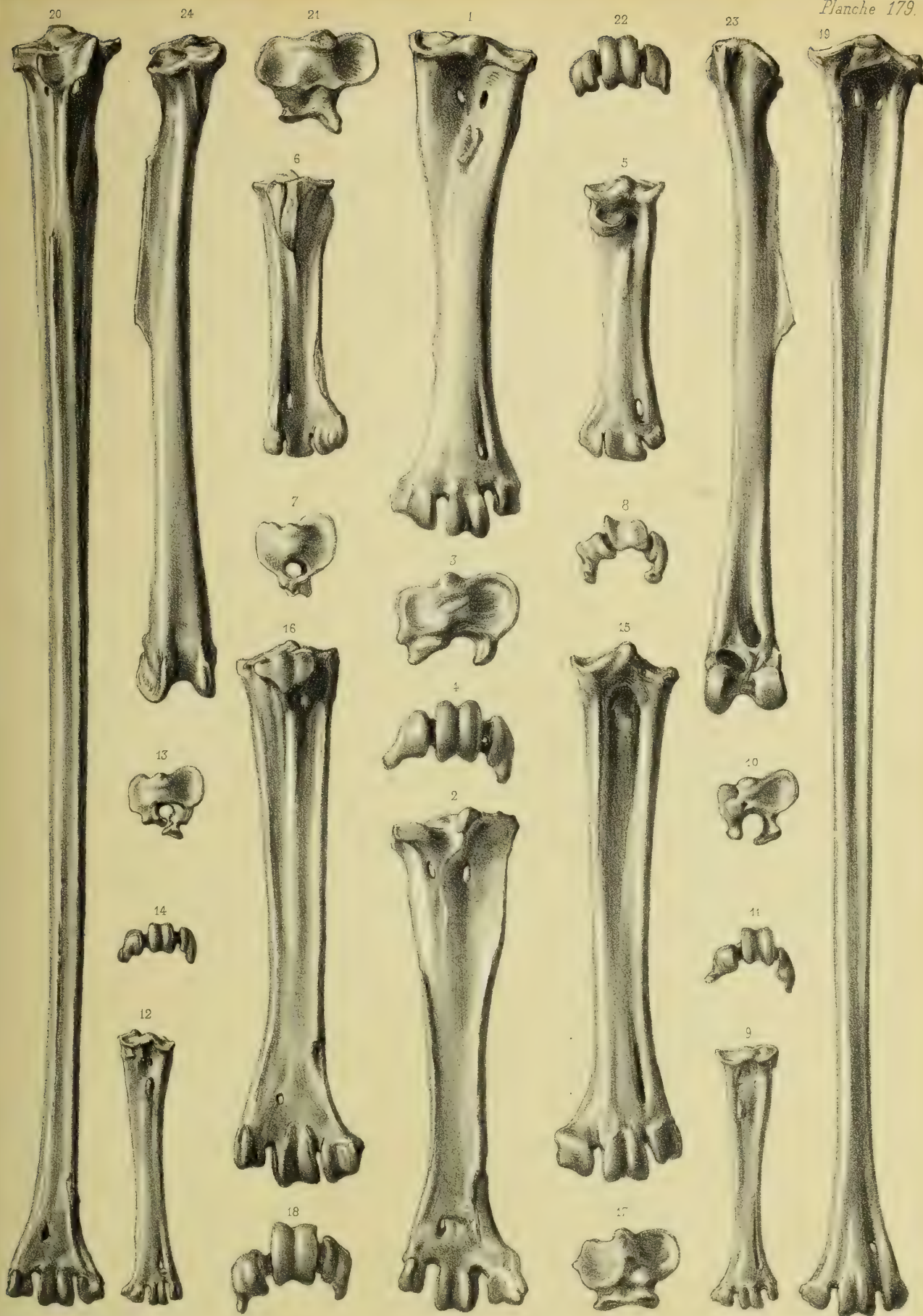




## PLANCHE 179.

### RAPACES DIURNES.

- FIG. 1. — Tarso-métatarsien du **Gypaète barbu** (*Gypaetus barbatus*, Linné), vu par sa face antérieure, de grandeur naturelle.
- FIG. 2. — Face postérieure du même os.
- FIG. 3. — Extrémité articulaire supérieure, vue en dessus.
- FIG. 4. — Extrémité articulaire inférieure, vue en dessous.
- FIG. 5. — Tarso-métatarsien du **Balbuzard** (*Pandion haliaëtus*, Linné), vu par sa face antérieure.
- FIG. 6. — Face postérieure du même os.
- FIG. 7. — Extrémité articulaire supérieure, vue en dessus.
- FIG. 8. — Extrémité inférieure, vue en dessous.
- FIG. 9. — Tarso-métatarsien du **Faucon pèlerin** (*Falco peregrinus*, Linné), vu par sa face antérieure.
- FIG. 10. — Extrémité articulaire supérieure, vue en dessus.
- FIG. 11. — Extrémité articulaire inférieure, vue en dessous.
- FIG. 12. — Tarso-métatarsien de la **Bondrée** (*Pernis apivorus*, Linné), vu par sa face antérieure.
- FIG. 13. — Extrémité articulaire supérieure, vue en dessus.
- FIG. 14. — Extrémité articulaire inférieure, vue en dessous.
- FIG. 15. — Tarso-métatarsien du **Vautour royal** (*Sarcorampus papa*, Lin.), vu par sa face antérieure.
- FIG. 16. — Face postérieure du même os.
- FIG. 17. — Extrémité articulaire supérieure, vue en dessus.
- FIG. 18. — Extrémité articulaire inférieure, vue en dessous.
- FIG. 19. — Tarso-métatarsien du **Secrétaire** (*Serpentarius reptilivorus*, Daud.), vu par sa face antérieure, et un peu réduit.
- FIG. 20. — Face postérieure du même os.
- FIG. 21. — Extrémité articulaire supérieure, vue en dessus, de grandeur naturelle.
- FIG. 22. — Extrémité articulaire inférieure, vue en dessous.
- FIG. 23. — Tibia du **Balbuzard**, vu par sa face antérieure.
- FIG. 24. — Face postérieure du même os.
- FIG. 35. — Extrémité articulaire inférieure, vue en dessous.



MCZ LIBRARY  
HARVARD UNIVERSITY  
CAMBRIDGE, MA USA

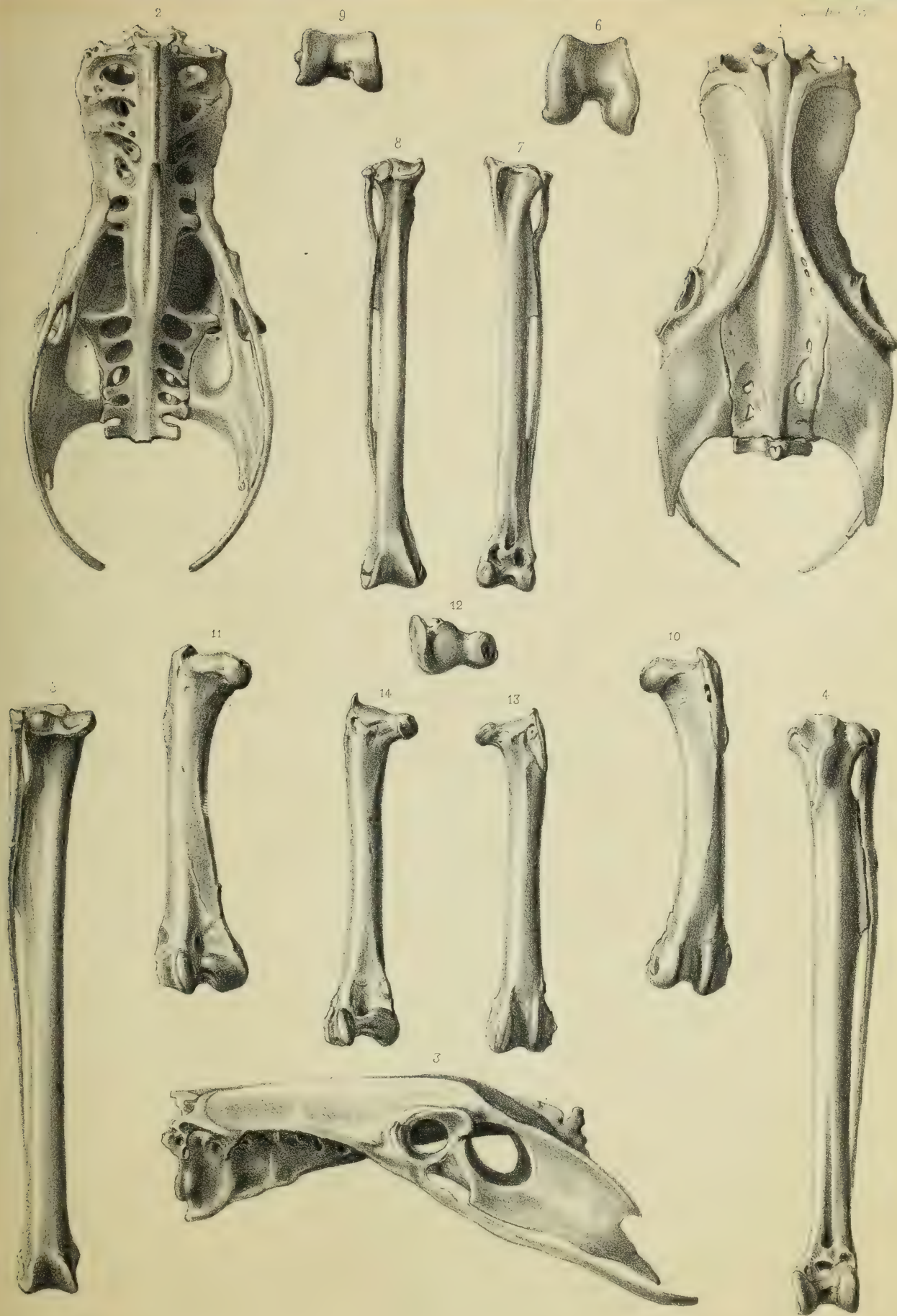




## PLANCHE 180.

### RAPACES DIURNES.

- FIG. 1. — Bassin du **Vautour royal** (*Sarcorampus papa*, Linné), vu par sa face supérieure et réduit d'environ un tiers.
- FIG. 2. — Face inférieure du même os.
- FIG. 3. — Le même, vu de côté.
- FIG. 4. — Tibia du même oiseau, vu par sa face antérieure (réduction d'un tiers).
- FIG. 5. — Face postérieure du même os.
- FIG. 6. — Extrémité articulaire inférieure vue en dessous, de grandeur naturelle.
- FIG. 7. — Os de la jambe du **Faucon pèlerin** (*Falco peregrinus*, Lin.), vu par sa face antérieure, de grandeur naturelle.
- FIG. 8. — Face postérieure du même os.
- FIG. 9. — Extrémité articulaire inférieure du tibia vue en dessous, et un peu grossie.
- FIG. 10. — Fémur du **Vautour royal**, vu par sa face antérieure (réduction d'un tiers).
- FIG. 11. — Face postérieure du même os.
- FIG. 12. — Extrémité articulaire supérieure vue en dessous, de grandeur naturelle, ainsi que les figures suivantes.
- FIG. 13. — Fémur du **Faucon pèlerin**, vu par sa face antérieure.
- FIG. 14. — Face postérieure du même os.





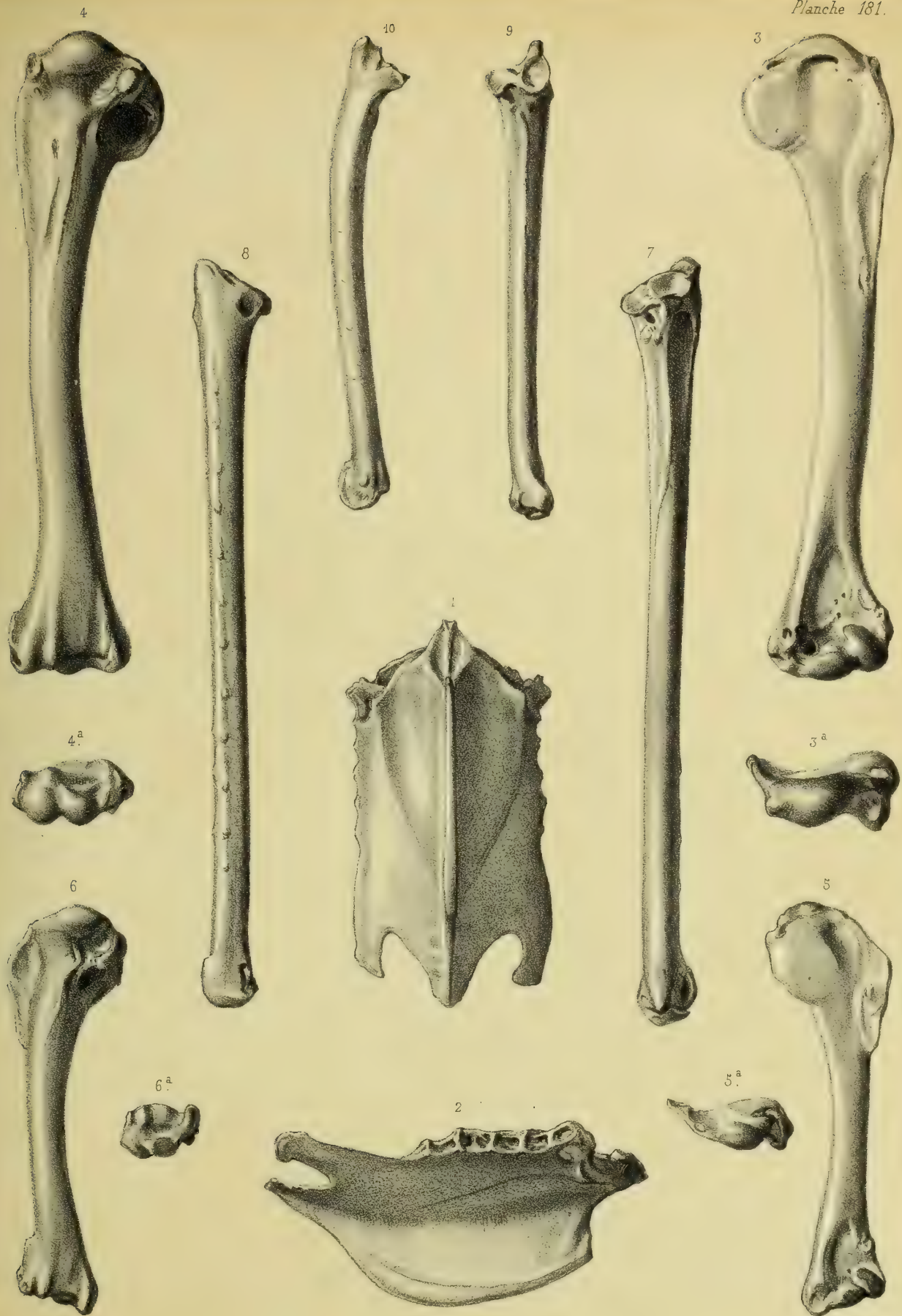




## PLANCHE 181.

### RAPACES DIURNES.

- FIG. 1. — Sternum du **Vautour royal** (*Sarcoramphus papa*, Lin.), vu par sa face antérieure ou inférieure, et réduit d'un tiers ainsi que les quatre figures suivantes.
- FIG. 2. — Le même os, vu de côté.
- FIG. 3. — Humérus du même oiseau, vu par sa face antérieure.
- FIG. 4. — Face postérieure de même.
- FIG. 5. — Humérus du **Faucon pèlerin** (*Falco peregrinus*, Lin.), vu par sa face antérieure, de grandeur naturelle.
- FIG. 6. — Face postérieure du même os.
- FIG. 7. — Cubitus du **Vautour royal**, vu par sa face antérieure et réduit d'un tiers.
- FIG. 8. — Face interne du même os.
- FIG. 9. — Cubitus du **Faucon pèlerin**, vu par sa face antérieure et de grandeur naturelle.
- FIG. 10. — Face externe du même os.





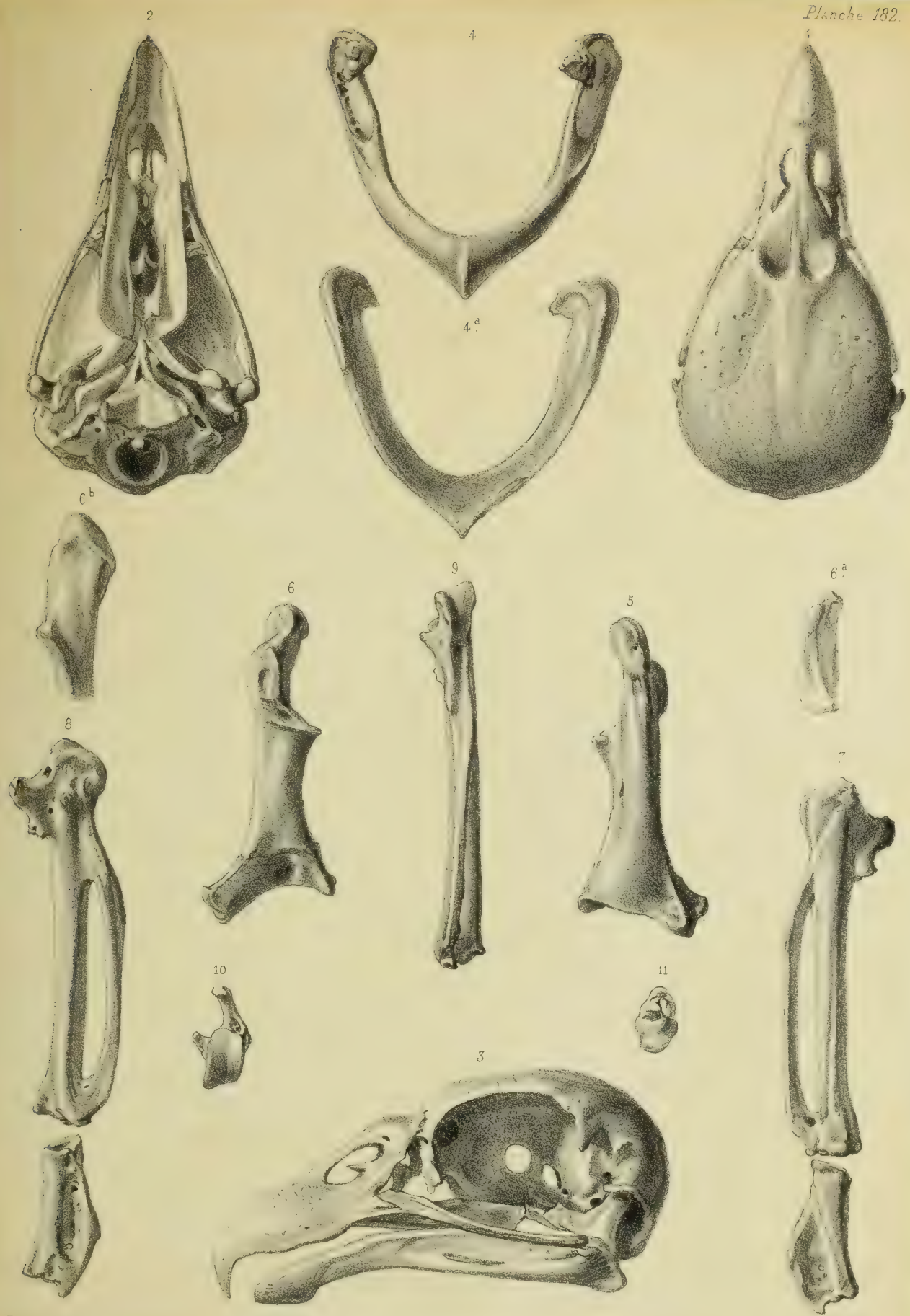


## PLANCHE 182.

### RAPACES DIURNES.

- FIG. 1. — Tête osseuse du **Vautour royal** (*Sarcoramphus papa*, Lin.), vue en dessus et réduite d'environ un tiers, ainsi que les figures suivantes.
- FIG. 2. — Face inférieure de la tête.
- FIG. 3. — La même, vue de côté.
- FIG. 4 et 4<sup>a</sup>. — Os furculaire du même oiseau, vu par ses faces antérieure et postérieure.
- FIG. 5. — Coracoïdien, vu par sa face antérieure.
- FIG. 6. — Face postérieure du même os.
- FIG. 6<sup>a</sup>. — Extrémité articulaire sternale.
- FIG. 6<sup>b</sup>. — Portion supérieure vue en dedans.
- FIG. 7. — Métacarpe et première phalange du doigt médian, vus en dehors.
- FIG. 8. — Les mêmes os, vus en dedans.
- FIG. 9. — Métacarpe, vu par sa face postérieure.
- FIG. 10 et 10<sup>a</sup>. — Extrémités articulaires supérieure et inférieure, de grandeur naturelle.









## PLANCHE 183.

### RAPACES DIURNES.

#### FOSSILES.

- FIG. 1. — Tarso-métatarsien du **Paleohierax Gervaisii** (A. Edwards), provenant du terrain miocène de Chaptuzat (Allier), vu par sa face antérieure, de grandeur naturelle, ainsi que les figures suivantes.
- FIG. 2, 3 et 4. — Le même os, montrant ses faces postérieure, externe et interne.
- FIG. 5 et 6. — Extrémités articulaires supérieure et inférieure.
- FIG. 7. — Tarso-métatarsien de la même espèce, provenant de Saint-Gérand-le-Puy et vu par sa face antérieure.
- FIG. 8, 9 et 10. — Le même os, montrant ses faces postérieure, externe et interne.
- FIG. 11. — Tarso-métatarsien de l'**Aquila depredator** (A. Edwards), provenant du terrain miocène de Saint-Gérand-le-Puy (face antérieure).
- FIG. 12, 13 et 14. — Le même os, vu par ses faces postérieure, interne et externe.
- FIG. 15. — Tibia provenant probablement du même oiseau, et trouvé dans le même gisement (face antérieure).
- FIG. 16. — Face postérieure du même os.
- FIG. 17, 18 et 19. — Phalange unguéale de Rapace recueillie, ainsi que les suivantes, à Saint-Gérand-le-Puy.
- FIG. 20 et 21. — Autre phalange unguéale.
- FIG. 22 à 25. — Deuxième phalange du doigt interne d'un Rapace voisin des aigles.
- FIG. 26 à 29. — Troisième phalange du doigt médian d'un Rapace.







MCZ LIBRARY  
HARVARD UNIVERSITY  
CAMBRIDGE, MA USA



## PLANCHE 184.

### RAPACES DIURNES.

#### FOSSILES.

- FIG. 1. — Tarso-métatarsien de l'**Aquila prisca** (A. Edwards), provenant du terrain miocène de Saint-Gérard-le-Puy, de grandeur naturelle, ainsi que les figures suivantes (face antérieure).
- FIG. 2 et 3. — Le même os, montrant ses faces postérieure et externe.
- FIG. 4. — Extrémité articulaire inférieure du même os, vue en dessous.
- FIG. 5. — Tarso-métatarsien de l'**Aquila depredator**. Cet os provient aussi des carrières de Saint-Gérard-le-Puy (face antérieure).
- FIG. 6, 7 et 8. — Le même os, montrant ses faces postérieure, externe et interne.
- FIG. 9 et 10. — Extrémités articulaires supérieure et inférieure.
- FIG. 11 et 12. — Portion inférieure d'un Tibia provenant de la même localité et se rapportant probablement à l'**Aquila prisca**.
- FIG. 13. — Extrémité articulaire inférieure du même os, vue en dessous.

Ces pièces proviennent de ma collection.



MCZ LIBRARY  
HARVARD UNIVERSITY  
CAMBRIDGE, MA USA





## PLANCHE 185.

### RAPACES DIURNES.

#### FOSSILES.

- FIG. 1. — Tarso-métatarsien d'un **Milan** (*Milvus deperditus*, A. Edwards), provenant des terrains tertiaires moyens du département de l'Allier. (Cet os est vu par sa face antérieure et de grandeur naturelle, ainsi que les figures suivantes.)
- FIG. 2, 3 et 4. — Le même os montrant ses faces postérieure, interne et externe.
- FIG. 5. — Portion inférieure du Tibia d'un **Aigle** (*Aquila minuta*, A. Edwards), provenant du terrain miocène de Sansan (Gers). (Cet os est vu par sa face antérieure.)
- FIG. 6 et 7. — Le même os montrant ses faces postérieure et interne.
- FIG. 8. — Extrémité articulaire inférieure, vue en dessous.
- FIG. 9, 10 et 11. — Métacarpe d'un **Pygargue** (*Haliæetus piscator*, A. Edwards), provenant de la colline de Sansan. (Cet os est vu par ses faces externe, interne et postérieure.)
- FIG. 12. — Phalange unguéale d'un Rapace de grande taille et provenant de Sansan.
- FIG. 13. — Surface articulaire du même os.
- FIG. 14 et 15. — Deuxième phalange du doigt interne d'un Rapace nocturne provenant de Sansan.
- FIG. 16. — Métacarpe du **Paleocircus Cuvieri** (A. Edwards), Rapace diurne provenant du Gypse des environs de Paris. (Cet os est vu par sa face interne.)
- FIG. 17. — Métacarpe incomplet d'un Rapace diurne provenant du Gypse des environs de Paris (vu par sa face interne).
- FIG. 18. — Portion inférieure, grossie et montrant sa face externe.
- FIG. 19. — Extrémité articulaire inférieure, grossie.
- FIG. 20. — Fémur du **Teracus littoralis** (Aymard), oiseau des calcaires de Ronzon que M. Aymard rapproche des Rapaces diurnes. (Cet os est vu par sa face interne.)
- FIG. 21. — Extrémité supérieure, vue en dehors.
- FIG. 22. — La même, vue en dessus.
- FIG. 23. — Coracoïdien provenant du même gisement et que M. Aymard considère comme appartenant au **Teracus littoralis**.
- FIG. 24 à 27. — Phalange unguéale d'un Rapace trouvée à Saint-Just (Lot-et-Garonne), avec des débris de paleotherium et d'anthracotherium.
- FIG. 28 et 29. — Phalange unguéale d'un Rapace provenant du terrain miocène de la colline de Sansan.



MCZ LIBRARY  
HARVARD UNIVERSITY  
CAMBRIDGE, MA USA





## PLANCHE 186.

### RAPACES DIURNES.

#### FOSSILES.

FIG. 1. — Tarso-métatarsien du **Secrétaire robuste** (*Serpentarius robustus*, A. Edwards), oiseau fossile provenant du terrain miocène du département de l'Allier. Cet os est vu par sa face antérieure et de grandeur naturelle, ainsi que les figures suivantes.

FIG. 2, 3 et 4. — Le même os, montrant ses faces postérieure, interne et externe.

FIG. 5 et 6. — Extrémités articulaires supérieure et inférieure du même os.

FIG. 7. — Fémur appartenant probablement à l'**Aquila depredator** (A. Edwards), oiseau provenant du terrain miocène du département de l'Allier. (Vu par sa face antérieure.)

FIG. 8. — Face postérieure du même os.

FIG. 9 et 10. — Extrémités articulaires supérieure et inférieure du même os.

FIG. 11. — Coracoïdien appartenant probablement à l'**Aquila depredator** et provenant du même gisement. Cet os est vu par sa face antérieure (ou inférieure).

FIG. 12. — Le même os vu par sa face interne.

Ces pièces proviennent de ma collection.



MCZ LIBRARY  
HARVARD UNIVERSITY  
CAMBRIDGE, MA USA



## PLANCHE 187.

### RAPACES DIURNES.

#### FOSSILES DES CAVERNES.

- FIG. 1. — Tarso-métatarsien de **Cresserelle** (*Falco tinnunculus*, Linné), provenant de la grotte de Lacombe (Dordogne). Cet os est vu par sa face antérieure, de grandeur naturelle, ainsi que les figures suivantes.
- FIG. 2, 3 et 4. — Le même os montrant ses faces postérieure, interne et externe.
- FIG. 5. — Extrémité articulaire supérieure du même os, vue en dessus.
- FIG. 6 et 7. — Humérus de la **Cresserelle**, provenant du même gisement et montrant ses faces antérieure et postérieure.
- FIG. 8. — Tibia d'une **Buse** de très-grande taille (*Buteo cinereus*, Gmel.), provenant d'Aurignac, et vu par sa face antérieure.
- FIG. 9 et 10. — Le même os montrant ses faces postérieure et externe.
- FIG. 11. — Extrémité articulaire inférieure vue en dessous.
- FIG. 12. — Tarso-métatarsien d'un **Rapace** voisin de l'*Aquila Bonelli* (Temminck), provenant de la grotte de Massat (Ariège), et montrant sa face antérieure.
- FIG. 13 et 14. — Le même os vu par ses faces postérieure et externe.
- FIG. 15. — Extrémité articulaire du même os, vue en dessous.
- FIG. 16. — Humérus d'un **Milan royal** (*Milvus regalis*, Br.), provenant du gisement d'Aurignac et vu par sa face antérieure.
- FIG. 17. — Face postérieure du même os.









## PLANCHE 188.

### RAPACES DIURNES.

#### FOSSILES DES CAVERNES.

Ostéologie du **Gypaète barbu** (*Gypaetus barbatus*, Linné), oiseau dont les débris ont été trouvés dans les cavernes à ossements du centre et du midi de la France.

FIG. 1, 2 et 3. — Portion de la mandibule supérieure, vue en avant, de côté et en dessus, de grandeur naturelle, ainsi que les figures suivantes. Cette pièce provient de la grotte de Lacombe (Dordogne).

FIG. 4 et 5. — Humérus trouvé à Bruniquel, près de Montauban, par M. Brun. Cet os est vu par ses faces antérieure et postérieure.

FIG. 6, 7 et 8. — Cubitus provenant du même gisement et montrant ses faces antérieure, postérieure et externe.

FIG. 9 à 11. — Phalange unguéale de **Rapace** trouvée au Moustier.

FIG. 12 à 14. — Phalange unguéale de **Rapace** trouvée à la Madeleine (Dordogne).







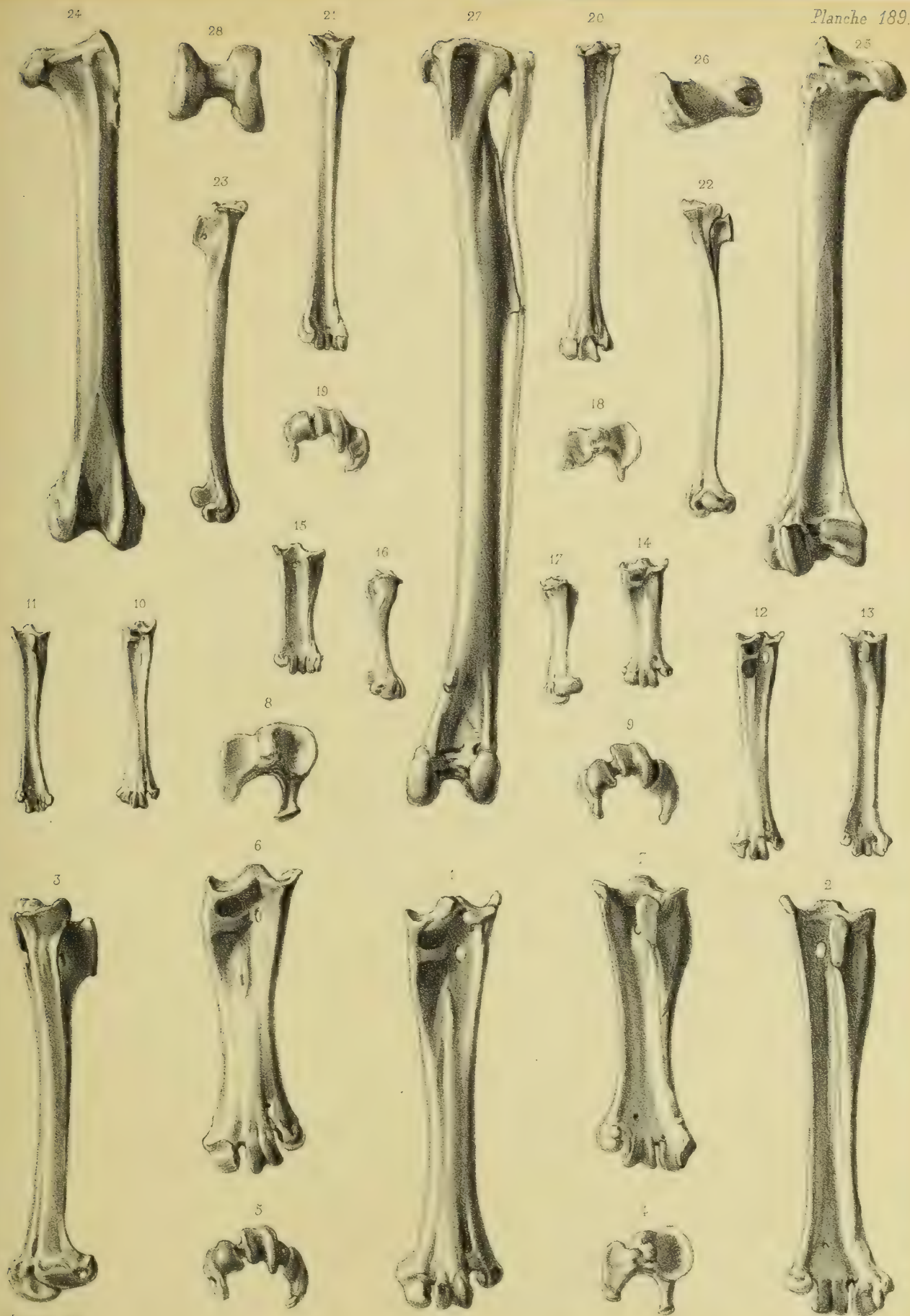
MCZ LIBRARY  
HARVARD UNIVERSITY  
CAMBRIDGE, MA USA



## PLANCHE 189.

### RAPACES NOCTURNES.

- FIG. 1. — Tarso-métatarsien de **grand Duc** (*Bubo atheniensis*, Aldrov.), vu par sa face antérieure, de grandeur naturelle, ainsi que les figures suivantes.
- FIG. 2 et 3. — Le même os montrant ses faces postérieure et externe.
- FIG. 4 et 5. — Extrémités articulaires supérieure et inférieure.
- FIG. 6. — Tarso-métatarsien du **Marfang** (*Nyctea nivea*, Daud., *Strix nyctea*, Linné), vu par sa face antérieure.
- FIG. 7. — Face postérieure du même os.
- FIG. 8 et 9. — Extrémités articulaires supérieure et inférieure.
- FIG. 10. — Tarso-métatarsien de la **Chevéche** (*Athene noctua*, Retz), vu par sa face antérieure.
- FIG. 11. — Face postérieure du même os.
- FIG. 12. — Tarso-métatarsien du **moyen Duc** (*Brachyotus palustris*, Bp., *Strix brachyotus*, Linné), vu par sa face antérieure.
- FIG. 13. — Face postérieure du même os.
- FIG. 14. — Tarso-métatarsien de la **Surnie boréale** (*Surnia borealis*, Lesson, *Strix ulula*, Linné), vu par sa face antérieure.
- FIG. 15, 16 et 17. — Le même os vu par ses faces postérieure, interne et externe.
- FIG. 18 et 19. — Extrémités articulaires supérieure et inférieure.
- FIG. 20. — Tarso-métatarsien de l'**Effraie** (*Strix flammea*, Linné), vu par sa face antérieure.
- FIG. 21, 22 et 23. — Le même os, vu par ses faces postérieure, externe et interne.
- FIG. 24. — Fémur du **grand Duc**, vu par sa face antérieure.
- FIG. 25. — Face postérieure du même os.
- FIG. 26. — Extrémité articulaire supérieure vue en dessus.
- FIG. 27. — Tibia du **grand Duc**, vu par sa face antérieure.
- FIG. 28. — Extrémité articulaire inférieure vue en dessous.



MCZ LIBRARY  
HARVARD UNIVERSITY  
CAMBRIDGE, MA USA

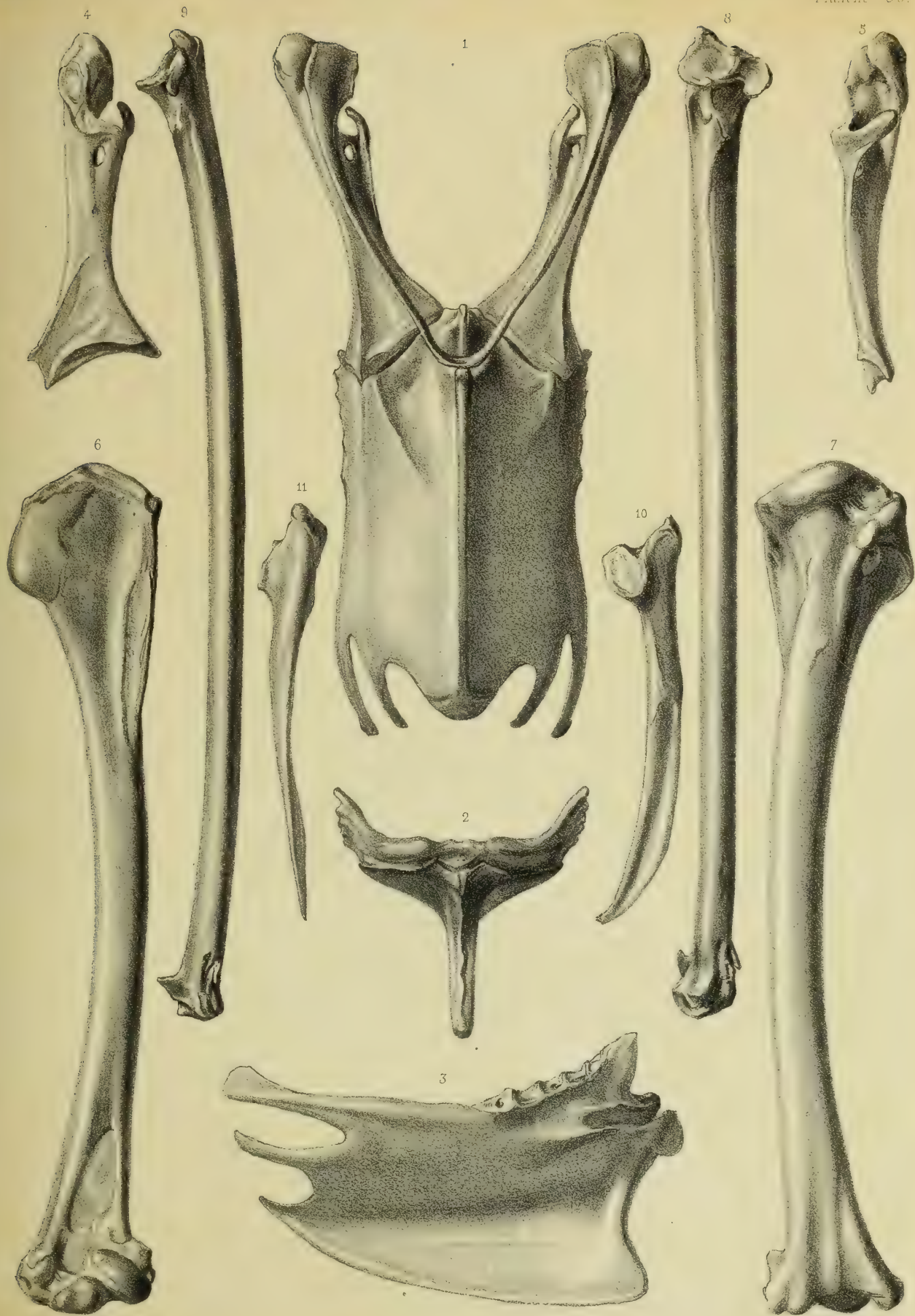




## PLANCHE 190.

### RAPACES NOCTURNES.

- FIG. 1. — Appareil sterno-claviculaire du **grand Due** (*Bubo atheniensis*, Aldrov.), vu par sa face antérieure ou inférieure, de grandeur naturelle, ainsi que les figures suivantes.
- FIG. 2. — Portion articulaire antérieure du sternum, montrant la disposition des rainures coracoïdiennes.
- FIG. 3. — Le même os vu de côté.
- FIG. 4. — Coracoïdien vu par sa face postérieure ou supérieure.
- FIG. 5. — Le même os vu par sa face interne.
- FIG. 6 et 7. — Humérus vu par ses faces antérieure et postérieure.
- FIG. 8 et 9. — Cubitus montrant ses faces antérieure et externe.
- FIG. 10 et 11. — Omoplate vue sur ses faces supérieure et inférieure.



MCZ LIBRARY  
HARVARD UNIVERSITY  
CAMBRIDGE, MA USA

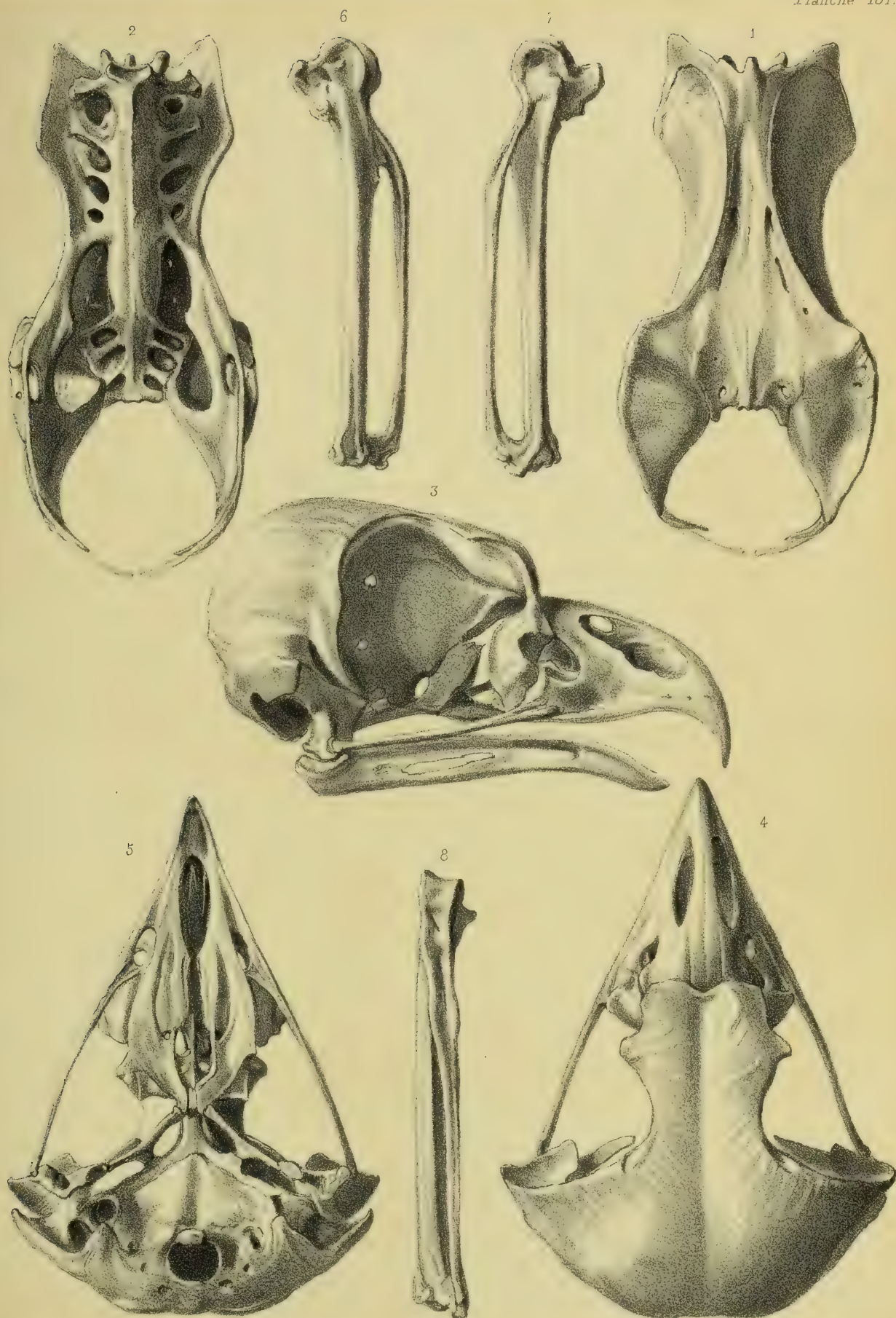




## PLANCHE 191.

### RAPACES NOCTURNES.

- FIG. 1. — Bassin du **grand Duc** (*Bubo atheniensis*, Aldrov.), vu par sa face supérieure, de grandeur naturelle, ainsi que les figures suivantes.
- FIG. 2. — Face inférieure du même os.
- FIG. 3. — Tête osseuse vue de côté.
- FIG. 4. — Tête osseuse vue en dessus.
- FIG. 5. — Face inférieure de la tête osseuse.
- FIG. 6. — Métacarpien vu par sa face interne.
- FIG. 7. — Face externe du même os.
- FIG. 8. — Face postérieure du même os.



MCZ LIBRARY  
HARVARD UNIVERSITY  
CAMBRIDGE, MA USA





## PLANCHE 192.

### RAPACES NOCTURNES.

#### FOSSILES.

- FIG. 1. — Portion inférieure du tarso-métatarsien d'une **Chouette** provenant du terrain miocène de la colline de Sansan (Gers). 1<sup>a</sup> Le même os grossi.
- FIG. 2. — Face postérieure du même os. 2<sup>a</sup>. Le même, grossi.
- FIG. 3. — Tarso-métatarsien d'une **Chouette** (*Strix antiqua*, A. Edwards), provenant du terrain miocène du département de l'Allier. Cet os est vu par sa face antérieure et de grandeur naturelle.
- FIG. 4 et 5. — Le même os montrant ses faces postérieure et interne.
- FIG. 6 à 8. — Extrémité articulaire inférieure vue sur ses diverses faces et très-grossie.
- FIG. 9. — Extrémité articulaire supérieure vue en dessus et très-grossie.
- FIG. 10. — Os du pied et de la jambe d'un **Hibou** (*Bubo arvernensis*, A. Edwards), provenant du même gisement. Ces os, vus du côté interne, sont représentés de grandeur naturelle.
- FIG. 11, 12 et 13. — Tarso-métatarsien vu sur ses faces antérieure, interne et postérieure.
- FIG. 14 et 15. — Extrémités articulaires supérieure et inférieure du même os.
- FIG. 16, 17 et 18. — Tibia montrant ses faces antérieure, postérieure et externe.
- FIG. 19. — Extrémité articulaire inférieure vue en dessous.
- FIG. 20. — Tibia provenant d'une autre espèce plus petite du même genre, ou peut-être du mâle de la même espèce. Cet os est figuré de grandeur naturelle et montre sa face antérieure.
- FIG. 21 et 22. — Faces postérieure et interne du même os.
- FIG. 23. — Extrémité articulaire supérieure vue en dessus.
- FIG. 24. — Tarso-métatarsien d'un **Hibou** (*Bubo Poirrieri*, A. Edwards), provenant aussi du terrain miocène du département de l'Allier. Cet os, vu par sa face antérieure, est représenté de grandeur naturelle.
- FIG. 25, 26 et 27. — Faces postérieure interne et externe du même os.
- FIG. 28. — Extrémité articulaire supérieure vue en dessus.
- FIG. 29. — Extrémité articulaire inférieure vue en dessous.





MCZ LIBRARY  
HARVARD UNIVERSITY  
CAMBRIDGE, MA USA



PLANCHE 193.

RAPACES NOCTURNES.

FOSSILES.

Squelette restitué du **Harfang** (*Nyctea nivea*, Daud., *Strix nyctea*, Linné), oiseau dont les restes se rencontrent dans presque toutes les cavernes à ossements du centre et du midi de la France. Réduction d'un tiers.

Les parties ombrées sont les seules qui jusqu'ici aient été trouvées.





MCZ LIBRARY  
HARVARD UNIVERSITY  
CAMBRIDGE, MA USA



## PLANCHE 194.

### RAPACES NOCTURNES.

#### FOSSILES.

Ostéologie du **Harfang** (*Nyctea nivea*, Daud., *Strix nyctea*, Linné), oiseau dont les ossements se rencontrent dans presque toutes les cavernes du centre et du midi de la France.

FIG. 1. — Tarso-métatarsien provenant de la grotte des Eyzies (Dordogne), vu par sa face antérieure et de grandeur naturelle.

FIG. 2 et 3. — Faces postérieure et interne du même os.

FIG. 4 et 5. — Extrémités articulaires un peu grossies.

FIG. 6. — Coracoïdien provenant de la grotte de Lherm (Ariège), et vu par sa face antérieure ou inférieure, de grandeur naturelle.

FIG. 7 et 8. — Faces supérieure et interne du même os.

FIG. 9. — Omoplate montrant sa face supérieure.

FIG. 10. — Face inférieure du même os.

FIG. 11. — Humérus provenant du même gisement et vu par sa face antérieure.

FIG. 12. — Face postérieure du même os.

FIG. 13. — Face externe du même os.



MCZ LIBRARY  
HARVARD UNIVERSITY  
CAMBRIDGE, MA USA





PLANCHE 195.

PERROQUETS.

Squelette de l'**Ara rauna** (*Macrocercus ararauna*, Linné), du Brésil.

Réduit d'un tiers.



MCZ LIBRARY  
HARVARD UNIVERSITY  
CAMBRIDGE, MA USA

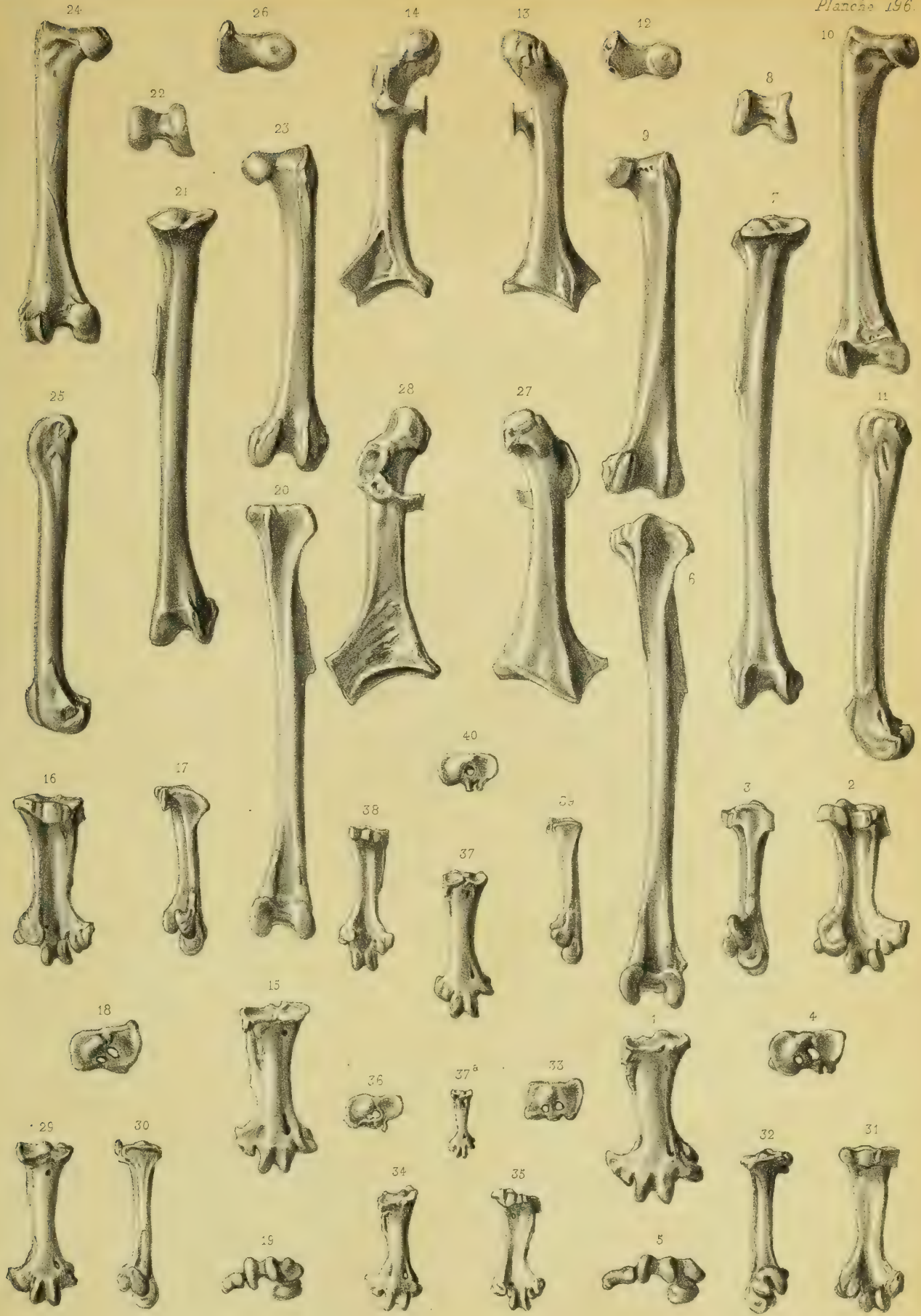




## PLANCHE 196.

### PERROQUETS.

- FIG. 1. — Tarso-métatarsien du **Cacatoès à huppe rouge** (*Cacatua moluccensis*, Gmelin), vu par sa face antérieure de grandeur naturelle.
- FIG. 2 et 3. — Faces postérieure et interne du même os.
- FIG. 4 et 5. — Extrémités articulaires supérieure et inférieure.
- FIG. 6 et 7. — Tibia du même oiseau montrant ses faces antérieure et postérieure.
- FIG. 8. — Extrémité articulaire inférieure vue en dessous.
- FIG. 9, 10 et 11. — Fémur du même oiseau, montrant ses faces antérieure, postérieure et externe.
- FIG. 12. — Extrémité articulaire supérieure vue en dessus.
- FIG. 13. — Coracoïdien du même oiseau, vu par sa face inférieure ou antérieure.
- FIG. 14. — Le même, vu en dessus.
- FIG. 15. — Tarso-métatarsien de l'**Ara rauna** (*Macrocerus ararauna*, Linné), vu par sa face antérieure.
- FIG. 16 et 17. — Faces postérieure et interne du même os.
- FIG. 18 et 19. — Extrémité articulaire supérieure et inférieure du même os.
- FIG. 20 et 21. — Tibia du même oiseau, montrant ses faces antérieure et postérieure.
- FIG. 22. — Extrémité articulaire inférieure vue en dessous.
- FIG. 23, 24 et 25. — Fémur du même oiseau, montrant ses faces antérieure, postérieure et externe.
- FIG. 26. — Extrémité articulaire supérieure vue en dessous.
- FIG. 27 et 28. — Coracoïdien du même oiseau, vu sur ses deux faces (antérieure et postérieure).
- FIG. 29. — Tarso-métatarsien du **grand Vasa** (*Coracopsis vasa*, Wagler), vu par sa face antérieure.
- FIG. 30, 31 et 32. — Faces interne, postérieure et externe du même os.
- FIG. 33. — Extrémité articulaire supérieure vue en dessous.
- FIG. 34. — Tarso-métatarsien du **Perroquet gris** (*Psittacus erythacus*, Linné), vu par sa face antérieure.
- FIG. 35. — Face postérieure du même os.
- FIG. 36. — Extrémité articulaire supérieure vue en dessous.
- FIG. 37. — Tarso-métatarsien de **Callopsitte** (*Nymphicus Novæ-Hollandiæ*, Gmelin), vu par sa face antérieure et grossi. Le trait 37<sup>a</sup> indique la grandeur naturelle de l'os.
- FIG. 38 et 39. — Faces postérieure et interne du même os.
- FIG. 40. — Extrémité articulaire supérieure du même os, vue en dessus.



MCZ LIBRARY  
HARVARD UNIVERSITY  
CAMBRIDGE, MA USA

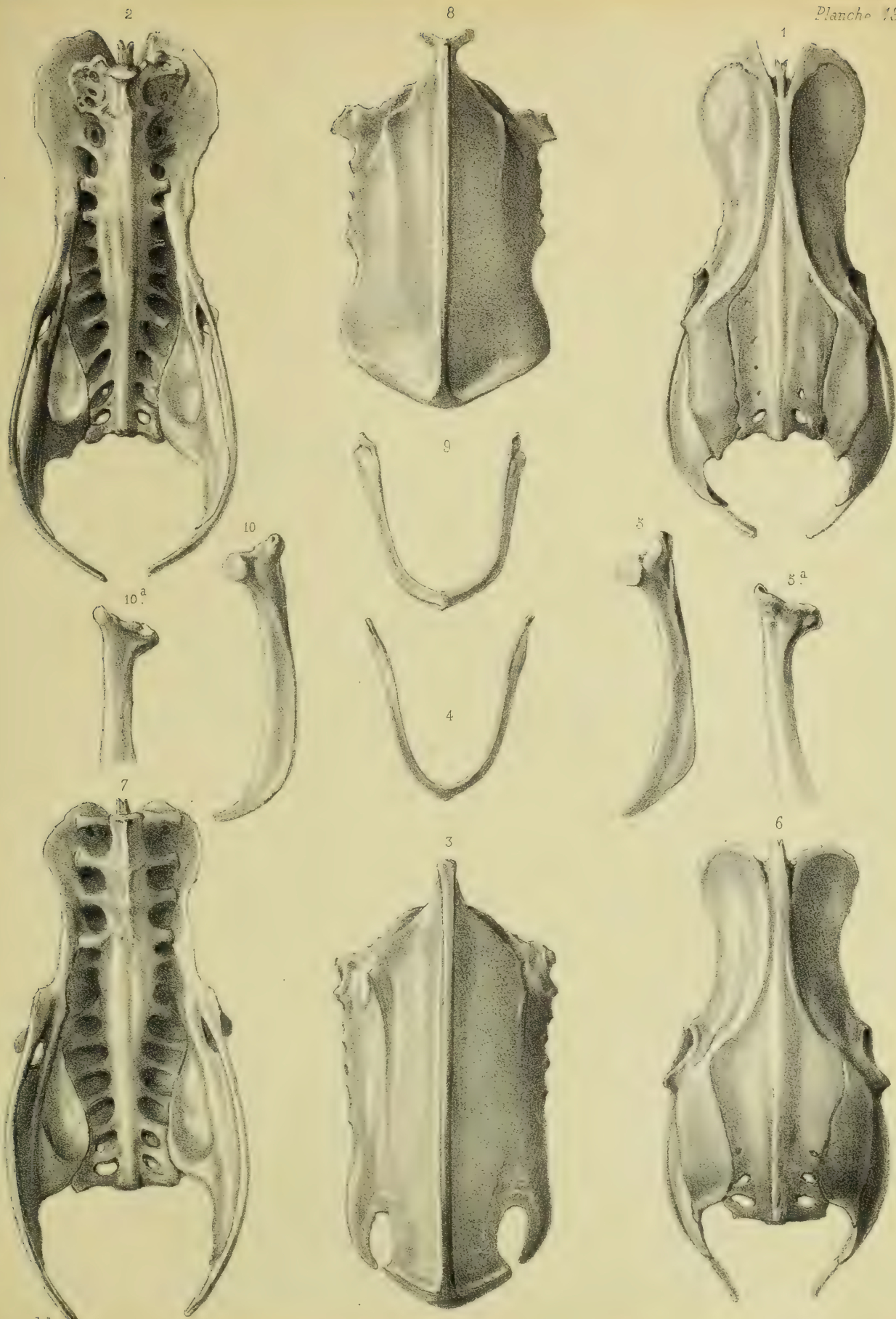


## PLANCHE 197.

### PERROQUETS.

- FIG. 1. — Bassin de l'**Ara rauna** (*Macrocercus ararauna*, Linné), vu par sa face supérieure, de grandeur naturelle, ainsi que les figures suivantes.
- FIG. 2. — Face inférieure du même os.
- FIG. 3. — Sternum du même oiseau montrant sa face inférieure.
- FIG. 4. — Os furculaire du même oiseau, vu par sa face postérieure ou sternale.
- FIG. 5. — Omoplate du même oiseau, vue en dessus.
- FIG. 6. — Bassin du **Cacatoès à huppe rouge** (*Cacatua moluccensis*, Gmelin), vu par sa face supérieure.
- FIG. 7. — Face inférieure du même os.
- FIG. 8. — Sternum du même oiseau montrant sa face inférieure.
- FIG. 9. — Os furculaire du même oiseau, vu par sa face postérieure ou sternale.
- FIG. 10. — Omoplate du même oiseau, vue en dessus.





MCZ LIBRARY  
HARVARD UNIVERSITY  
CAMBRIDGE, MA USA

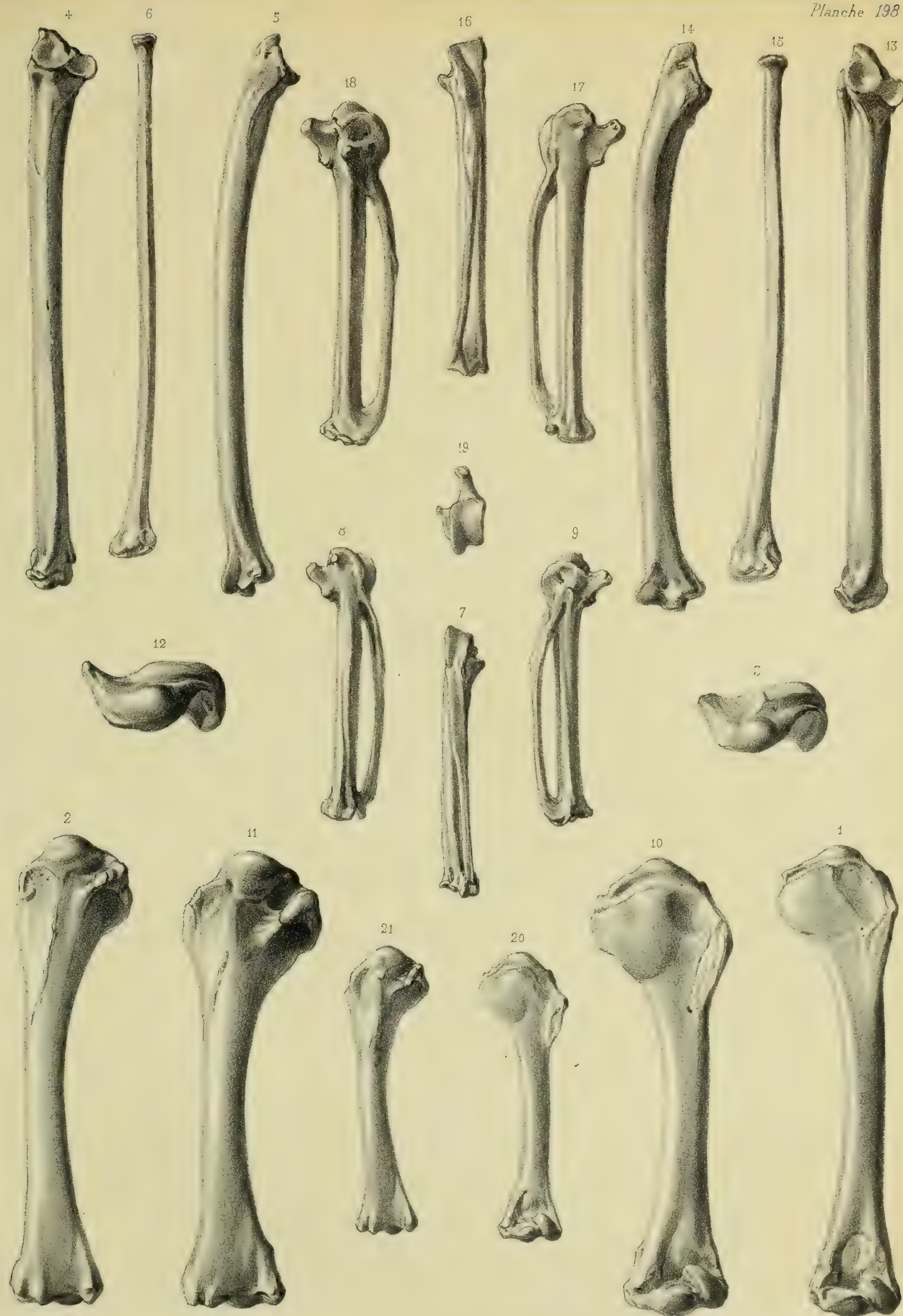


## PLANCHE 198.

### PERROQUETS.

- FIG. 1. — Humérus du **Cacatoès à huppe rouge** (*Cacatua moluccensis*, Gmelin), vu par sa face antérieure, de grandeur naturelle, ainsi que les figures suivantes.
- FIG. 2. — Face postérieure du même os.
- FIG. 3. — Extrémité articulaire supérieure, vue en dessus.
- FIG. 4 et 5. — Cubitus du même oiseau, vu par sa face antérieure et sa face interne.
- FIG. 6. — Radius du même oiseau.
- FIG. 7, 8 et 9. — Métacarpe du même oiseau, montrant ses faces externe, interne et postérieure.
- FIG. 10. — Humérus de l'**Ara rauna** (*Macrocerus ararauna*, Linné), vu par sa face antérieure.
- FIG. 11. — Face postérieure du même os.
- FIG. 12. — Extrémité articulaire supérieure, vue en dessus.
- FIG. 13 et 14. — Cubitus du même oiseau montrant ses faces antérieure et interne.
- FIG. 15. — Radius du même oiseau.
- FIG. 16, 17 et 18. — Métacarpe du même oiseau montrant ses faces externe, interne et postérieure.
- FIG. 19. — Extrémité articulaire supérieure, vue en dessus.
- FIG. 20 et 21. — Humérus du **Perroquet gris** (*Psittacus erythacus*, Linné), montrant ses faces antérieure et postérieure.







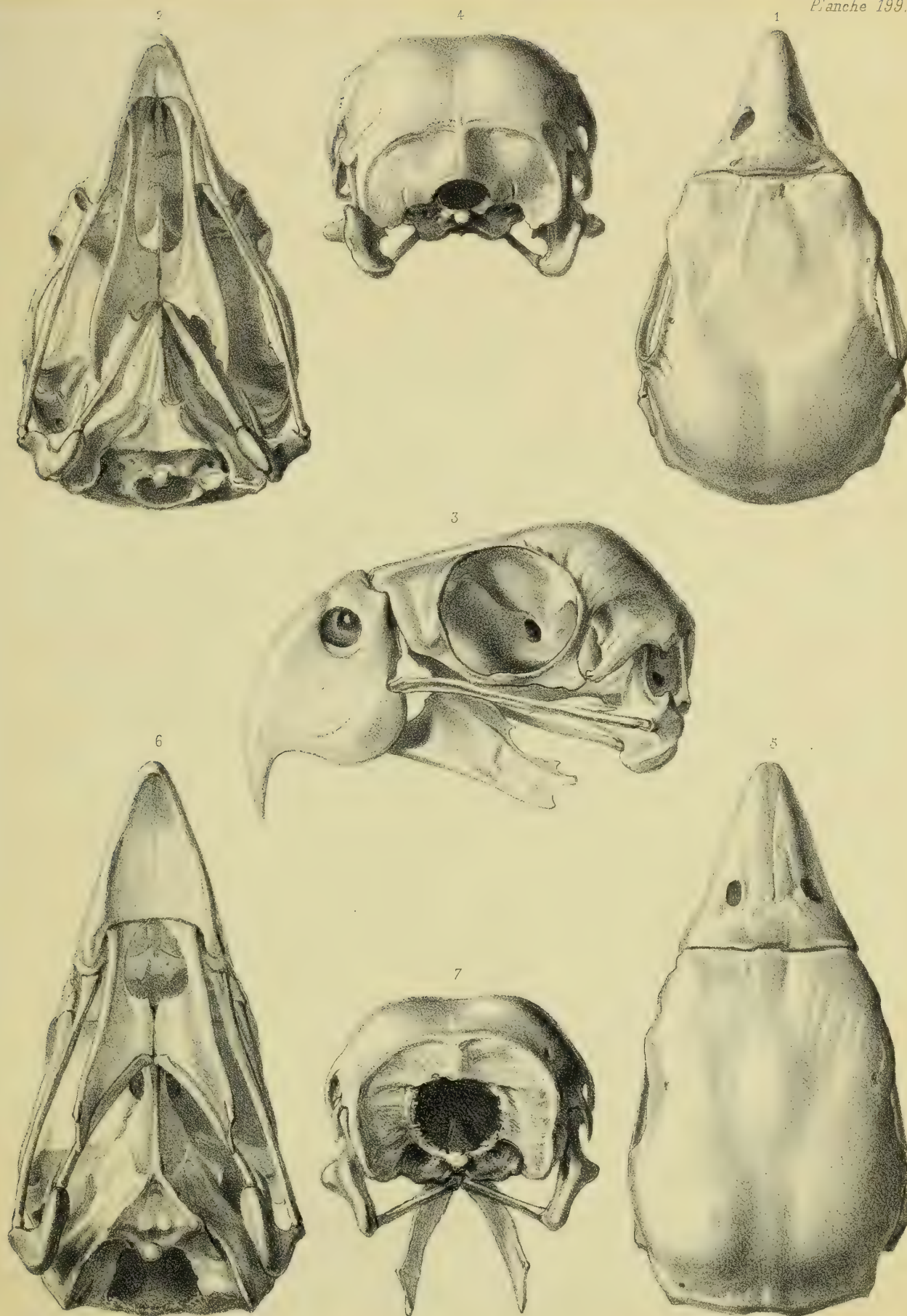
MCZ LIBRARY  
HARVARD UNIVERSITY  
CAMBRIDGE, MA USA



## PLANCHE 199.

### PERROQUETS.

- FIG. 1. — Tête osseuse du **Cacatoès à huppe rouge** (*Cacatua moluccensis*, Gmelin),  
vue par sa face supérieure.
- FIG. 2. — Face inférieure de la tête.
- FIG. 3. — La même, vue de côté.
- FIG. 4. — Face postérieure de la tête.
- FIG. 5. — Tête osseuse de l'**Ara rauna** (*Macrocerus ararauna*, Linné), vue par sa face  
supérieure.
- FIG. 6. — Face inférieure de la tête.
- FIG. 7. — Face postérieure ou occipitale de la tête.



MCZ LIBRARY  
HARVARD UNIVERSITY  
CAMBRIDGE, MA USA





## PLANCHE 200.

### PERROQUETS.

#### FOSSILES.

Ostéologie d'un **Perroquet** (*Psittacus Verreauxii*, A. Edwards), provenant du terrain miocène du département de l'Allier.

FIG. 1. — Tarso-métatarsien, vu par sa face antérieure, de grandeur naturelle.  
— 1<sup>a</sup> Le même os grossi.

FIG. 2. — Face postérieure du même os. — 2<sup>a</sup>. Le même grossi.

FIG. 3 et 4. — Faces externe et interne du même os.

FIG. 5. — Extrémité articulaire supérieure, vue en dessus et très-grossie.

FIG. 6. — Extrémité articulaire inférieure, vue en dessous et très-grossie.

FIG. 7. — Tibia appartenant probablement à la même espèce, vu par sa face antérieure et de grandeur naturelle. — 7<sup>a</sup>. Le même grossi.

FIG. 8, 9 et 10. — Faces postérieure externe et interne du même os grossi.

FIG. 11. — Extrémité articulaire inférieure, vue en dessous et très-grossie.

FIG. 12. — Humérus appartenant probablement à la même espèce et vu par sa face postérieure, de grandeur naturelle.

FIG. 13 à 16. — Le même os grossi et montrant ses faces antérieure, postérieure, externe et interne.

FIG. 17. — Extrémité articulaire supérieure, vue en dessous et grossie.

(Ces pièces proviennent de ma collection.)



MCZ LIBRARY  
HARVARD UNIVERSITY  
CAMBRIDGE, MA USA







